

สำนักหอสมุด มหาวิทยาลัยบูรพา
ต.แสนสุข อ.เมือง จ.ชลบุรี 20131

รายงานการวิจัยฉบับสมบูรณ์

การศึกษาฤทธิ์ต้านการอักเสบของสมุนไพรป่าชายเลนอุ่มแม่น้ำเพชรบุรี

Investigation of anti-inflammatory activity of medicinal plants
from Welu wetland

โดย

พศ.ดร. กล่าวขวัญ ศรีสุข

ภาควิชาชีวเคมี คณะวิทยาศาสตร์ มหาวิทยาลัยบูรพา

พศ.ดร. เอกรัฐ ศรีสุข

ภาควิชาเคมี คณะวิทยาศาสตร์ มหาวิทยาลัยบูรพา

~ 7 ก.ค. 2557
339578
40167768

ได้รับเงินอุดหนุนการวิจัยงบประมาณเงินรายได้ (เงินอุดหนุนจากรัฐบาล)

งบประมาณปี 2555

เพิ่มบริการ

- 1 S.A. 2557

บทคัดย่อ

สำมะง่าเป็นพืชสมุนไพรที่ใช้ในการแพทย์พื้นบ้าน เพื่อรักษาโรคที่เกี่ยวข้องกับการอักเสบต่างๆ ในการศึกษานี้ทำการตรวจสอบฤทธิ์ด้านการอักเสบของสารประกอบที่แยกได้จากส่วนสกัดของเอทิลอะซิตอลจากใบสำมะง่าในการยับยั้งการผลิตไนตริกออกไซด์ในเซลล์แม่โคโรฟاج RAW 264.7 ที่ถูกกระตุ้นด้วยไลโพโพลิแซคาร์ไรด์ (LPS) สาร p-anisic acid, acacetin, hispidulin และ diosmentin ซึ่งได้จากการแยกและทำให้บริสุทธิ์ โดยวิธีซิลิกาเจลクロมาโทกราฟแบบคลุมน์ และพิสูจน์โครงสร้างด้วยการวิเคราะห์ทางสเปกโตรสโคปีและเปรียบเทียบข้อมูลกับสเปกตัมของ NMR ของรายงานก่อนหน้านี้สารประกอบ acacetin, hispidulin และ diosmentin สามารถยับยั้งการผลิตไนตริกออกไซด์โดยไม่เป็นพิษกับเซลล์แม่โคโรฟاج โดยสารประกอบทั้งสามชนิดแสดงฤทธิ์ยับยั้งการผลิตไนตริกออกไซด์ได้กว่า p-anisic acid และ aminoguanidine (สารยับยั้ง iNOS) สาร hispidulin ถูกเลือกไปศึกษาต่อเพื่อตรวจสอบกลไกการออกฤทธิ์ด้านการอักเสบของมัน สาร hispidulin ยังสามารถลดการผลิตพروสตาแกลนдин E₂ ในเซลล์ RAW 264.7 ที่สัมผัสกับ LPS ในลักษณะที่เข้มข้น hispidulin ถูกพบว่ายับยั้งการแสดงออกของ mRNA และโปรตีน inducible nitric oxide synthase (iNOS) และ cyclooxygenase-2 (COX-2) ในลักษณะที่เข้มข้น ความเข้มข้น ผลการทดลองที่ได้แสดงให้เห็นว่า acacetin, hispidulin และ diosmentin ที่แยกได้จากใบสำมะง่ามีฤทธิ์ด้านการอักเสบ กลไกในการด้านอักเสบของ hispidulin เกิดผ่านการยับยั้งการแสดงออกของ iNOS และ COX-2 ที่ระดับการออกฤทธิ์และ การแปลงรหัสของยีน นอกจากนี้รายงานนี้เป็นการรายงานครั้งแรกของการแยกสาร hispidulin และ diosmentin ได้จากใบสำมะง่า ผลการศึกษาระบบนี้อาจช่วยสนับสนุนประสิทธิภาพในการรักษาโรคที่เกี่ยวข้องกับการอักเสบของใบสำมะง่าได้

คำสำคัญ : สำมะง่า, hispidulin, ไนตริกออกไซด์, พروสตาแกลนдин E2, การด้านอักเสบ

ABSTRACT

Clerodendrum inerme (L.) Gaertner is medicinal plant which has been used in traditional medicine for treating various inflammation-related diseases. In this study, anti-inflammatory effects of compounds isolated from ethylacetate fraction of *C. inerme* leaves were determined on the production of nitric oxide (NO) in lipopolysaccharide (LPS)-induced RAW 264.7 macrophage cells. p-Anisic acid, acacetin, hispidulin and diosmentin were isolated by silica gel column chromatography. Their structures were elucidated on the basis of extensive spectroscopic analysis and by comparison of their NMR spectroscopic data with those reported in the literature. Acacetin, hispidulin and diosmentin inhibited NO production without cytotoxicity toward macrophages. They showed stronger inhibitory effect on NO production than p-anisic acid and aminoguanidine (a well-known iNOS inhibitor). Among them, hispidulin was selected to investigate the mechanism underlying its anti-inflammatory activity. The compound also inhibited the production of prostaglandin E2 in RAW264.7 cells treated with LPS in dose-dependent manner. Hispidulin was found to suppress inducible nitric oxide synthase (iNOS) and cyclooxygenase-2 (COX-2) mRNA and protein expressions in dose-dependent manners. The obtained results suggest that acacetin, hispidulin and diosmentin isolated from *C. inerme* leaves exert anti-inflammatory activity. The mechanism of anti-inflammation of hispidulin was the inhibition of iNOS and COX-2 expression at transcriptional and translational level. Additionally, this is the first report of the isolation of hispidulin and diosmentin from *C. inerme* leaves. The present study might support the effectiveness of traditional use of *C. inerme* leaves for treatment of inflammatory diseases.

Keywords: *Clerodendrum inerme*, hispidulin , nitric oxide, PGE₂, anti-inflammation

กิตติกรรมประกาศ

การศึกษารังนี้สำเร็จลงได้ด้วยความช่วยเหลือด้านต่างๆ คณะผู้วิจัยขอขอบคุณภาควิชาชีวเคมี และภาควิชาเคมี คณะวิทยาศาสตร์ มหาวิทยาลัยบูรพา สำหรับความอนุเคราะห์เครื่องมือและอุปกรณ์ในการทำวิจัย ขอขอบคุณมหาวิทยาลัยบูรพาสำหรับเงินทุนอุดหนุนการวิจัยในโครงการวิจัยนี้ ศุภทัยขอขอบคุณนางสาวศศิธร ชาวสวนทอง นางสาวคณิตา วรรณศรี นางสาวกั่งกาญจน์ วัชระนาวี นางสาวสุครารัตน์ อินทร์สุวรรณ นางสุพัตรา บุรินทร์กรกุล นางสาวเวณุกา นาไซโภ และนางสาวมิ่งขวัญ จันทร์ อินทร์ สำหรับความช่วยเหลือทางเทคนิค

สารบัญ

หน้า

| | |
|--------------------------|----|
| บทคัดย่อ | 2 |
| ABSTRACT | 3 |
| กิตติกรรมประกาศ | 4 |
| บทนำ | 6 |
| วิธีการทดลอง | 12 |
| ผลการทดลอง | 27 |
| อภิปรายและสรุปผลการทดลอง | 55 |
| เอกสารอ้างอิง | 58 |
| ภาคผนวก | 62 |
| ผลผลิตของโครงการวิจัย | 67 |

บทที่ 1

บทนำ

1.1 ความสำคัญและที่มาของปัญหาที่ทำการวิจัย

การอักเสบ เป็นปฏิกิริยาของร่างกาย ที่ทำการตอบโต้ ตอบสนอง หรือผ่อนคลายความรุนแรงของ อันตราย ที่กำลังกระทำต่อร่างกาย การอักเสบ เป็นกระบวนการปกป้อง คุ้มครองตั้งแต่ระดับเซลล์ จนถึง ชีวิตมนุษย์ การอักเสบมีสาเหตุจากการติดเชื้อ (infection) และสาเหตุที่ไม่ใช่การติดเชื้อ เช่น สารเคมี หรือ ปฏิกิริยาของภูมิคุ้มกันของร่างกาย เป็นต้น เมื่อมีอันตรายแบบใดๆ กระทำต่อร่างกาย ระบบภูมิคุ้มกัน ร่างกายที่ซับซ้อน จะทำการตอบสนองในขั้นแรก ด้วยระบบภูมิคุ้มกันแบบไม่จำเพาะเจาะจง เพื่อควบคุม ลด จำกัดและทำลายสาเหตุก่อนการอักเสbin ในทันที รวมทั้งกำจัดเนื้อเยื่อที่เสียหายหรือตายด้วย เรียกการ ตอบสนองเช่นนี้ว่า การอักเสบเฉียบพลัน (acute inflammation) ซึ่งมีการเปลี่ยนแปลงที่สำคัญ คือ การ ขยายตัวของหลอดเลือด ทำให้เลือดมาเต็มขึ้น มีการเปลี่ยนแปลงของหลอดเลือดทำให้เซลล์เม็ด เลือดออกนอกหลอดเลือดได้ และเซลล์เม็ดเลือดขาวเคลื่อนเข้าสู่เนื้อเยื่อที่เกิดขึ้นตระหะ ความเสียหายหรือ ผลจากการอักเสบเช่นนี้ ร่างกายมักจะซ่อมแซมงานหายใจได้ดีแทนไม่พบรความผิดปกติของอวัยวะหรือการ ทำงานของระบบบกพร่องรุนแรง แต่หากระบบภูมิคุ้มกัน ควบคุมสาเหตุก่อการอักเสบเฉียบพลันไม่ได้ ทำ ให้มีการทำลาย ลูก换来 รุกรานอย่างต่อเนื่องนานออกไปอีก ระบบภูมิคุ้มกันจะขยายผลการควบคุม เพื่อ ประสิทธิภาพการทำลายสาเหตุก่อการอักเสบอีก เรียกว่าการอักเสบเรื้อรัง (chronic inflammation) สิ่งที่แตกต่างไปจากการอักเสบเฉียบพลันคือ เซลล์หรือเนื้อเยื่อถูกทำลายมากขึ้น และหากการ ควบคุมยังทำได้ไม่ดีจะทำให้เกิดความบกพร่องของระบบและเป็นสาเหตุของโรคต่างๆ เช่น ภาวะซึมเศร้า การติดเชื้ออ่ายรุนแรง (septic shock) การปฏิเสธของเนื้อเยื่อในการปลูกถ่ายอวัยวะ โรคสมองเสื่อม เช่น โรคอัลไซเมอร์ (Alzheimer disease) โรคพาร์กินสัน (Parkinson disease) โรคมะเร็ง โรคเบาหวาน โรค กระเพาะและลำไส้อักเสบ โรคไขข้ออักเสบเรumatic โรคหลอดเลือดแดงแข็งตัว และ ischemia/reperfusion injury (Wright, 1992; Dorheim, 1994; Grisham, 1999; Coleman, 2001; Cross และ Wilson, 2003; Guzik, 2003; Latham, 2005)

ในการอักเสบทั้งชนิดเฉียบพลันและเรื้อรัง จะมีการหลั่งสารสื่อสารในการอักเสบหลายชนิด เช่น ในต्रิโอกไซด์ (nitric oxide) พรอสตาแกลติน (prostaglandins) และไซโตคายน์ (cytokine) เป็นจำนวนมาก มาก สารเหล่านี้จะเป็นเครื่องมือทำให้เกิดการตอบสนอง และการอักเสบมากขึ้น (Van der Vliet, 2000) จาก การศึกษาพบว่าเมื่อทำการขับยับการหลั่งสารเหล่านี้จะทำให้การอักเสบลดลง เป้าหมายของยาต้านการ อักเสบจึงมุ่งยับยั้งหรือลดการหลั่งสารเหล่านี้ การยับยั้งการผลิตในต्रิโอกไซด์ และพรอสตาแกลนдин E2 ที่มากเกินไปนี้เป็นหนทางหนึ่งที่จะช่วยป้องกันและรักษาโรคต่างๆ ที่ในต्रิโอกไซด์และพรอสตาแกลน

คืน E2 เข้าไปเกี่ยวข้อง ในปัจจุบันมีความพยายามในการคืนหามาโดยกลุ่มสารจากธรรมชาติและการสังเคราะห์ที่สามารถลดการผลิตในตระกูลออกไซด์ เพื่อนำไปสู่การผลิตยาต้านการอักเสบ และประเทศไทยมีการนำเข้ายาจากต่างประเทศเป็นมูลค่าปีละหลายพันล้านบาท ดังนั้นเพื่อเป็นการพัฒนาและลดการนำเข้ายาจากต่างประเทศ การคืนครัวหารารที่จะนำมาเป็นยาต้านอักเสบจึงมีความจำเป็น นอกจากนี้ การศึกษากลไกการออกฤทธิ์ในระดับโมเลกุลที่มีความสำคัญเพื่อความเข้าใจและยืนยันการออกฤทธิ์ของสารที่มีศักยภาพจะนำไปเป็นยาต้านการอักเสบ

สารจากพืชสมุนไพรเป็นทางเลือกที่สำคัญ ในการ ได้มาของสารที่สามารถออกฤทธิ์ยับยั้ง และป้องกันการหลั่งสารที่ทำให้เกิดการอักเสบเหล่านี้ ทั้งในแง่ของการรักษาหรือต้านป่วย และการป้องกันการเกิดโรคที่มีสาเหตุจากการอักเสบแบบเรื้อรัง จากการศึกษาเก็บข้อมูลเบื้องต้นจากนายธนู พูลทวี ประธานศูนย์องค์กรประสานงานชุมชนตำบลบ่อ อำเภอคลุง จังหวัดจันทบุรี และเป็นหมอยาพื้นบ้านในอำเภอคลุง จังหวัดจันทบุรี มีประสบการณ์ในการใช้สมุนไพรรักษาโรคนานกว่า 50 ปี พบว่าพืชสมุนไพรป้าชาเยลน บริเวณคุ่มน้ำเวพุที่ใช้ในการรักษาอาการอักเสบที่อยู่ในตำราของหมอยาพื้นบ้านแบบคุ่มน้ำเวพุ เช่น สำมะงา (*Clerodendrum inerme*) และใบเบญจมาศน้ำเงิน (*Wedelia biflora*) เป็นพืชป้าชาเยลนที่มีการนำใบ มาใช้ในการรักษาบาดแผลสด แพลงฟิกช้ำ อาการบวมแดง และอาการที่เกิดจากการอักเสบต่างๆ เช่น ไขข้ออักเสบ อาการปวดกระดูกรักษาอาการอักเสบบวม (พันธุ์พืชสมุนไพรในป้าชาเยลน, ม.ป.ป.) ในปี พ.ศ. 2554 กล่าวว่า วัฒนธรรม ศรีสุข และเอกสาร ศรีสุข รายงานถูกที่ด้านการอักเสบของส่วนสกัดย่อยเอทิลอะซิเตตของส่วนสกัดethanol ของสาหร่ายในสำมะงา ที่มีฤทธิ์ยับยั้งการผลิตไนตริกออกไซด์กว่าส่วนสกัดจากใบเบญจมาศน้ำเงิน ดังนั้นเพื่อให้ได้หลักฐานทางวิทยาศาสตร์ที่ช่วยสนับสนุนการใช้ยาสมุนไพรพื้นบ้านนี้ และเพื่อลดการนำเข้าจากต่างประเทศ นอกจากนี้อาจได้สารที่จะนำไปพัฒนาเป็นยาต้นแบบรักษาโรคจากการอักเสบต่างๆ ต่อไป จึงเลือกนำส่วนสกัดย่อยเอทิลอะซิเตตของส่วนสกัดethanol ของสาหร่ายในสำมะงา มาศึกษาสารออกฤทธิ์ด้านอักเสบที่อยู่ในใบสำมะงา คณะผู้วิจัยจึงสนใจที่จะศึกษาฤทธิ์ด้านการอักเสบของสารประกอบที่แยกได้จากส่วนสกัดย่อยเอทิลอะซิเตตจากใบสำมะงา ในเซลล์แมคโครฟางหนู (RAW264.7) ที่ถูกกระตุ้นด้วย LPS เพื่อเป็นข้อมูลพื้นฐานทางวิทยาศาสตร์ที่ช่วยสนับสนุนการใช้สมุนไพรสำมะงา และสารประกอบที่แยกได้จากใบสำมะงา อาจนำไปผลิตและพัฒนาเป็นยาตัวใหม่ที่สามารถด้านการอักเสบต่อไป

1.2 วัตถุประสงค์ของการทดลอง

- เพื่อแยกสกัดสารประกอบในเคมีบริสุทธิ์ที่มีฤทธิ์ต้านการอักเสบจากส่วนสกัดย่อยของพืช
 - เพื่อศึกษาถั่วในการออกฤทธิ์ในระดับโมเลกุลของสารบริสุทธิ์ในการออกฤทธิ์ต้านการอักเสบ

1.3 ขอบเขตของการทดลอง

นำส่วนสักดี้อย่างอิสระซึ่งต้องใบสำเนาจ่า ซึ่งเป็นส่วนสักดี้ที่มีฤทธิ์ยับยั้งการผลิตไนตริกออกไซด์ที่ดีที่สุด มาสักดี้แยกสารประกอบเคมีบริสุทธิ์ที่มีฤทธิ์ต้านการอักเสบ ในลักษณะ activity-guided isolation จากนั้นศึกษาถึงการออกฤทธิ์ในระดับโมเลกุลของสารบริสุทธิ์ที่มีฤทธิ์ยับยั้งการผลิตไนตริกออกไซด์สูง ในการออกฤทธิ์ต้านการอักเสบในเซลล์แมคโครฟางที่ถูกกระตุ้นด้วย lipopolysaccharide ซึ่งเป็นการจำลองเหตุการณ์การอักเสบในหลอดทดลอง

1.4 ผลงานวิจัยที่เกี่ยวข้อง (literature review) และเอกสารอ้างอิง

การอักเสบ (inflammation) เป็นปฏิกิริยาอันซับซ้อนที่เนื้อเยื่อต่างๆ ตอบสนองต่อเชื้อจุลชีพ และสิ่งที่เป็นอันตรายต่อร่างกาย ก่อให้เกิดการเปลี่ยนแปลงทางชีวเคมีในร่างกาย ทำให้เกิดการหลั่งของสารสื่อสารในการอักเสบ (inflammatory mediators) ชนิดต่างๆ เช่น ในคริโอกไซด์ และพรอสตาแแกดิน E2 ออกจากการเซลล์เม็ดเลือดขาวและเซลล์แมคโครฟาง โดยไนตริกออกไซด์มีฤทธิ์ส่งเสริมการอักเสบ ในคริโอกไซด์เป็นอนุมูลอิสระที่ถูกผลิตขึ้นจากการเปลี่ยน L-arginine ได้เป็น L-citrulline โดยเอนไซม์ nitric oxide synthase (NOS; EC 1.14.13.39) ในปัจจุบันพบว่า NOS มี 3 isoform ได้แก่ neuronal NOS (nNOS), endothelial NOS (eNOS) และ inducible NOS (iNOS) โดยที่ nNOS และ eNOS เป็น constitutive form ในขณะที่ iNOS เป็น inducible form การเร่งปฏิกิริยาของ NOS ต้องการโคแฟคเตอร์ เช่น nicotinamide adenine dinucleotide phosphate (NADPH), flavin adenine dinucleotide (FAD), flavin mononucleotide (FMN), calmodulin (CaM), tetrahydrobiopterin (BH₄) และซีม (Alderton, 2001) transcription factor ที่สำคัญและทำหน้าที่ควบคุมการแสดงออกของ iNOS เมื่อถูกกระตุ้นด้วย LPS ในเซลล์ กือ NF-KB ในสภาวะปกติที่เซลล์ไม่ถูกกระตุ้น NF-KB จะถูกจับโดย IKB และอยู่ในไซโตซอล เมื่อเซลล์ถูกกระตุ้นจะมีการส่งสัญญาณทางชีวภาพให้มีการแสดงออกโดย iNOS ส่งผลให้ NF-KB เกิด translocation เข้าสู่นิวเคลียสเพื่อกระตุ้นการแสดงออกของยีน iNOS

ในคริโอกไซด์มีหน้าที่เกี่ยวข้องกับกระบวนการต่างๆ ในร่างกาย เช่น การสื่อสัญญาณประสาท (neurotransmission) ควบคุมความดันโลหิต โดยทำให้หลอดเลือดขยายตัว (vascular relaxation) ป้องกันการเกาะตัวของเกล็ดเลือด (platelet aggregation) และการจับของเม็ดเลือดขาว (leukocyte adhesion) รวมทั้งยังเกี่ยวข้องกับระบบภูมิคุ้มกันแบบ innate immunity ในกระบวนการกำจัดจุลชีพที่มุกຽดโดยเซลล์แมคโครฟาง (Coleman, 2001) ในคริโอกไซด์ที่สร้างในเซลล์แมคโครฟางนี้ ถูกผลิตโดยเอนไซม์ iNOS ซึ่งถูกกระตุ้นการแสดงออกของยีนเมื่อมีการสัมผัสถกับ cytokine endotoxin หรือ lipopolysaccharide (LPS) จากแบคทีเรีย ถึงแม้ว่าในคริโอกไซด์จะมีหน้าที่เกี่ยวข้องกับการทำจัดจุลชีพที่รุกรานร่างกายมนุษย์ แต่ในคริโอกไซด์ที่ถูกผลิตขึ้นในปริมาณที่มากเกินไปจาก iNOS ถูกพบว่ามีส่วนร่วมในการเกิดการอักเสบและนำไปสู่อาการ

ของโรคต่างๆ เช่น ภาวะรือคจากการติดเชื้ออุ่งรุนแรง การปฏิเสธของเนื้อเยื่อในการปลูกถ่ายอวัยวะ โรคสมองเสื่อม โรคมะเร็ง โรคไข้ข้ออักเสบรูมาตอยด์ และโรคหลอดเลือดแดงแข็งตัว (Wright, 1992; Dorheim, 1994; Grisham, 1999; Coleman, 2001; Cross และ Wilson, 2003; Guzik, 2003; Latham, 2005) โดยในตริกอกไซด์ทำหน้าที่เป็น inflammatory mediator ที่สำคัญซึ่งถูกผลิตขึ้นโดยเซลล์เม็ดโคโรฟ่า การยับยั้งการผลิตในตริกอกไซด์ที่มากเกินไปนี้จะช่วยรักษาโรคต่างๆนี้ได้ วิธีการยับยั้งการผลิตในตริกอกไซด์มีหลายวิธี เช่น การใช้ตัวยับยั้งเอนไซม์ iNOS (iNOS inhibitor) การยับยั้งการแสดงออกของยีนสำหรับเอนไซม์ iNOS (iNOS regulator) หรือยีนสำหรับสร้างโคแฟกเตอร์ รวมทั้งการกระตุ้นเอนไซม์ anti-inflammatory เช่น heme oxygenase-1 (HO-1) ในปัจจุบันมีความพยายามในการค้นหาโนไมเลกุลสารจากธรรมชาติและการสังเคราะห์ที่สามารถลดการผลิตในตริกอกไซด์ เพื่อนำไปสู่การผลิตยาต้านการอักเสบต่อไป

พรอสต้าแกลนдин เป็นฮอร์โมนที่มีผลต่อหลอดเลือด ระบบประสาท และเซลล์ ในการตอบสนองต่อการอักเสบ ในการสังเคราะห์พรอสต้าแกลนдинจาก arachidonic acid ถูกควบคุมโดยเอนไซม์หลักคือ cyclooxygenase (COX) เอนไซม์นี้มี 2 ไอโซฟอร์ม คือ COX-1 ซึ่งมีการแสดงออกเป็นประจำเพื่อผลิตโปรตีนแกลนдинเพื่อควบคุมระบบหลอดเลือดและป้องกันเซลล์เยื่อบุกระเพาะอาหาร และอีกไอโซฟอร์ม คือ COX-2 เป็นเอนไซม์ที่ถูกกระตุ้นโดยสิ่งเร้ากลุ่มเดียวกัน iNOS ทำให้เกิดการหลั่งของพรอสต้าแกลนдин E2 ในปริมาณมากและเกี่ยวข้องกับการอักเสบ (Katzung, 2001) มียาที่ให้ผลยับยั้งต่อ COX-2 อย่างเฉพาะเจาะจงถูกพัฒนาขึ้น และใช้ในการรักษาอาการอักเสบ (Dhikav, 2002) แต่ยังไรมีความยังไม่ทราบแน่ชัดต่อการตอบสนองต่อการผลิตในตริกอกไซด์ (Tuncan, 2003)

สำมะง่า (*Clerodendrum inerme* (L.) Gaertner) เป็นพืชในวงศ์ Verbenaceae (Lamiaceae) มีลักษณะเป็นไม้พุ่ม ลำต้นทอดนอน แผ่กระฉัດกระจายโดยรอบ ใบเป็นใบเดียว เรียงตรงข้าม แผ่นใบเป็นรูปใบหอก หรือรูปปรี ขอบใบเรียบ ดอกออกตามจั่นใบและปลายกิ่งเป็นช่อกระเจา มี 3 ดอก มักจะเจื้อนตามบริเวณที่ชื่น และแตะตันบนของป้าขายเลน (พันธุ์ไม้ป้าขายเลนในประเทศไทย, 2549) ดังแสดงในรูปที่ 1-1 มีการใช้เป็นยาสมุนไพรพื้นบ้านในหลายประเทศ เช่น ไทย พิลิปปินส์ อินโดนีเซีย อินเดีย และศรีลังกา ในใช้คำพอกต้มน้ำชาถัง bardoplast เลือดออก หรือต้มเหล้าพออุ่นทานบริเวณแผลฟกช้ำ จากการกระแทก และบวม แก้แพ้อักเสบและแพลพูพอง ใบยังใช้รักษาอาการไข้ อาการไข้ข้ออักเสบ รากมีฤทธิ์แก้ลม ไข้หวัด ตับอักเสบ ตับม้ามโถแพลงวนจากการกระแทก (พันธุ์พืชสมุนไพรในป้าขายเลน, บป; Wijesundara, 2004; Shrivastava and Patel, 2007)

สำมะง่านมีฤทธิ์ทางชีวภาพในด้านต่าง เช่น ส่วนสกัดจากใบและดอกมีฤทธิ์ต้านแบคทีเรีย *Escherichia coli* และ *Staphylococcus aureus* (Shrivastava and Patel, 2007) ส่วนสกัดจากต้นแสดงฤทธิ์ต้านไวรัสตับอักเสบบี (Mehdi และคณะ, 1997) ส่วนสกัดจากใบยังแสดงฤทธิ์ต้านอนามูลอิสระ (Masuda และคณะ, 1999), ฤทธิ์ต้านมะเร็งช่องปากในหนูแมมสเตอร์ที่ถูกเหนี่ยวนำด้วย 7,12-dimethylbenz(a)anthracene (Manoharan และคณะ, 2006) ฤทธิ์ต้านเชื้อราก่อโรคในคนและพืช (Anitha และ Kannan, 2006) ฤทธิ์ป้องกันตับจากพิษ

ของ CCl_4 (Gopal and Sengottuvelu, 2008) และฤทธิ์การต้านการอักเสบในหนูที่ฉุกเฉินนี้ยวน้ำด้วยฟอร์มาลีน และมีฤทธิ์แก่ปวคในหนูที่ฉุกเฉินนี้ยวน้ำด้วยกรดอะซิติก (Yankanchi and Koli, 2010) รวมทั้งมีฤทธิ์ต้านอักเสบจากส่วนสกัดใบสำมะง่าในเซลล์แม่โคโรฟางที่เห็นยวน้ำด้วย LPS (กล่าวขวัญ ศรีสุข และเอกชัย ศรีสุข, 2554)



ภาพที่ 1-1 ลักษณะของต้นสำมะง่า (ถ่ายภาพโดย พศ.ดร.กล่าวขวัญ ศรีสุข)

นอกจากนี้ยังมีรายงานการวิจัยองค์ประกอบทางเคมีของสำมะง่า ดังนี้

1. β -sitosterol (Chirva and Garg, 1980)
2. 5,8-epoxy-6,7-dimethyl 2',3',2'',3''-dimethylene dioxy-4',1''-dimethoxy-1,2:3,4-dibenzo-1,3-cyclooctadiene (Neolignan) (Spencer and Flippin-Anderson, 1981)
3. (24S)-ethylcholestra-5,22,25-triene-3 β -ol (Singh and Singhi, 1981)
4. 24,24-Dimethyl-25-dehydrolophenol, 4 α -methyl sterols (Akihisa et al., 1990)
5. friedelin, 5-hydroxy-7,4'-dimethoxyflavone, salvigenin, acacetin และ apigenin (Achari et al., 1990)
6. iridoid glycosides ได้แก่ 2'-O-(β -D-apiofuranosyl)-mussaenosidic acid (inerminosides A1), 2'-O-[5''-O-(8-hydroxy-2,6-dimethyl-2(E)-octenoyl)- β -D-apiofuranosyl]-gardoside (inerminosides C) และ 2'-O-[5''-O-(p-hydroxy-benzoyl)- β -D-apiofuranosyl]-mussaenosidic acid (inerminosides D) (Calis et al., 1994)
7. 4'-Methylscutellarein and pectolinarigenin (Vendantham et al., 1997)
8. megastigmaneglycosides ได้แก่ (3S,5R, 6S, 7E, 9S)-3-hydroxy-5,6-epoxy- β -ionyl-9-O- β -glucopyranoside (sammangaoside A) และ (3S,5R,6S,9R)-3-hydroxy-5,6-epoxy- β -dihydroion yl-9-O- β -

glucopyranoside (sammangaoside B) และ a iridoidglucoside ได้แก่ melittoside 3''-O- β -glucopyranoside (sammangaoside C) (Kanchanapoom et al., 2001)

9. sterols ได้แก่ 4α -methyl-24 β -ethyl-5 α -cholesta-14,25-dien-3 β -ol และ 24 β -ethylcholesta-5,9(11),22E-trien-3 β -ol) และ aliphatic ketone ได้แก่ 11-pentacosanone (Pandeye et al., 2003)

10. neo-clerodanediterpenoids ได้แก่ inermes A, inermes B และ 14,15-dihydro-15 β -methoxy-3-epicaryoptin (Pandeye et al., 2005)

11. 2-(3-methoxy-4-hydroxyphenyl) ethyl-O-2'',3''-diacetyl-alpha-L-rhamnopyranosyl-(1-->3)-4-O-(E)-feruloyl-beta-D-glucopyranoside (phenylethanoidglycoside), monomelittoside, melittoside, inerminoside A1, verbascoside, isoverbascoside และ campneoside I (Nan et al., 2005)

12. Flavones (Vendantham et al., 1997, Srivastava and Patel, 2007)

บทที่ 2

วิธีการทดลอง

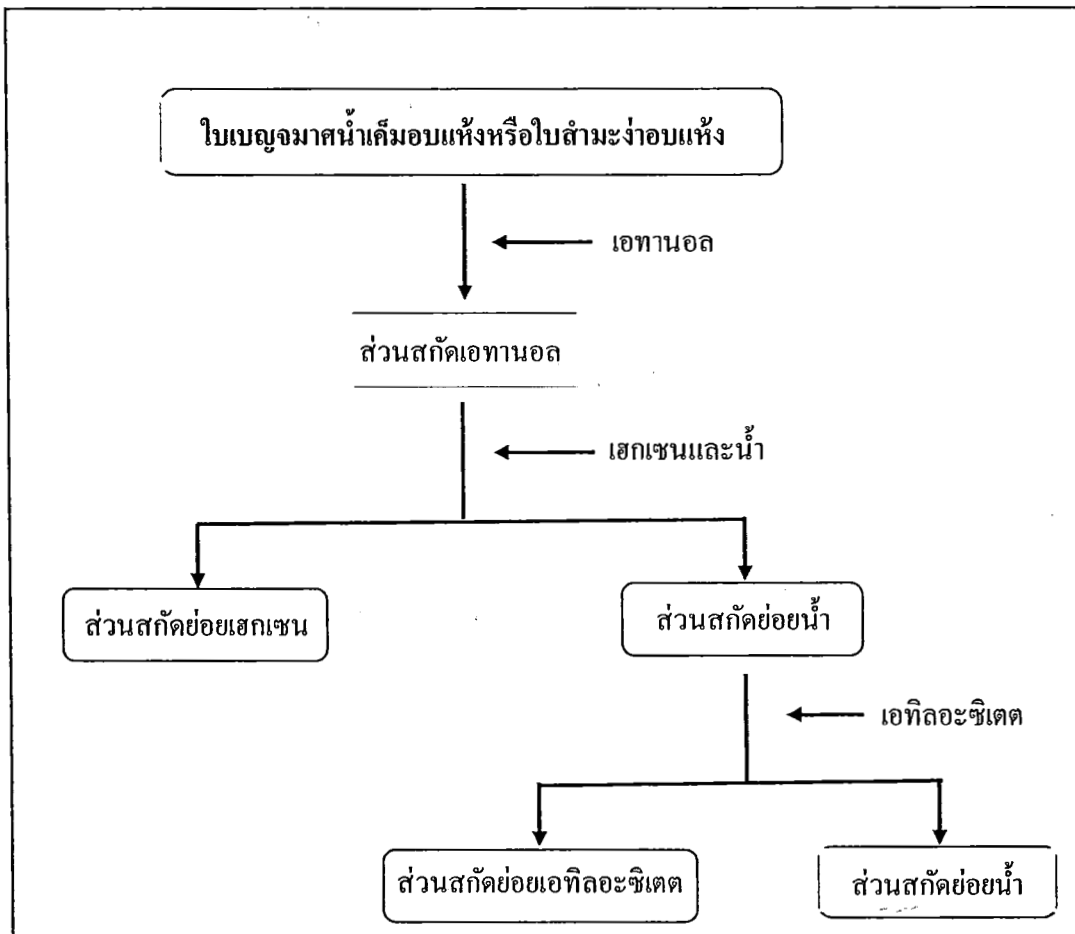
2.1 การเตรียมพืชสมุนไพร

เก็บพืชสมุนไพรทั้ง 2 ชนิด ได้แก่ ใบเบญจมาศน้ำเงิน และใบสามง่า จากศูนย์การเรียนรู้และการท่องเที่ยวเชิงนิเวศป่าชายเลนอุ่มน้ำเวฬุ สถานีพัฒนาทรัพยากรป่าชายเลนที่ 2 (บ้านท่าสอนอำเภอคลุงจังหวัดจันทบุรี) และระบุชนิดของพืชโดยอาจารย์เบญจวรรณ ชิวปรีชา ภาควิชาชีววิทยา คณะวิทยาศาสตร์มหาวิทยาลัยมหิดล จากนั้นนำไป秤มาล้างด้วยน้ำประปาให้สะอาด และอบที่อุณหภูมิ 50°C จนกระทั่งแห้งก่อนนำไปแห้งบนดินให้ละเอียดด้วยเครื่องปั่น แล้วซึ่งน้ำหนักในพืชหลังจากที่ปั่นได้ทั้งหมด

2.2 การสกัดสารจากพืชสมุนไพร

นำใบเบญจมาศน้ำเงินที่บดละเอียด 435 g และใบสามง่า 1200 g ใส่ลงในถุงผ้า มัดปากถุงให้แน่น จากนั้นนำไปแช่ในสารละลายนอกออลบริสุทธิ์ ปริมาตร 4.4 mL และ 12 L ตามลำดับ ในชุดแก้วเป็นเวลา 5 วัน โดยทำการเขย่าสารให้ผสมกันวนละ 2 ครั้ง จากนั้นกรองสารสกัดด้วยกระดาษกรอง Whatman เบอร์ 3 ภายใต้สุญญากาศโดยใช้เครื่องดูดลดความดันที่อุณหภูมิห้อง จากนั้นนำผงของพืชทั้งสองชนิดไปทำการสกัดด้วยเอทานอล ปริมาตร 4.4 mL และ 12 L ซึ่งอีก 2 ครั้ง และทำการรวมส่วนสกัดเอทานอลที่ได้ทั้งหมด ก่อนที่จะนำไปทำการระเหยตัวละลายของด้วยเครื่องระเหยสุญญากาศแบบหมุน และเครื่องดูดสุญญากาศ ตามลำดับ ซึ่งน้ำหนักส่วนสกัดเอทานอลที่ได้ และเก็บไว้ในตู้เย็นแห้งไว้ที่อุณหภูมิ -20°C

ทำการสกัดแยกส่วนสกัดเอทานอลของพืช โดยนำส่วนสกัดเอทานอลของใบเบญจมาศน้ำเงินมา 83 g และใบสามง่ามา 195 g และล่ายด้วยเอทานอล 800 mL และ 2000 mL ตามลำดับ จากนั้นทำการแบ่งสารสกัดที่ละลายด้วยเอทานอลมา 400 mL ใส่ลงในกรวยแยกขนาด 1000 mL ตามแผนผังการสกัด (รูปที่ 2-1) เติมน้ำ 100 mL และเติมแยกชน 400 mL แยกส่วนที่เป็นชั้นแยกออก (ชั้นบน) นำส่วนที่เป็นชั้นน้ำมาสกัดด้วยแยกชน 400 mL อีกครั้ง นำชั้นแยกชนที่ได้มารวมกัน จากนั้นนำส่วนชั้นน้ำสกัดด้วยเอทิลอะซิเตต 2 ครั้งๆ ละ 400 mL นำชั้นเอทิลอะซิเตตที่ได้มารวมกัน เก็บชั้นน้ำ และนำแต่ละชั้นที่แยกได้มาทำการระเหยตัวละลายด้วยเครื่องระเหยสุญญากาศแบบหมุนและเครื่องดูดสุญญากาศ ตามลำดับ ซึ่งน้ำหนักส่วนสกัดย่อยแยกชน เอทิลอะซิเตต และน้ำที่ได้ ก่อนนำไปเก็บที่อุณหภูมิ -20°C โดยไม่ให้โดยแสง เพื่อทำการทดสอบฤทธิ์ในการต้านการอักเสบต่อไป



รูปที่ 2-1 แผนผังการสกัดแยกส่วนของใบสำมะง่าโดยสรุป

2.2.1 การแยกสารจากส่วนสกัดย่อยเอทิลอะซิเตตจากใบสำมะง่า

แยกส่วนสกัดย่อยเอทิลอะซิเตตจากใบสำมะง่าโดยคอลัมน์โปรแกรมโทกราฟิใช้ silica gel 1.07734 เป็นเฟสคงที่ silica gel ถูกแข่ด้วยตัวทำละลาย 100% ไดคลอโรเมเทน จนกระทั่ง silica gel อิ่มตัว จากนั้นบรรจุ silica gel ลงในคอลัมน์มีเส้นผ่านศูนย์กลาง 10 เซนติเมตร ความยาว 40 เซนติเมตร นำส่วนสกัดย่อยเอทิลอะซิเตตจากสำมะง่ามา 17 กรัม ละลายในตัวทำละลายเอทิลอะซิเตตจนส่วนสกัดละลายหมดแล้วผสมกับ silica gel (silica gel ประมาณ 3 เท่าของน้ำหนักส่วนสกัด) ผสมให้สารเป็นเนื้อดีิกวัน จากนั้นนำสารไประเหยตัวทำละลายเอทิลอะซิเตตที่ผสมอยู่ออกให้หมดด้วยเครื่องระเหยสารแบบหมุนและเครื่องปั๊มสูญญากาศแล้วนำ silica gel ไปบรรจุลงคอลัมน์ และใส่ตัวทำละลาย 100% ไดคลอโรเมเทนให้ท่วงผิว silica gel และปรับผิวให้เรียบ แยกสารโดยใช้เฟสเคลื่อนที่คือ ไดคลอโรเมเทน : เมทานอล ในระบบ gradient elution คือ เริ่มสารที่ 100 : 0 (3 ลิตร), 99.9 : 0.1 (2 ลิตร), 99.8 : 0.2 (7 ลิตร), 99.7 : 0.3 (3 ลิตร), 99.3 :

0.7 (3 ลิตร), 99 : 1 (3 ลิตร), 98 : 2 (4 ลิตร), 97 : 3 (2 ลิตร), 95 : 5 (2 ลิตร), 93 : 7 (2 ลิตร), 90 : 10 (2 ลิตร), 80 : 20 (2 ลิตร), 70 : 30 (2 ลิตร) และ 50 : 50 (2 ลิตร) ตามลำดับ เก็บส่วนสกัดย่อยที่ผ่าน colloidal ประมาณตัวอย่างละ 50 มิลลิลิตร และนำไปวิเคราะห์ด้วยเทคนิค TLC เพื่อแยกและรวมสารได้สารทั้งหมด 8 ส่วน สกัดย่อย (sub fractions, SF 1-8)

2.2.2 การแยกสารจากส่วนสกัดย่อยอิทธิ.localechite จากใบสามง่า SF8

นำส่วนสกัดย่อย SF8 แยกในแฟลชคลอเล้มน์ (แฟลชคลอเล้มน์มีเส้นผ่านศูนย์กลาง 4 เซนติเมตร ความยาว 22 เซนติเมตร) ใช้ silica gel ขนาด 0.0400-0.0630 มิลลิเมตร เป็นเฟสคงที่โดยใช้ silica gel ในตัวทำละลายเมทานอล : ไคคลอโรเมเทนในอัตราส่วน 1:99 จันกระทั้ง silica gel อี็มตัว จากนั้นบรรจุ silica gel ลงในแฟลชคลอเล้มน์โดยใช้ silica gel ประมาณ 3 ใน 4 ของความยาวคลอเล้มน์ สูง 18 เซนติเมตร และใช้ความดันช่วยในเฟสเคลื่อนที่

นำส่วนสกัดย่อย SF8 มา 2.9363 กรัม ละลายในตัวทำละลายไคคลอโรเมเทน จันกระทั้งส่วนสกัด ละลายหมด แล้วนำไปผสมกับ silica gel 9.0000 กรัม (silica gel ประมาณ 3 เท่าของน้ำหนักของส่วนสกัดที่ใช้) ผสมสารให้เป็นเนื้อเดียวกัน จากนั้นนำไประเหยตัวทำละลายไคคลอโรเมเทนที่ผสมอยู่ออกให้หมดด้วยเครื่องกลั่นระเหยแบบหมุนและบีบสูญญากาศ แล้วบรรจุลงคลอเล้มน์ส่วนบนใส่ตัวทำละลายเมทานอล: ไคคลอโรเมเทนในอัตราส่วน 1:99 และปรับพิวน้ำให้เรียบ แยกสารโดยใช้เฟสเคลื่อนที่ในระบบ gradient elution กือ จะด้วยสารละลายเมทานอล : ไคคลอโรเมเทนในอัตราส่วน 1:99 (500 มิลลิลิตร) 2:98 (750 มิลลิลิตร) 3:97 (600 มิลลิลิตร) 4:96 (1000 มิลลิลิตร) 5:95 (500 มิลลิลิตร) 10:90 (500 มิลลิลิตร) 15:85 (500 มิลลิลิตร) และ 20:80 (500 มิลลิลิตร) ตามลำดับ เก็บส่วนสกัดย่อยที่ผ่าน colloidal ประมาณตัวอย่างละ 20 มิลลิลิตร นำไปตรวจด้วยเทคนิค TLC เพื่อแยกและรวมสารได้สารทั้งหมด 4 ส่วนสกัดย่อย (SF8.1 ถึง SF8.4) ดังแสดงในแผนภาพที่ 2-2 เลี้ยวนำไปทดสอบฤทธิ์ด้านการอักเสบต่อไป

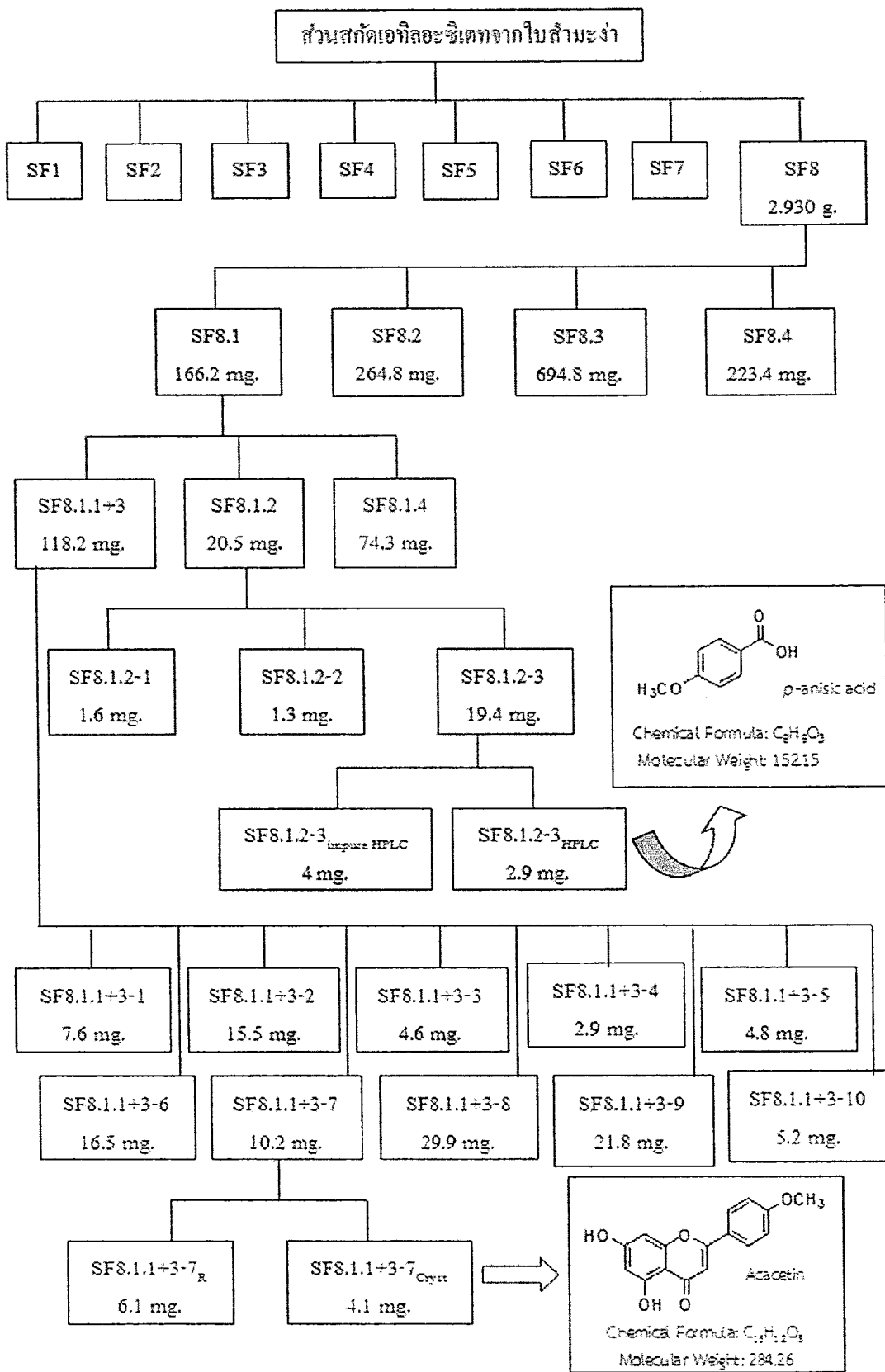
นำส่วนสกัดย่อย SF8.1 แยกในแฟลชคลอเล้มน์ (แฟลชคลอเล้มน์มีเส้นผ่านศูนย์กลาง 3.5 เซนติเมตร ความยาว 30 เซนติเมตร) silica gel ขนาด 0.0400-0.0630 มิลลิเมตร เป็นเฟสคงที่โดยใช้ silica gel ในตัวทำละลายเมทานอล : ไคคลอโรเมเทนในอัตราส่วน 3:97 จันกระทั้ง silica gel อี็มตัว จากนั้นบรรจุ silica gel ลงในแฟลชคลอเล้มน์โดยใช้ silica gel สูงประมาณ 19 เซนติเมตร และใช้ความดันช่วยในเฟสเคลื่อนที่นำส่วนสกัดย่อย SF8.1 มา 0.1662 กรัม ละลายในตัวทำละลายไคคลอโรเมเทน จันกระทั้งส่วนสกัดละลายหมด แล้วนำไปผสมกับ silica gel 0.5000 กรัม (silica gel ประมาณ 3 เท่าของน้ำหนักของส่วนสกัดที่ใช้) ผสมสารให้

เป็นเนื้อเดียวกัน จากนั้นนำไปประheyตัวทำละลายไคคลอโรเมเทนที่ผสมอยู่ออกให้หมดด้วยเครื่องกลั่น ระหว่างแบบหมุนและบีบสูญญากาศ แล้วบรรจุลงคอนลัมน์ส่วนบน ใส่ตัวทำละลายเมทานอล : ไคคลอโรเมเทนในอัตราส่วน 3:97 และปรับผิวน้ำให้เรียบ

แยกสารโดยใช้เฟสเคลื่อนที่ในระบบ gradient elution คือ จะด้วยสารละลายเมทานอล : ไคคลอโรเมเทนในอัตราส่วน 3:97 (500 มิลลิลิตร) 4:96 (500 มิลลิลิตร) 5:95 (200 มิลลิลิตร) และ 8:92 ไคคลอโรเมเทน (200 มิลลิลิตร) ตามลำดับ เก็บส่วนสกัดย่อยที่ผ่านคอนลัมน์ ประมาณตัวอย่างละ 20 มิลลิลิตร นำไปตรวจด้วยเทคนิค TLC เพื่อแยกและรวมสาร ได้สารทั้งหมด 4 ส่วนสกัดย่อย (SF8.1.1 ถึง SF8.1.4) แล้วนำไปทดสอบฤทธิ์ต้านการอักเสบต่อไป

นำส่วนสกัดย่อย SF8.1.2 แยกในแฟลชคอนลัมน์ (แฟลชคอนลัมน์มีเส้นผ่านศูนย์กลาง 2 เซนติเมตร ความยาว 27 เซนติเมตร) silica gel ขนาด 0.0400-0.0630 มิลลิเมตร เป็นเฟสคงที่โดยแซ่ silica gel ในตัวทำละลายเอทิลอะซิเตต : เอเกเซนในอัตราส่วน 20:80 จนกระทั่ง silica gel อิ่มตัว จากนั้นบรรจุ silica gel ลงในแฟลชคอนลัมน์โดยใช้ silica gel สูงประมาณ 20 เซนติเมตร และใช้ความดันช่วยในเฟสเคลื่อนที่ นำส่วนสกัดย่อย SF8.1.2 มา 0.0205 กรัม ละลายในตัวทำละลายเอทิลอะซิเตต จนกระทั่งส่วนสกัดละลายหมด แล้วนำไปผสมกับ silica gel 0.0634 กรัม (silica gel ประมาณ 3 เท่าของน้ำหนักของส่วนสกัดที่ใช้) ผสมสารให้เป็นเนื้อเดียวกัน จากนั้นนำไปประheyตัวทำละลายเอทิลอะซิเตตที่ผสมอยู่ออกให้หมดด้วยเครื่องกลั่น ระหว่างแบบหมุนและบีบสูญญากาศ แล้วบรรจุลงคอนลัมน์ส่วนบน ใส่ตัวทำละลายเอทิลอะซิเตต : เอเกเซนในอัตราส่วน 20:80 และปรับผิวน้ำให้เรียบ แยกสารโดยใช้เฟสเคลื่อนที่ในระบบ gradient elution คือ จะด้วยสารละลายเอทิลอะซิเตต : เอเกเซนในอัตราส่วน 20:80 (100 มิลลิลิตร) 30:70 (200 มิลลิลิตร) 50:50 (500 มิลลิลิตร) 60:40 (100 มิลลิลิตร) และ 80:20 (100 มิลลิลิตร) ตามลำดับ เก็บส่วนสกัดย่อยที่ผ่านคอนลัมน์ ประมาณตัวอย่างละ 20 มิลลิลิตร นำไปตรวจด้วยเทคนิค TLC เพื่อแยกและรวมสาร ได้สารทั้งหมด 3 ส่วนสกัดย่อย (SF8.1.2-1 ถึง SF8.1.2-3) แล้วนำไปทดสอบฤทธิ์ต้านการอักเสบต่อไป

นำส่วนสกัดย่อย SF8.1.1+3 แยกในแฟลชคอนลัมน์ (แฟลชคอนลัมน์มีเส้นผ่านศูนย์กลาง 3.5 เซนติเมตร ความยาว 30 เซนติเมตร) silica gel ขนาด 0.0400-0.0630 มิลลิเมตร เป็นเฟสคงที่โดยแซ่ silica gel ในตัวทำละลาย เมทานอล : ไคคลอโรเมเทนในอัตราส่วน 0.1:99.9 จนกระทั่ง silica gel อิ่มตัว จากนั้นบรรจุ silica gel ลงในแฟลชคอนลัมน์โดยใช้ silica gel สูงประมาณ 14 เซนติเมตร และใช้ความดันช่วยในเฟสเคลื่อนที่ นำส่วนสกัดย่อย SF8.1.1+3 มา 0.1182 กรัม ละลายในตัวทำละลายไคคลอโรเมเทน จนกระทั่งส่วนสกัดละลายหมด แล้วนำไปผสมกับ silica gel 0.3570 กรัม (silica gel ประมาณ 3 เท่าของน้ำหนักของส่วนสกัดที่ใช้)



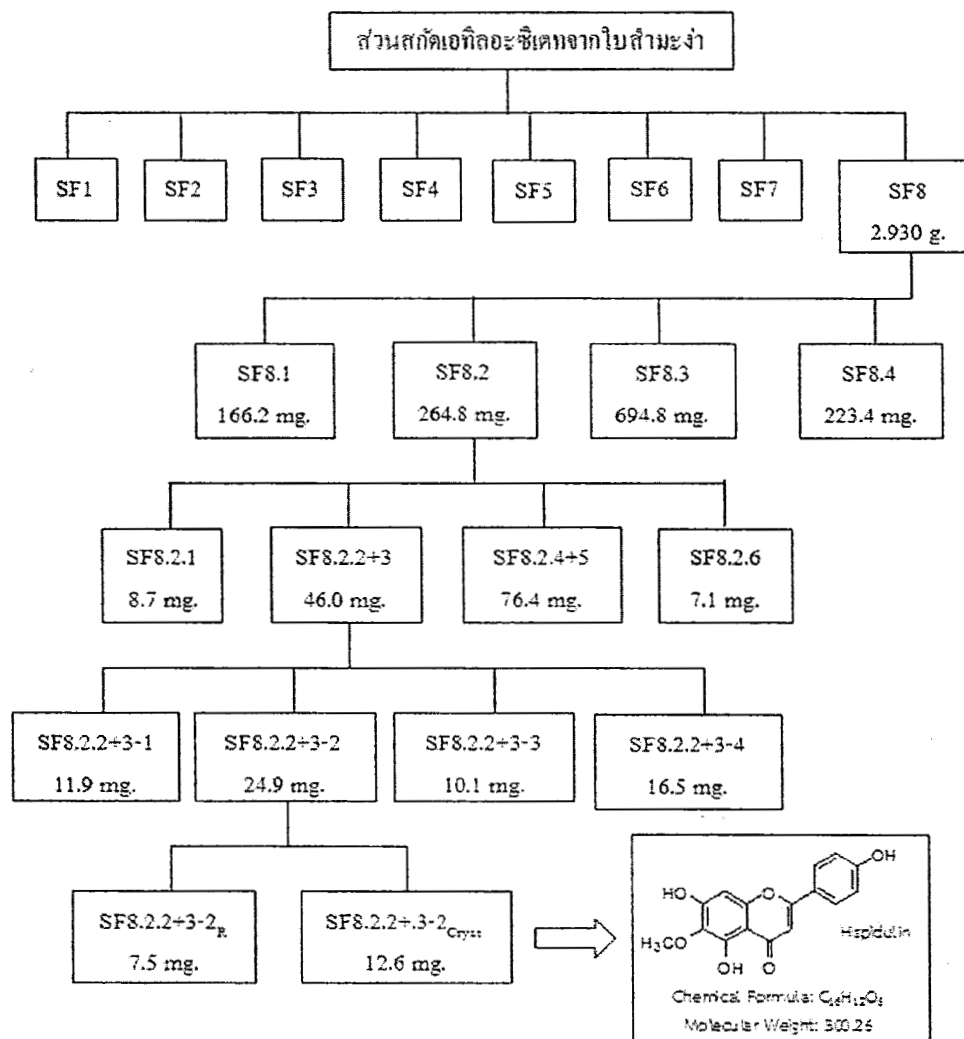
รูปที่ 2-2 แผนผังการแยกสารประกอบจากส่วนสกัดย่อย SF8.1

ผสมสารให้เป็นเนื้อเดียวกัน จากนั้นนำไปประเทยตัวทำละลายโดยคลอโรเมเทนที่ผสมอยู่ออกให้หมดด้วย เครื่องกลั่นระบายน้ำและบีบสุญญากาศ แล้วบรรจุลงคลอลัมเน่ส่วนบน ใส่ตัวทำละลายเมทานอล : ไดคลอโรเมเทนในอัตราส่วน 0.1:99.9 และปรับผิวน้ำให้เรียบ แยกสารโดยใช้เฟสเคลื่อนที่ในระบบ gradient elution กีอ อะดีวีสารละลายเมทานอล: ไดคลอโรเมเทนในอัตราส่วน 0.1:99.9 (200 มิลลิลิตร) 0.2:99.8 (200 มิลลิลิตร) 0.4:99.6 (400 มิลลิลิตร) 0.6: 99.4 (200 มิลลิลิตร) 0.8:99.2 (200 มิลลิลิตร) 1:99 (400 มิลลิลิตร) 1.5:98.5 (400 มิลลิลิตร) 2:98 (800 มิลลิลิตร) 3:97 (400 มิลลิลิตร) 4:96 (400 มิลลิลิตร) และ 5:95 (400 มิลลิลิตร) ตามลำดับ เก็บส่วนสกัดย่อยที่ผ่านคลอลัมเน่ ประมาณตัวอย่างละ 20 มิลลิลิตร นำไปตรวจด้วยเทคนิค TLC เพื่อแยกแยะรวมสาร ได้สารทั้งหมด 10 ส่วนสกัดย่อย (SF8.1.1+3-1 ถึง SF8.1.1+3-10) ดังแสดงในรูปที่ 2-2 แล้วนำไปทดสอบฤทธิ์ด้านการอักเสบต่อไป

นำส่วนสกัดย่อย SF8.2 แยกในแฟลชคลอลัมเน่ (แฟลชคลอลัมเน่มีเส้นผ่านศูนย์กลาง 3.5 เซนติเมตร ความยาว 30 เซนติเมตร) silica gel ขนาด 0.0400-0.0630 มิลลิเมตร เป็นเฟสคงที่โดยใช้ silica gel ในตัวทำละลายเอทิลอะซีเตต : เชกเซนในอัตราส่วน 30:70 จนกระทั้ง silica gel อิ่มตัว จากนั้นบรรจุ silica gel ลงในแฟลชคลอลัมเน่โดยใช้ silica gel สูงประมาณ 20 เซนติเมตร และใช้ความดันช่วยในเฟสเคลื่อนที่ นำส่วนสกัดย่อย SF8.2 มา 0.2648 กรัม ละลายในตัวทำละลายเอทิลอะซีเตต จนกระทั้งส่วนสกัดละลายหมด แล้วนำไปผสมกับ silica gel 0.8014 กรัม (silica gel ประมาณ 3 เท่าของน้ำหนักของส่วนสกัดที่ใช้) ผสมสารให้เป็นเนื้อเดียวกัน จากนั้นนำไปประเทยตัวทำละลายเอทิลอะซีเตตที่ผสมอยู่ออกให้หมดด้วยเครื่องกลั่นระบายน้ำและบีบสุญญากาศ แล้วบรรจุลงคลอลัมเน่ส่วนบน ใส่ตัวทำละลายเอทิลอะซีเตต: เชก เซนในอัตราส่วน 30:70 และปรับผิวน้ำให้เรียบ แยกสารโดยใช้เฟสเคลื่อนที่ในระบบ gradient elution กีอ อะดีวีสารละลายเอทิลอะซีเตต : เชกเซนในอัตราส่วน 30:70 (800 มิลลิลิตร) 40:60 (300 มิลลิลิตร) 50:50 (900 มิลลิลิตร) 60:40 (500 มิลลิลิตร) 80:20 (500 มิลลิลิตร) 100:0 (200 มิลลิลิตร) 1:99 (500 มิลลิลิตร) และ 5:95 (300 มิลลิลิตร) ตามลำดับ เก็บส่วนสกัดย่อยที่ผ่านคลอลัมเน่ ประมาณตัวอย่างละ 20 มิลลิลิตร นำไปตรวจด้วยเทคนิค TLC เพื่อแยกแยะรวมสาร ได้สารทั้งหมด 6 ส่วนสกัดย่อย (SF8.2.1 ถึง SF8.2.6) ดังแสดงในรูปที่ 2-3 แล้วนำไปทดสอบฤทธิ์ด้านการอักเสบต่อไป

นำส่วนสกัดย่อย SF8.2.2+3 แยกในแฟลชคลอลัมเน่ (แฟลชคลอลัมเน่มีเส้นผ่านศูนย์กลาง 2 เซนติเมตร ความยาว 27 เซนติเมตร) silica gel ขนาด 0.0400-0.0630 มิลลิเมตร เป็นเฟสคงที่โดยใช้ silica gel ในตัวทำละลายเมทานอล : ไดคลอโรเมเทนในอัตราส่วน 2:98 จนกระทั้ง silica gel อิ่มตัว จากนั้นบรรจุ silica gel ลงในแฟลชคลอลัมเน่โดยใช้ silica gel สูงประมาณ 22 เซนติเมตร และใช้ความดันช่วยในเฟสเคลื่อนที่ นำส่วน

สกัดย่อย SF8.2.2+3 มา 0.0460 กรัม ละลายในตัวทำละลายไดคอลอโรเมเทน จนกระทั่งส่วนสกัดละลายหมดแล้วนำไปทดสอบกับ silica gel 0.1398 กรัม (silica gel ประมาณ 3 เท่าของน้ำหนักของส่วนสกัดที่ใช้) ทดสอบให้เป็นเนื้อดียกัน จานนั้นนำไปประเทยตัวทำละลายไดคอลอโรเมเทนที่ทดสอบอยู่ออกให้หมดด้วยเครื่องกลั่นระเหยแบบหมุนและปั๊มสูญญากาศ แล้วบรรจุลงกองลั่นส่วนบน ใส่ตัวทำละลายเมทานอล : ไดคอลอโรเมเทน ในอัตราส่วน 2:98 และปรับผิวน้ำให้เรียบ แยกสาร โดยใช้เฟลเคลื่อนที่ในระบบ gradient elution คือ จะด้วยสารละลายเมทานอล : ไดคอลอโรเมเทนในอัตราส่วน 2:98 (300 มิลลิลิตร) 3:97 (100 มิลลิลิตร) 4:96 (100 มิลลิลิตร) 5:95 (100 มิลลิลิตร) และ 8:92 (100 มิลลิลิตร) ตามลำดับเก็บส่วนสกัดย่อยที่ผ่านกองลั่นประมาณตัวอย่างละ 20 มิลลิลิตร นำไปตรวจด้วยเทคนิค TLC เพื่อแยกและรวมสาร ได้สารทั้งหมด 4 ส่วน สกัดย่อย (SF8.2.2+3-1 ถึง SF8.2.2+3-4) แล้วนำไปทดสอบฤทธิ์ต้านการอักเสบต่อไป

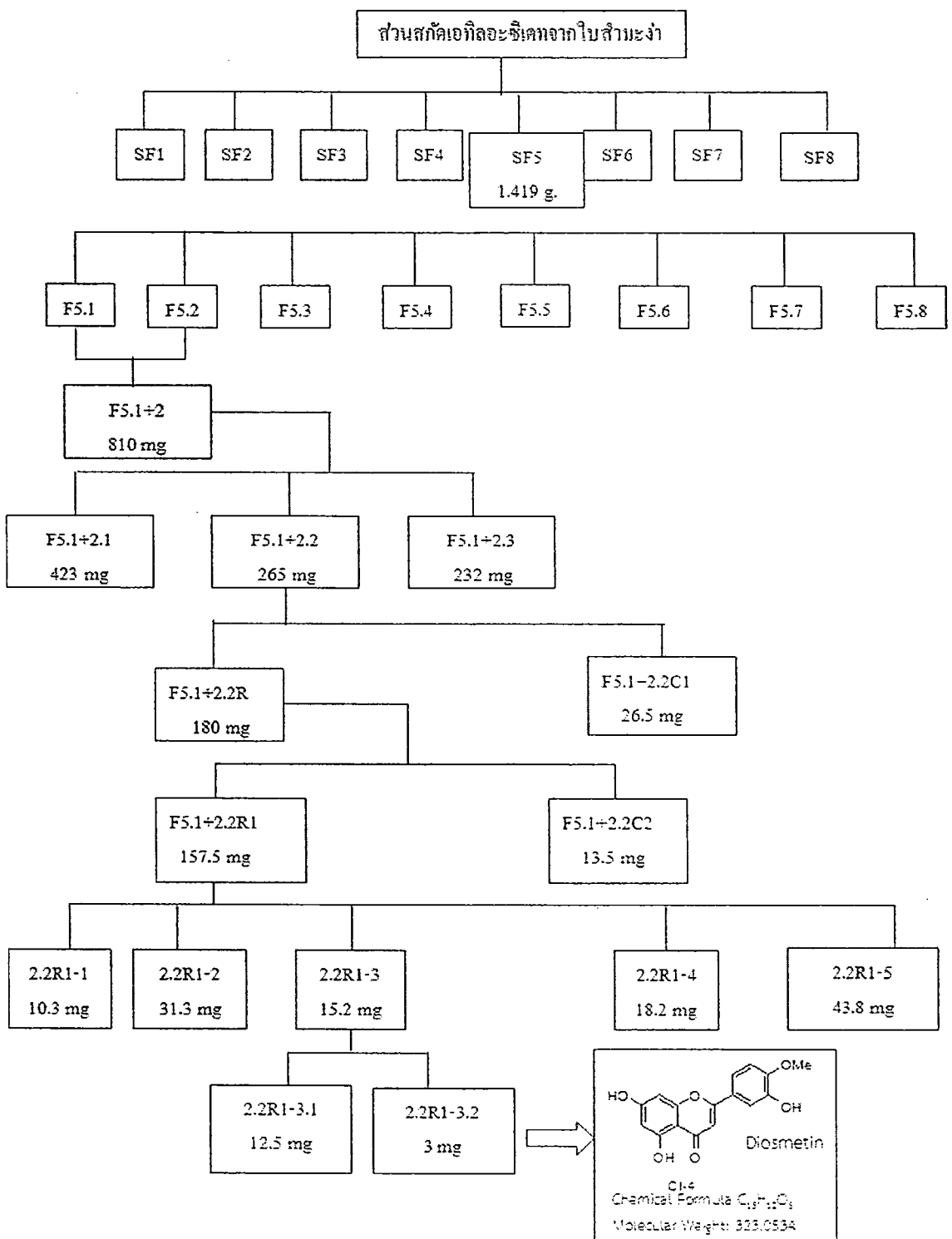


รูปที่ 2-3 แผนผังการแยกสารประกอบจากส่วนสกัดย่อย SF8.2

2.2.2 การแยกสารจากส่วนสกัดย่อยเอทิลอะซิเตตจากใบสามง่า SF5

นำส่วนสกัดย่อย SF5 จำนวน 1.419 กรัม แยกในแฟลชคลอลัมน์ (แฟลชคลอลัมนมีเส้นผ่านศูนย์กลาง 6.5 เซนติเมตร ความยาว 40 เซนติเมตร) silica gel 1.09385 เป็นเฟสคงที่โดยใช้ silica gel ในตัวทำละลาย 30% เอทิลอะซิเตต: 70% เอ็กเซน จนกระทั่ง silica gel จมตัว จากนั้นบรรจุ silica gel ลงในแฟลชคลอลัมน์ นำส่วนสกัดย่อย SF5 มา 1.3549 กรัม ละลายในตัวทำละลายเอทิลอะซิเตต แล้วบรรจุลงคลอลัมน์ส่วนบน แยกสารโดยใช้เฟสเคลื่อนที่ในระบบ Isocratic elution คือ ชะสารที่ 30% เอทิลอะซิเตต : 70% เอ็กเซน (3.5 ลิตร), 50% เอทิลอะซิเตต : 50% เอ็กเซน (2.5 ลิตร) และ 70% เอทิลอะซิเตต : 30% เอ็กเซน (2.5 ลิตร) ตามลำดับ เก็บส่วนสกัดย่อยที่ผ่านคลอลัมน์ ประมาณตัวอย่างละ 25 มิลลิลิตร นำไปตรวจด้วยเทคนิค TLC เพื่อแยกและรวมสาร ได้สารทั้งหมด 8 ส่วนสกัดย่อย (SF5.1-SF5.8) ดังแสดงในรูปที่ 2-4 แล้วนำไปทดสอบถูกต้องต่อไป

นำส่วนสกัดย่อย SF5.1 และ 5.2 แยกในคลอลัมน์ที่มี silica gel 1.09385 เป็นเฟสคงที่ นำส่วนสกัดย่อย SF5.1 และ 5.2 มวลกันได้น้ำหนัก 0.8102 กรัม ละลายในตัวทำละลาย 30% เอทิลอะซิเตต : 70% เอ็กเซน แล้วบรรจุลงคลอลัมน์ส่วนบน แยกสารโดยใช้เฟสเคลื่อนที่ คือ ชะสารที่ 30% เอทิลอะซิเตต : 70% เอ็กเซน (700 มิลลิลิตร), 40% เอทิลอะซิเตต : 60% เอ็กเซน (500 มิลลิลิตร), 50% เอทิลอะซิเตต : 50% เอ็กเซน (300 มิลลิลิตร), 60% เอทิลอะซิเตต : 40% เอ็กเซน (300 มิลลิลิตร) และ 100% เอทิลอะซิเตต (300 มิลลิลิตร) ตามลำดับ เก็บส่วนสกัดย่อยที่ผ่านคลอลัมน์ ประมาณตัวอย่างละ 25 มิลลิลิตร นำไปตรวจด้วยเทคนิค TLC เพื่อแยกและรวมสาร ได้สารทั้งหมด 3 ส่วนสกัดย่อย (SF5.1+2.1-SF5.1+2.3) จากนั้นนำส่วนสกัดย่อย SF5.1+2.2 มาทำการตกผลึกได้ 2 ส่วนคือ SF5.1+2.2R และ SF5.1+2.2C1 และนำส่วนสกัดย่อย SF5.1+2.2R มาทำการตกผลึกได้ 2 ส่วนคือ SF5.1+2.2R1 และ SF5.1+2.2C2 จากนั้นนำส่วนสกัดย่อย SF5.1+2.2R1 มาแยกในคลอลัมน์ที่มี silica gel เป็นเฟสคงที่ แยกสารโดยใช้เฟสเคลื่อนที่ คือ 40-80% เอทิลอะซิเตต : เอ็กเซน เก็บส่วนสกัดย่อยที่ผ่านคลอลัมน์ นำไปตรวจด้วยเทคนิค TLC เพื่อแยกและรวมสาร ได้สารทั้งหมด 5 ส่วนสกัดย่อย (SF5.1+2.2R1-1 ถึง SF5.1+2.2R1-5) ดังแสดงในรูปที่ 2-4 จากนั้นนำส่วนสกัดย่อย SF5.1+2.2R1-3 มาแยกในคลอลัมน์ที่มี silica gel เป็นเฟสคงที่ แยกสารโดยใช้เฟสเคลื่อนที่ คือ 2-5% เมทานอล : ไคลโอล โรเมเทน เก็บส่วนสกัดย่อยที่ผ่านคลอลัมน์ นำไปตรวจด้วยเทคนิค TLC เพื่อแยกและรวมสาร ได้สารทั้งหมด 2 ส่วนสกัดย่อย (SF5.1+2.2R1-3.1 ถึง SF5.1+2.2R1-3.2)



รูปที่ 2-4 แผนผังการแยกสารประกอบจากส่วนสกัดเยื่อย SF5.1+2

2.2.4 การแยกสารโดยใช้เครื่อง High Performance Liquid Chromatography (HPLC)

นำส่วนสกัดย่อย SF8.1.2-3 จากข้อ 2.2.3 มาละลายในอะซิโตไดน์ไตรล์ จากนั้นนำมาแยกโดยเทคนิค HPLC ใช้คอลัมน์ Purospher STAR, RP-18 endcapped (5 ไมโครเมตร) วิเคราะห์หาใช้เฟสเคลื่อนที่ในระบบ gradient elution คือ สารละลายอะซิโตไดน์ไตรล์ : น้ำในอัตราส่วน 10:90, 20:80 30:70, 50:50 พบว่าที่สารละลายอะซิโตไดน์ไตรล์ : น้ำในอัตราส่วน 10:90 เป็นช่วงที่สารมีพิคสูงสุดและแยกสารได้ดีที่สุดจึงเลือกใช้เฟสเคลื่อนที่ คือ สารละลายอะซิโตไดน์ไตรล์ : น้ำในอัตราส่วน 10:90 โดยใช้อัตราการไหลของสาร คือ 1 มิลลิเมตรต่อนาที ตรวจวัดการแยกสารที่ Range 0.32 ความยาวคลื่นที่ 220 นาโนเมตรโดยทำการสังเคราะห์ด้วยสารละลายเมทานอล : น้ำในอัตราส่วน 100:0 เป็นเวลา 30 นาที ใช้สารละลายอะซิโตไดน์ไตรล์ : น้ำในอัตราส่วน 100:0 เป็นเวลา 30 นาที และใช้สารละลายอะซิโตไดน์ไตรล์ : น้ำในอัตราส่วน 10:90 เป็นเวลา 30 นาที จากนั้นนำส่วนสกัดย่อย SF8.1.2-3 ที่ละลายด้วยอะซิโตไดน์ไตรล์มาฉีดผ่านคอลัมน์ และจะด้วยสารละลายอะซิโตไดน์ไตรล์ : น้ำในอัตราส่วน 100:0 เป็นเวลา 30 นาที และทำการเก็บสารที่แยกได้เป็นส่วนสกัดย่อย และนำไปตรวจสอบสารด้วยเครื่อง NMR ได้สารทั้งหมด 2 ส่วนสกัดย่อย (SF8.1.2-3HPLC และ SF8.1.2-3impure HPLC)

2.3 การเพาะเลี้ยงเซลล์

การเพาะเลี้ยงเซลล์ไลน์ของแมคโครฟ่าจ สายพันธุ์ RAW 264.7 ในอาหารเลี้ยงเซลล์ชนิด DMEM ที่มี 10% FBS (ปริมาตร/ปริมาตร) และนำไปบ่มในตู้บ่มเซลล์แบบใช้คาร์บอนไดออกไซด์ (CO_2) ที่อุณหภูมิ 37°C ที่มี CO_2 5 % (ปริมาตร/ปริมาตร) เมื่อเซลล์เจริญเติบโตจนเกือบเต็มพื้นผิวของภาชนะ ทำการเก็บเซลล์ออกจากผิวภาชนะ โดยการขุดเก็บเซลล์ (cell scraping)

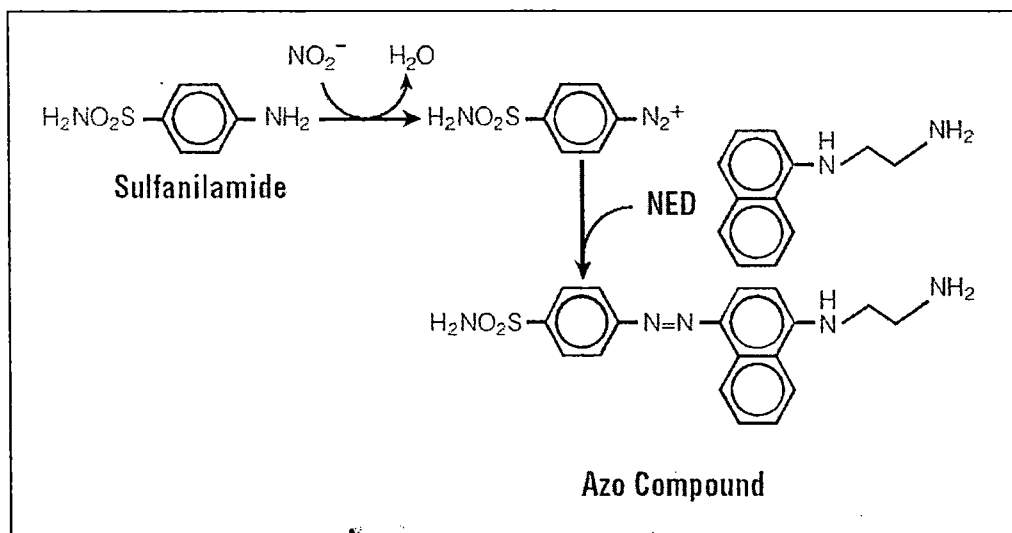
2.4 การ subculture โดยวิธี scraping

ดูอาหารเลี้ยงเซลล์ออก เติมบีฟเฟอร์ HBSS [5 mM KCl, 0.4 mM KH_2PO_4 , 136 mM NaCl, 0.3 mM Na_2HPO_4 , 5.6 mM Glucose, 4 mM NaHCO₃] ที่ปราศจากแคลเซียมและแมกนีเซียมลงในภาชนะเลี้ยงเซลล์ ใช้ cell scraper ขุดเบาๆ เพื่อให้เซลล์หลุดออกจากผิวภาชนะ ดูค่าสารละลายตะกอนเซลล์ใส่ในหลอดพลาสติก แล้วนำไปบ่มหนึ่งที่ 1,200 g นาน 10 นาที เพื่อเก็บเซลล์ และละลายตะกอนเซลล์ด้วย 10% (ปริมาตร/ปริมาตร) FBS-DMEM ทำการนับเซลล์ที่มีชีวิตด้วยการขูดเซลล์ด้วยสี trypan blue และนับเซลล์บนเครื่อง hemocytometer ภายใต้กล้องจุลทรรศน์หักกลับ แล้วแบ่งเซลล์ลงในภาชนะอันใหม่ในอัตราส่วนที่ต้องการ

2.5 การวิเคราะห์ปริมาณในไตรท์โดยปฏิกิริยา Griess

ปฏิกิริยา Griess เป็นวิธีที่นำมาใช้ในการวิเคราะห์หาความเข้มข้นของปริมาณในไตรท์ในอาหารเลี้ยงเซลล์ ในไตรท์เป็นผลผลิตที่เกิดจากการออกซิเดชันของไนตริกออกไซด์ที่ถูกผลิตขึ้นมาจากเอนไซม์

iNOS โดยในขั้นตอนแรก ในไตรท์จะทำปฏิกิริยากับ sulfanilamide ในสารละลายน้ำที่เป็นกรดได้เป็นสารตัวกลางที่เป็นเกลือ diazonium ซึ่งสารตัวกลางนี้จะทำปฏิกิริยากับ N-(1-Naphthyl)ethylene-diamine dihydrochloride (NED) ได้ผลิตภัณฑ์เป็น azo compound เป็นสารสีเข้มพูที่มีความเสถียร (รูปที่ 2-5) ดังนั้นปริมาณไนโตรที่จึงเป็นดัชนีที่บ่งบอกกิจกรรมของเอนไซม์ iNOS ทำการทดลองโดยการแบ่งเซลล์ลงงานเพาะเลี้ยงเซลล์แบบ 24 หลุม (1.5×10^5 เซลล์/หลุม) บ่มเซลล์ที่อุณหภูมิ 37°C นาน 18-20 ชั่วโมง จากนั้นบ่มเซลล์ด้วยอาหารเลี้ยงเซลล์ที่มีส่วนสัดที่ความเข้มข้นต่างๆ และ LPS ที่ความเข้มข้น $1 \mu\text{g/mL}$ ที่อุณหภูมิ 37°C นาน 24 ชั่วโมง เมื่อครบเวลานำอาหารเลี้ยงเซลล์ $100 \mu\text{L}$ ทำปฏิกิริยากับสารละลายน้ำ Griess [1% N-(1-Naphthyl)ethylene-diamine dihydrochloride และ 1% sulfanilamide ใน 5% phosphoric] จำนวน $100 \mu\text{L}$ และบ่มที่อุณหภูมิห้องนาน 10 นาที ก่อนนำไปวัดค่าการดูดกลืนแสงที่ 546 nm ด้วยเครื่องวัดค่าการดูดกลืนแสงแบบในโครเพลท คำนวณค่าความเข้มข้นของไนโตรที่ในอาหารเลี้ยงเซลล์ได้จากการฟมาตรฐานของโซเดียมไนโตรท (NaNO₂) ที่ความเข้มข้น $0-50 \mu\text{M}$



รูปที่ 2-5 ปฏิกิริยา Griess

(ที่มา : www.promega.com/tbs/tb229/tb229.pdf)

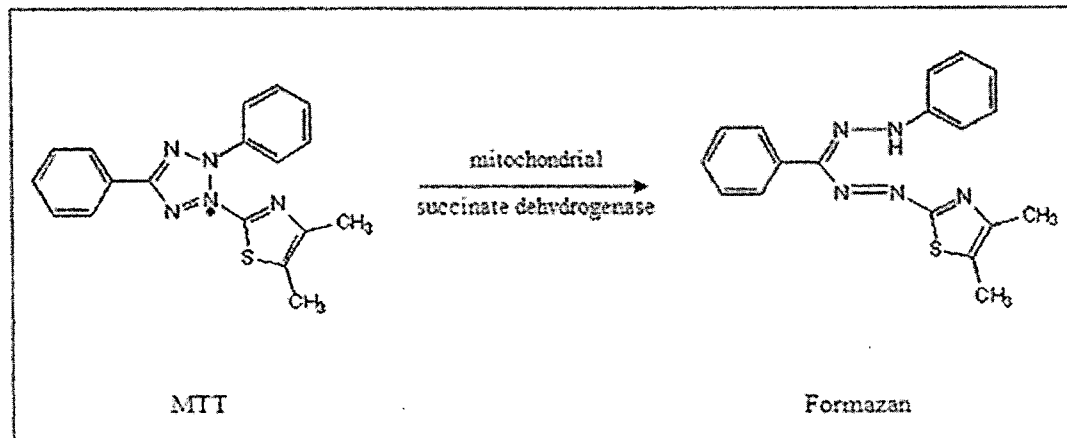
2.6 การทดสอบความมีชีวิตอุดของเซลล์โดย MTT assay

ทำการแบ่งเซลล์ลงในจานเพาะเลี้ยงเซลล์แบบ 24 หลุม (1.5×10^5 เซลล์/จาน) บ่มเซลล์ที่อุณหภูมิ 37°C นาน 18-24 ชั่วโมง ก่อนเติมอาหารเลี้ยงเซลล์ที่มีส่วนสัดความเข้มข้นต่างๆ ทั้งที่มี LPS และไม่มี LPS แล้วนำไปบ่มที่อุณหภูมิ 37°C เป็นเวลา 24 ชั่วโมง เติมสารละลายน้ำ MTT (ความเข้มข้น 5 mg/mL) จำนวน $10 \mu\text{L}$ แล้วนำไปบ่มที่อุณหภูมิ 37°C เป็นเวลา 2 ชั่วโมง ก่อนทำการดูดอาหารเลี้ยงเซลล์ทิ้ง และละลายตะกอน formazan ด้วย DMSO จำนวน $500 \mu\text{L}$ และนำไปวัดการดูดกลืนแสงที่ 550 nm โดยเครื่องวัดค่าการดูดกลืนแสงแบบในโครเพลท ซึ่ง MTT สามารถผ่านเข้าเซลล์ไปเป็นสารตั้งต้นของเอนไซม์ดีไซโคเรਜีนส

สำนักหอสมุด มหาวิทยาลัยบูรพา
ต.แสนสุข อ.เมือง จ.ชลบุรี 20131

ในไมโทคอนเดรียของเซลล์ที่มีชีวิต และกิจการตัดกั้นของ MTT ได้ผลผลิตเป็น formazan ที่มีสีม่วง (รูปที่ 2-6) ปริมาณ formazan จะมีความสัมพันธ์ตรงกับจำนวนเซลล์

$$\% \text{ การมีชีวิตรอดของเซลล์ = } \frac{\text{ค่าการคุณภาพเส้นของกลุ่มเซลล์ทดสอบ}}{\text{ค่าการคุณภาพเส้นของกลุ่มเซลล์ควบคุม}} \times 100$$



รูปที่ 2-6 ปฏิกริยาการรีดักชันของ MTT
(ที่มา : www.mclab.com/product.php?productid=19249&cat=91)

2.7 การสกัด RNA

ทำการเบ่งเซลล์ลงในจานเพาะเลี้ยงเซลล์ขนาด 60 มม. (1×10^6 เซลล์/จาน) บ่มเซลล์ที่อุณหภูมิ 37 °C นาน 18-24 ชั่วโมง แล้วเติมอาหารเลี้ยงเซลล์ที่มีส่วนประกอบอีกอย่างคือต่อของเร่าวาตอนที่ความเข้มข้น ต่างๆ ทึ้งที่มี LPS และไม่มี LPS นำไปปั่นที่อุณหภูมิ 37 °C เป็นเวลา 9 ชั่วโมง ก่อนคัดอาหารเลี้ยงเซลล์ทึ้ง และทำการขูดเก็บเซลล์ด้วยสารละลาย Triz reagent จำนวน 1 mL ก่อนทำการสกัด RNA ทั้งหมดของเซลล์ตามวิธีที่ผู้ผลิตแนะนำ (MRC) โดยมีวิธีดังนี้ เติมคลอโรฟอร์มจำนวน 0.2 mL และผสมให้เข้ากัน โดยการกลับหลอดไปมาเป็นเวลา 15 วินาที และตั้งทึ้งไว้ที่อุณหภูมิห้อง 5 นาที นำไปปั่นเหมี่ยงที่ 12,000 g ที่อุณหภูมิ 4 °C เป็นเวลา 15 นาที จากนั้นทำการดูดสารละลายส่วนไส้ค้านบนใส่หลอดใหม่ แล้วเติมไอโซโพรพานอลจำนวน 0.5 mL ผสมให้เข้ากัน ตั้งทึ้งไว้ที่อุณหภูมิห้อง 5 นาที นำไปปั่นเหมี่ยงที่ 12,000 g ที่อุณหภูมิ 4 °C เป็นเวลา 15 นาที แล้วล้างตะกรอน RNA ด้วย 75% เอทานอล ก่อนนำไปปั่นเหมี่ยงที่ 12,000 g ที่อุณหภูมิ 4 °C เป็นเวลา 15 นาที นำหลอดบรรจุ RNA เข้าเครื่อง heat block ที่อุณหภูมิ 55 °C เพื่อระเหย เอทานอล ก่อนเติมน้ำปราศจาก RNase ปริมาตร $50 \mu\text{L}$ แล้วนำไปปั่นที่อุณหภูมิ 55 °C เป็นเวลา 10 นาที เพื่อให้ RNA ละลายได้ดีขึ้น ทำการวัดปริมาณ RNA ที่ได้นำไปวัดค่าการดูดกลืนแสงที่ 260 และ 280 nm ด้วยเครื่อง UV/VIS Spectrophotometer โดย 1 A_{260} เท่ากับ $40 \mu\text{g/mL}$ ของ RNA

b13.321

23

n313 n

155

p.2

339578

2.8 การวิเคราะห์ปริมาณ mRNA ด้วยเทคนิค real-time reverse transcription-polymerase chain reaction (Real-time RT-PCR)

ปฏิกริยาสำหรับการสังเคราะห์ cDNA ประกอบด้วย RNA จำนวน 2 µg, 3U AMV reverse transcriptase, 5X buffer [250 Tris-HCl (pH 8.3), 250mM KCl, 50mM MgCl₂, 2.5mM spermidine และ 50mM DTT], 0.083 mM oligo (dT)₁₅ primer, 0.67 mM dNTPs, 20 U RNase inhibitor และเติมน้ำประปาจาก RNase และ DNase ให้มีปริมาตรสุดท้ายเป็น 30 µL กระบวนการที่ใช้สังเคราะห์ cDNA คือ 42°C นาน 45 นาที และ 99 °C นาน 5 นาที จากนั้นนำ cDNA ที่ได้นำวิเคราะห์ปริมาณ mRNA ด้วยเทคนิค Real-Time RT-PCR โดยใช้ SYBR Green และ ไพรเมอร์จำเพาะ iNOS และ elongation factor-2 (EF-2) ดังตารางที่ 2-1

ตารางที่ 2-1 ลำดับเบสของไพรเมอร์ ขนาดของผลผลิต และเลข Accession ในการทำปฏิกริยา Real time RT-PCR

| ไพรเมอร์ | ลำดับเบส | ขนาดของผลผลิต (bp) | เลข Accession |
|----------|----------------------------------|--------------------|---------------|
| iNOS | 5' GCACAGCACAGGAAATGTTTCAGCAC 3' | 156 | NM_010927.2 |
| | 5' AGCCAGCATACCGGATGAGC 3' | | |
| EF-2 | 5'CTGAAGCGGCTGGCTAAGTCTGA 3' | 156 | NM_007907.2 |
| | 5'GGGTCA GATTCTTGATGGGGATG 3' | | |

ปฏิกริยาสำหรับวิเคราะห์ปริมาณ mRNA ประกอบด้วย 2X Prime Q-Master Mix with SYBR Green I จำนวน 10 µL, 10 µM Forward primer จำนวน 0.4 µL, 10 µM Reverse primer จำนวน 0.4 µL, cDNA จำนวน 1 µL และปรับปริมาตรรวมให้เป็น 25 µL ด้วยน้ำประปาจาก DNase และ RNase กระบวนการที่ใช้ในปฏิกริยา PCR คือ 95 °C นาน 5 นาที จำนวน 1 รอบ 95 °C นาน 30 วินาที, 60 °C นาน 30 วินาที, 72 °C นาน 30 วินาที จำนวน 40 รอบ ในเครื่อง real-time PCR และวิเคราะห์หาค่า cycle of threshold (C_T) ของแต่ละปฏิกริยา (Giulietti et al., 2001) จากนั้นนำคำนวณหา copy number ของ mRNA สำหรับยีน iNOS และ EF-2 จากการมาตรฐานของพลาสมิดที่มีชื่อ cDNA เป้าหมายของยีน iNOS และ EF-2 ซึ่งแสดงผลในรูปของอัตราส่วนของ copy number ของ iNOS ต่อ EF-2

2.9 การเตรียมโปรตีนสำหรับวิเคราะห์ด้วยเทคนิค Western blot

ทำการแบ่งเซลล์ลงในจานเพาะเลี้ยงเซลล์ขนาด 60 mm.(1x10⁶ เซลล์/จาน) บ่มเซลล์ที่อุณหภูมิ 37 °C นาน 18-24 ชั่วโมง ก่อนเติมอาหารเลี้ยงเซลล์ที่มีส่วนประกอบที่ต้องใบเบญจมาศน้ำเค็มและในสำมะง่าที่ความเข้มข้น 6.25, 12.5, 25, 50 และ 100 µg/mL ทั้งที่มี LPS และไม่มี LPS และวันถัดไปบ่มที่อุณหภูมิ 37 °C เป็นเวลา 24 ชั่วโมง จากนั้นคัดอาหารเลี้ยงเซลล์ทิ้ง แล้วล้างด้วยบฟเฟอร์ (1X) PBS [137 mM NaCl, 2.7 mM KCl, 1.8 mM KH₂PO₄, 10 mM Na₂HPO₄] ที่เย็น 1 ครั้ง ก่อนเติม RIPA protein lysis

buffer [150 mM Tris-HCl, 150 mM NaCl, 5 mM EGTA, 0.1% SDS, 1% sodium deoxycholate, 1% Nonidet P-40 และ protease inhibitors] ที่เย็น จำนวน 150 μ L และใช้ cell scraper บูดเก็บเซลล์ลงในหลอดทดลอง 1.5 mL ก่อนนำไปปั่นให้วายที่ 12,000 g นาน 5 นาที เก็บน้ำใสส่วนบนใส่หลอดทดลองใหม่ และวิเคราะห์ปริมาณโปรตีนด้วยวิธี BCA

2.10 การวิเคราะห์ปริมาณโปรตีนโดยวิธี Bicinchoninic acid (BCA)

ทำการวิเคราะห์ปริมาณโปรตีนรวมของสารตัวอย่างด้วยวิธี BCA ตามคำแนะนำของผู้ผลิต (Pierce) โดยนำสารตัวอย่าง 2 μ L และน้ำเกลือ 8 μ L ผสมกับสารละลาย working BCA (อัตราส่วนของสารละลาย A:B เท่ากับ 50:1) จำนวน 200 μ L แล้ว孵育ที่อุณหภูมิห้องนาน 2 นาที ก่อนนำไปบ่มที่อุณหภูมิ 37 °C นาน 30 นาที จะได้สารเชิงซ้อนสีม่วงที่เสถียรและละลายน้ำได้ และนำไปวัดค่าการดูดกลืนแสงที่ 562 nm โดยเครื่องวัดค่าการดูดกลืนแสงแบบไมโครเพลท และคำนวณความเข้มข้นของโปรตีนจาก Graf มาตรฐานของโปรตีน BSA ที่ปริมาณ 0, 4, 8, 12, 16 และ 20 μ g โดยแกน y เป็นค่าการดูดกลืนแสงที่ 562 nm และแกน x เป็นค่าปริมาณของโปรตีน

2.11 การวิเคราะห์โปรตีนด้วยเทคนิค Western blot

เตรียม SDS-polyacrylamide gel ที่มี separating gel 10% และ stacking gel 4% จากนั้นหยดโปรตีนลงในปริมาณเท่ากันหลุมละ 60 μ g ลงในเจลและผ่านกระแทไฟฟ้าใน (1X) running buffer [0.025 M Tris, 0.192 M glycine, 0.1% (น้ำหนัก/ปริมาตร) SDS] ที่ความต่างศักยไฟฟ้า 80 โวลต์ นาน 1 ชั่วโมง 30 นาที แล้วข้าย้ายแอบนโปรตีนลงบนแผ่น PVDF ใน transfer buffer [(192 mM glycine, 25 mM Tris, 10% (ปริมาตร/ปริมาตร) methanol] ที่ความต่างศักยไฟฟ้า 25 โวลต์ และที่อุณหภูมิ 4 °C นานข้ามคืน ก่อนทำการบ่ม membrane ด้วยสารละลาย blocking [5% (น้ำหนัก/ปริมาตร) nonfat dry milk ในบัฟเฟอร์ TBS-T] ที่อุณหภูมิห้องเป็นเวลา 1 ชั่วโมง แล้วล้าง membrane ด้วยบัฟเฟอร์ TBS-T [10 mM Tris-HCl, pH 7.5, 150 mM NaCl, 0.1% (ปริมาตร/ปริมาตร) Tween 20] นาน 5 นาที จำนวน 3 ครั้ง นำแผ่น membrane แขวนในสารละลาย mouse anti-iNOS antibody (1:500) ที่ละลายในตัวทำละลาย [1X PBS, 0.5% (น้ำหนัก/ปริมาตร) BSA, 0.5% (ปริมาตร/ปริมาตร) Tween 20] ที่อุณหภูมิ 4 °C นานข้ามคืน หรือสารละลาย mouse anti β -actin (1:5,000) ที่ละลายในสารละลาย blocking เป็นเวลา 1 ชั่วโมง ที่อุณหภูมิห้อง แล้วล้างแผ่น membrane ด้วยบัฟเฟอร์ TBS-T นาน 5 นาที จำนวน 3 ครั้ง นำแผ่น membrane แขวนในสารละลาย goat anti-mouse IgG (H+L) horseradish peroxidase secondary antibodies conjugated ที่อุณหภูมิห้อง เป็นเวลา 1 ชั่วโมง ในอัตราส่วน 1:5,000 สำหรับ iNOS, และ 1:10,000 สำหรับ β -actin ที่อุณหภูมิห้อง ก่อนล้างแผ่น membrane ด้วยบัฟเฟอร์ TBS-T นาน 5 นาที จำนวน 3 ครั้ง นำแผ่น membrane บ่มในสารละลายชั้นสติเรทสำหรับ enhanced chemiluminescence (ECL) นาน 5 นาที ก่อนนำไปประกับฟิล์มเอ็กซ์เรย์ในห้องมีดี วิเคราะห์แอบนสัญญาณโปรตีนที่ได้โดยเทียบกับมวลโนเมกุลของ iNOS และ β -actin กับโปรตีนมาตรฐาน

2.12 การทดสอบผลของสารทดสอบต่อการเคลื่อนที่ของ NF-KB เข้าสู่นิวเคลียส

NF-KB เป็น transcription factor ที่ควบคุมการแสดงออกของยีน iNOS และ COX-2 ดังนั้นจึงทดสอบโดยวิเคราะห์ปริมาณ NF-KB/p65 ใน nuclear extract โดยวิธี Western blot analysis และเปรียบเทียบความเข้มของแถบผลผลิตที่ได้จากสภาวะที่ไม่ได้เติมสารทดสอบ กับสภาวะที่เติมสารสกัด วิธีแยกโปรตีนจาก nuclear extract อดีบายไวร์ใน Srivisook และคณะ (2011)

2.13 การวิเคราะห์ปริมาณพรอสต้าแกลดิน E2 โดยปฏิกิริยา Griess

แบ่งเซลล์แมกโครฟاج สายพันธุ์ RAW 264.7 ลงงานเพาะเลี้ยงเซลล์แบบ 24 หลุม (1.5×10^5 เซลล์/หลุม) นำเซลล์ที่อุณหภูมิ 37°C นาน 18-20 ชั่วโมง จากนั้นนำเซลล์ด้วยอาหารเลี้ยงเซลล์ที่มีส่วนสกัดที่ความเข้มข้นต่างๆ และ LPS ที่ความเข้มข้น $1 \mu\text{g/mL}$ ที่อุณหภูมิ 37°C นาน 24 ชั่วโมง เมื่อครบเวลาเก็บอาหารเลี้ยงเซลล์ $500 \mu\text{L}$ ใส่ในหลอดทดลองขนาด 1.5 mL และเก็บไว้ที่อุณหภูมิ -80°C จนกว่าจะทำการวิเคราะห์ปริมาณพรอสต้าแกลดิน E2 ที่ถูกผลิตในแมกโครฟاج และหลังจากการเซลล์มาสะสูนในอาหารเลี้ยงเซลล์ การวิเคราะห์ทำโดยใช้ ELISA kit (R&D system, USA.) ตามวิธีที่ผู้ผลิตแนะนำ

2.14 การวิเคราะห์ทางสถิติ

ผลการทดลองแสดงข้อมูลในรูปของ ค่าเฉลี่ย \pm ค่าเบี่ยงเบนมาตรฐาน ของการทดลองที่อิสระต่อกัน ทำ 3 ชุด สำหรับการวิเคราะห์ความแปรปรวน (Analysis of Variance) เป็นการทดสอบค่าเฉลี่ยจากข้อมูลที่ได้จากการกลุ่มตัวอย่างหลายกลุ่ม เป็นการเปรียบเทียบความแตกต่างตั้งแต่ 3 กลุ่มขึ้นไป และใช้ Student's t test สำหรับวิเคราะห์ค่าความแตกต่างอย่างมีนัยสำคัญทางสถิติ ระหว่างการทดลองที่เป็นอิสระต่อกันของ 2 กลุ่มข้อมูล โดยใช้โปรแกรม SPSS 15.0

บทที่ 3

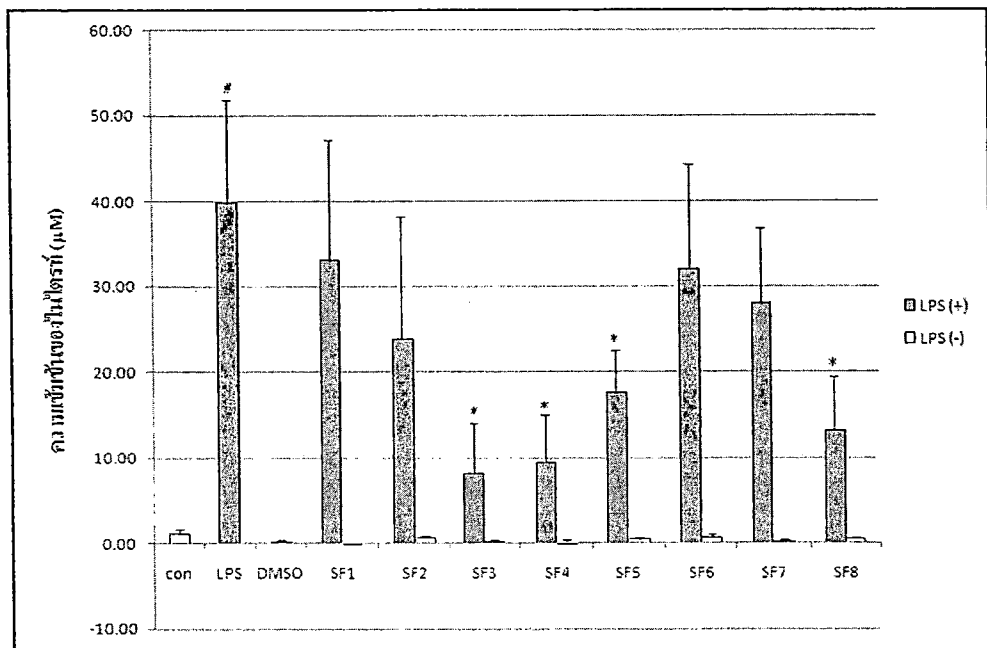
ผลการทดลอง

3.1 การแยกส่วนสกัดย่อยเอทิลอะซิตे�ตจากใบสำมะง่า

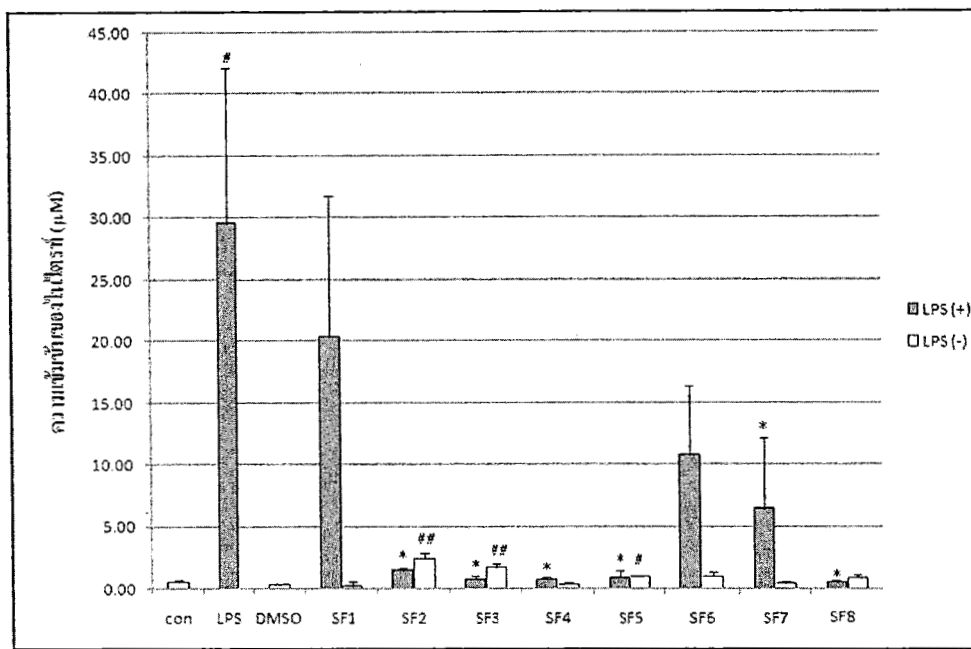
แยกส่วนสกัดย่อยเอทิลอะซิตे�ตจากใบสำมะง่าโดยคอลัมน์โคมาราฟีได้สารทั้งหมด 8 ส่วนสกัดย่อย (sub fractions, SF 1-8) ดังแสดงเปอร์เซ็นต์น้ำหนักแห้งในตารางที่ 3-1 จากส่วนสกัดย่อยเอทิลอะซิตे�ตจากใบสำมะง่า ที่ความเข้มข้น 10 และ 50 ไมโครกรัมต่อมิลลิลิตร แล้วนำไปทดสอบฤทธิ์ต้านการอักเสบในเซลล์เม็ดครอฟ่าจ RAW 264.7 ที่สัมผัสกับ LPS และความมีชีวิตของเซลล์ ได้ผลดังแสดงในรูปที่ 3-1 ถึง 3-4

ตารางที่ 3-1 เปอร์เซ็นต์น้ำหนักแห้งของส่วนสกัดย่อยจากส่วนสกัดย่อยเอทิลอะซิตे�ตของใบสำมะง่า

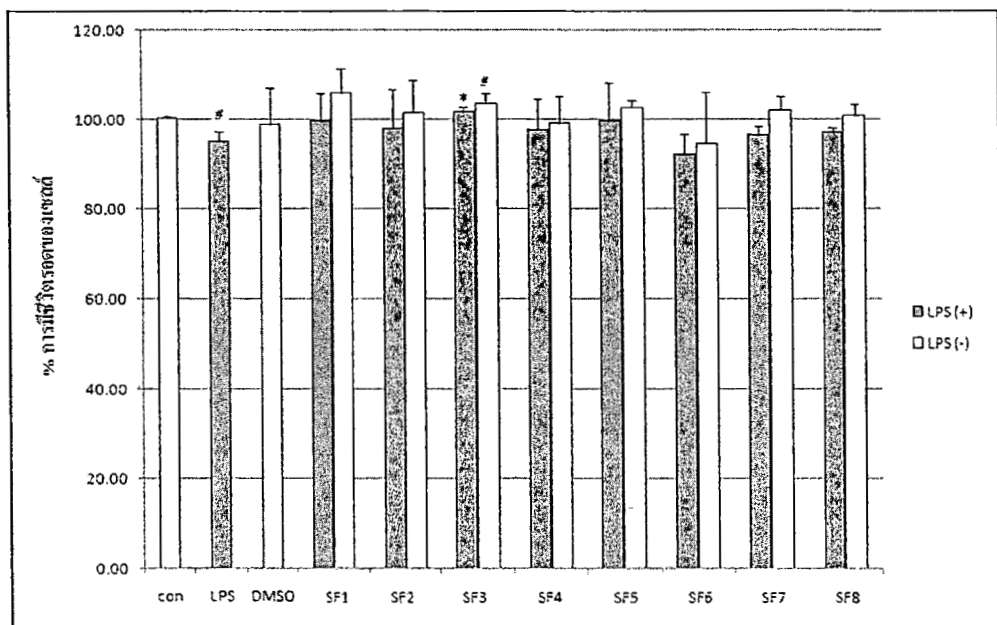
| ส่วนสกัดย่อย | น้ำหนักแห้ง (กรัม) | เปอร์เซ็นต์น้ำหนักแห้ง |
|--------------|--------------------|------------------------|
| SF1 | 0.0205 | 0.12 |
| SF2 | 0.5980 | 3.52 |
| SF1 | 0.1816 | 1.07 |
| SF4 | 0.0452 | 0.12 |
| SF1 | 1.4199 | 3.52 |
| SF6 | 1.1673 | 1.07 |
| SF7 | 2.6616 | 15.66 |
| SF6 | 2.9363 | 17.27 |
| รวม | 9.0304 | 53.12 |



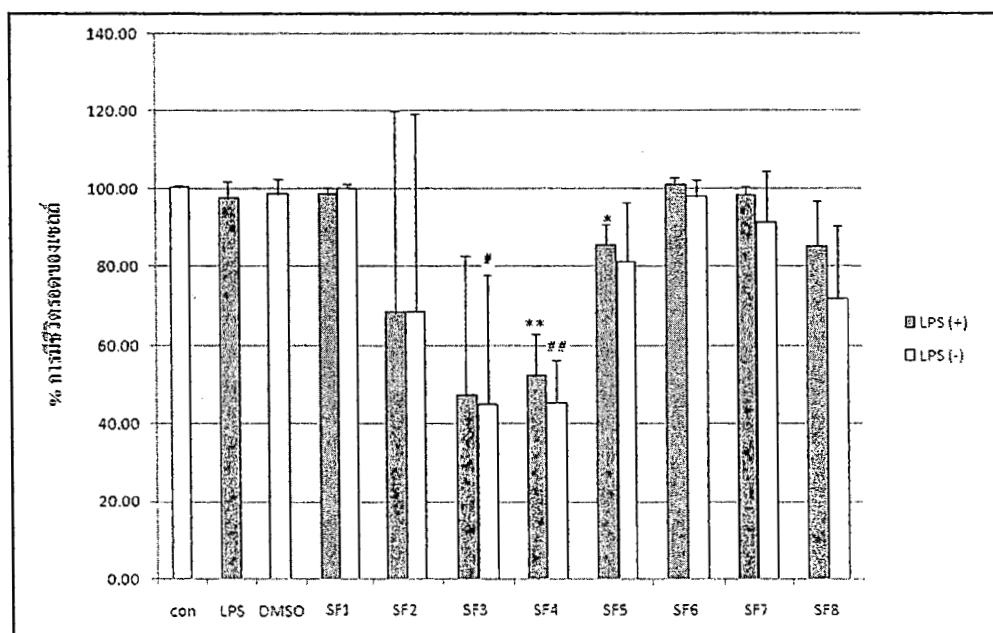
รูปที่ 3-1 ความเข้มข้นของไนโตรฟิโนเจลล์เมคโครฟ่าจ RAW264.7 ที่สัมผัสกับส่วนประกอบที่ความเข้มข้น 10 $\mu\text{g}/\text{ml}$ ไม่ติดต่อในสภาวะที่มีและไม่มี LPS เป็นเวลา 24 ชั่วโมง ข้อมูลที่แสดงเป็นค่าเฉลี่ย \pm ค่าเบี่ยงเบนมาตรฐานของการทดลอง 3 ครั้ง ที่อิสระต่อกัน แต่ละครั้งทำ 3 ช้ำ โดยให้ CON = เซลล์ควบคุม LPS = เซลล์ที่สัมผัสกับ LPS เพียงอย่างเดียว DMSO = เซลล์ที่สัมผัสกับ 0.2% DMSO เพียงอย่างเดียว, SF1 = sub fraction 1, SF2 = sub fraction 2, SF3 = sub fraction 3, SF4 = sub fraction 4, SF5 = sub fraction 5, SF6 = sub fraction 6, SF7 = sub fraction 7, SF8 = sub fraction 8, * $p < 0.05$ และ ** $p < 0.01$ เมื่อเปรียบเทียบกับเซลล์ที่สัมผัสกับ LPS อย่างเดียว และ # $p < 0.05$ เมื่อเปรียบเทียบกับเซลล์ควบคุม



รูปที่ 3-2 ความเข้มข้นของไนโตรฟิโนไซด์ในเซลล์เม็ดครอฟ่า RAW264.7 ที่สัมผัสกับส่วนประกอบที่ความเข้มข้น 50 ไมโครกรัมต่อนิลลิลิตร ในสภาวะที่มีและไม่มี LPS เป็นเวลา 24 ชั่วโมง ข้อมูลที่แสดงเป็นค่าเฉลี่ย ± ค่าเบี่ยงเบนมาตรฐานของการทดลอง 3 ครั้ง ที่อิสระต่อกัน แต่ละครั้งทำ 3 ช้ำ โดยให้ CON = เซลล์ควบคุม LPS = เซลล์ที่สัมผัสกับ LPS เพียงอย่างเดียว DMSO = เซลล์ที่สัมผัสกับ 0.2% DMSO เพียงอย่างเดียว, SF1 = sub fraction 1, SF2 = sub fraction 2, SF3 = sub fraction 3, SF4 = sub fraction 4, SF5 = sub fraction 5, SF6 = sub fraction 6, SF7 = sub fraction 7, SF8 = sub fraction 8, * p < 0.05 เมื่อเปรียบเทียบกับเซลล์ควบคุม SF6 = sub fraction 6, SF7 = sub fraction 7, SF8 = sub fraction 8, * p < 0.05 และ # p < 0.05 และ ## p < 0.01 เมื่อเปรียบเทียบกับเซลล์ควบคุม



รูปที่ 3-3 เปอร์เซ็นต์การมีชีวิตของเซลล์เม็ดครอฟ่าจ RAW264.7 ที่สัมผัสถับส่วนสักดิ์ที่ความเข้มข้น 10 $\mu\text{g}/\text{ml}$ ในการรับต่อมิคลิคิดร ในสภาพที่มีและไม่มี LPS เป็นเวลา 24 ชั่วโมง ข้อมูลที่แสดงเป็นค่าเฉลี่ย \pm ค่าเบี่ยงเบนมาตรฐานของการทดลอง 3 ครั้ง ที่อิสระต่อกัน แต่ละครั้งทำ 3 ช้ำ โดยให้ CON = เซลล์ควบคุม LPS = เซลล์ที่สัมผัสถับ LPS เพียงอย่างเดียว DMSO = เซลล์ที่สัมผัสถับ 0.2% DMSO เพียงอย่างเดียว, SF1 = sub fraction 1, SF2 = sub fraction 2, SF3 = sub fraction 3, SF4 = sub fraction 4, SF5 = sub fraction 5, SF6 = sub fraction 6, SF7 = sub fraction 7, SF8 = sub fraction 8, * $p < 0.05$ เมื่อเปรียบเทียบกับเซลล์ควบคุมที่สัมผัสถับ LPS อย่างเดียว และ # $p < 0.05$ เมื่อเปรียบเทียบกับเซลล์ควบคุม



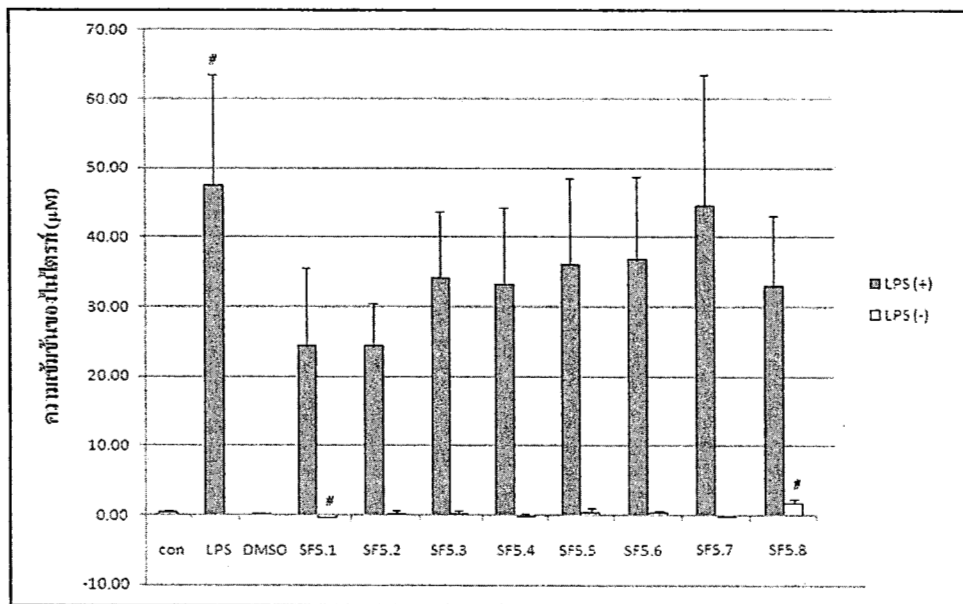
รูปที่ 3-4 เปอร์เซ็นต์การมีชีวิตอุดของเซลล์เม็ดครอฟ่าจ RAW264.7 ที่สัมผัสถกับส่วนสกัดที่ความเข้มข้น 50 ไมโครกรัมต่อนิลลิตร ในสภาพที่มีและไม่มี LPS เป็นเวลา 24 ชั่วโมง ข้อมูลที่แสดงเป็นค่าเฉลี่ย ± ค่าเบี่ยงเบนมาตรฐานของการทดลอง 3 ครั้ง ที่อิสระต่อกัน แต่ละครั้งทำ 3 ตัวโดยให้ CON = เซลล์ควบคุม LPS = เซลล์ที่สัมผัสถกับ LPS เพียงอย่างเดียว DMSO = เซลล์ที่สัมผัสถกับ 0.2% DMSO เพียงอย่างเดียว, SF1 = sub fraction 1, SF2 = sub fraction 2, SF3 = sub fraction 3, SF4 = sub fraction 4, SF5 = sub fraction 5, SF6 = sub fraction 6, SF7 = sub fraction 7, SF8 = sub fraction 8, * p < 0.05 และ ** p < 0.01 เมื่อเปรียบเทียบกับเซลล์ที่สัมผัสถกับ LPS อย่างเดียว และ # p < 0.05 และ ## p < 0.001 เมื่อเปรียบเทียบกับเซลล์ควบคุม

3.2 การแยกสารจากส่วนสกัดย่อยเอทิลอะซิตेतของในสำมะง่า (SF5)

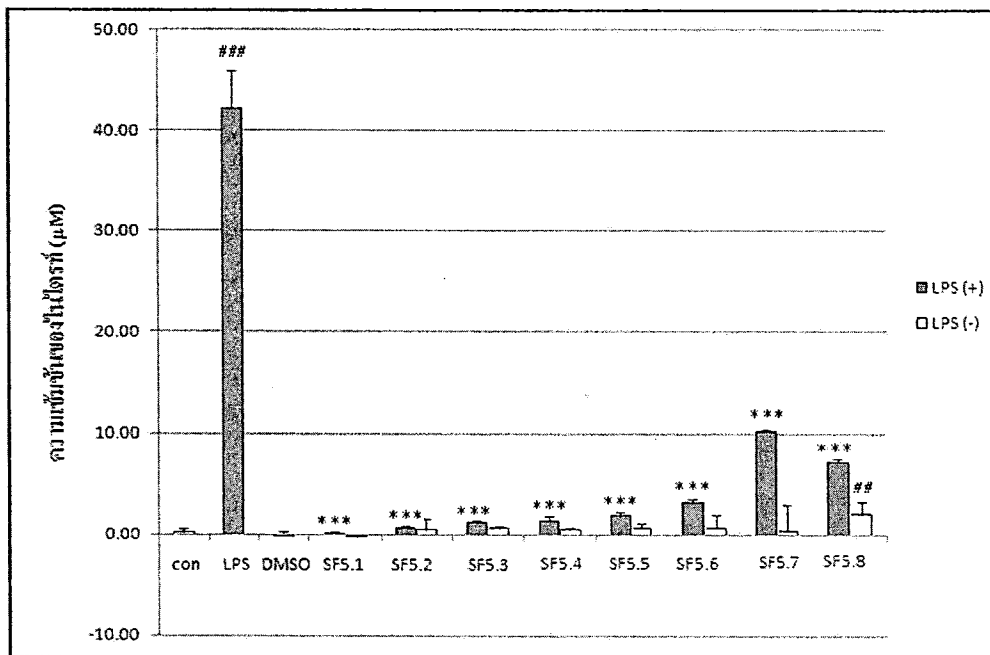
นำส่วนสกัดย่อย SF5 แยกในแฟลชคลัมบ์ ได้สารทั้งหมด 8 ส่วนสกัดย่อย (SF5.1-SF5.8) แล้วนำไปทดสอบฤทธิ์ต้านการอักเสบ ดังแสดงเปอร์เซ็นต์น้ำหนักแห้งในตารางที่ 3-2 จากส่วนสกัดย่อยเอทิลอะซิตे�ตจากใบสำมะง่า ที่ความเข้มข้น 10 และ 50 ในโครงการมต้มลิลิติตร แล้วนำไปทดสอบฤทธิ์ต้านการอักเสบในเซลล์เม็ดโคโรฟ่าจ RAW 264.7 ที่สัมผัสกับ LPS และความมีชีวิตรอดของเซลล์ ได้ผลดังแสดงในรูปที่ 3-5 ถึง 3-8

ตารางที่ 3-2 เปอร์เซ็นต์น้ำหนักแห้งของส่วนสกัดย่อยที่แยกได้จากส่วนสกัดย่อย SF 5

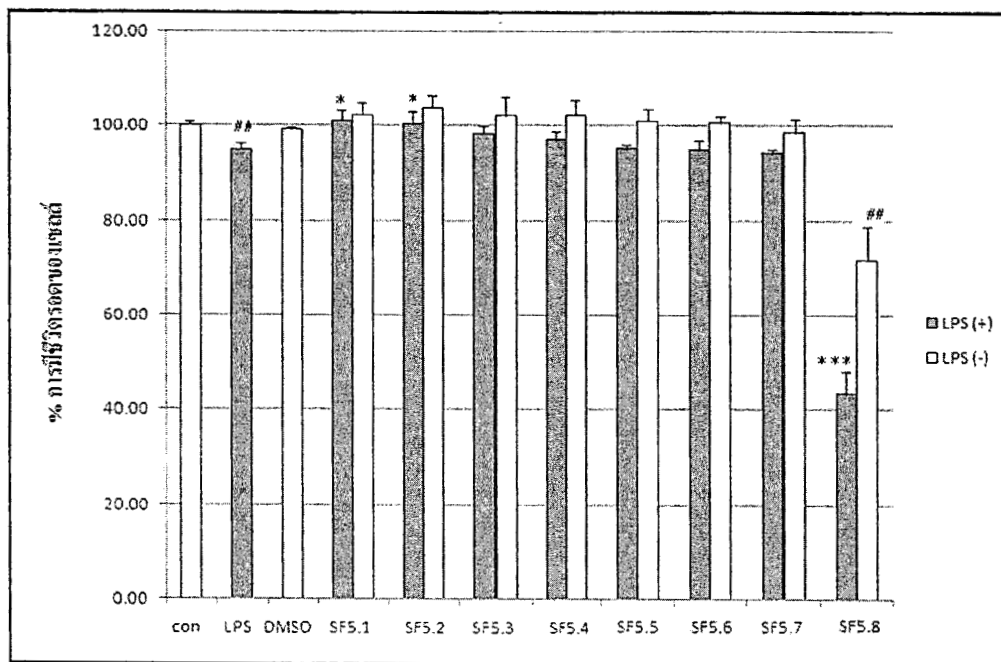
| ส่วนสกัดย่อย | น้ำหนักแห้ง (กรัม) | เปอร์เซ็นต์น้ำหนักแห้ง |
|--------------|--------------------|------------------------|
| SF5.1 | 0.6786 | 50.08 |
| SF5.2 | 0.1316 | 9.71 |
| SF5.2 | 0.0205 | 1.51 |
| SF5.1 | 0.0205 | 1.51 |
| SF5.1 | 0.0205 | 2.03 |
| SF5.6 | 0.0205 | 0.80 |
| SF5.2 | 0.0036 | 0.71 |
| SF5.6 | 0.0339 | 1.51 |
| รวม | 0.916 | 67.61 |



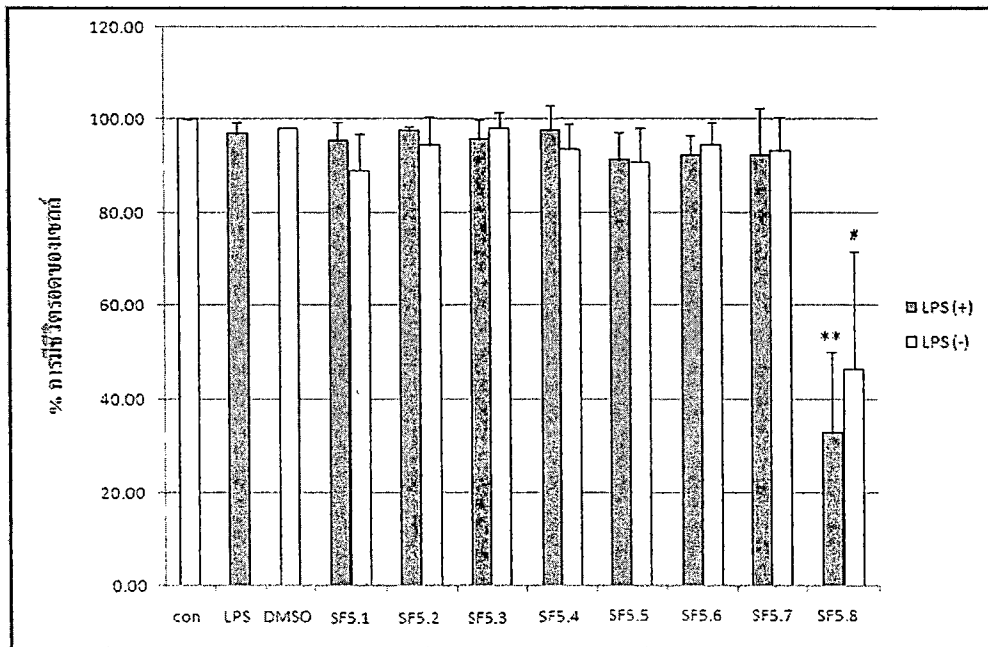
รูปที่ 3-5 ความเข้มข้นของไนโตรฟ์ไนเชลล์เมคโครฟ่าจ RAW264.7 ที่สัมผัสกับส่วนสกัดที่ความเข้มข้น 10 ไมโครกรัมต่อมิลลิลิตร ในสภาพที่มีและไม่มี LPS เป็นเวลา 24 ชั่วโมง ข้อมูลที่แสดงเป็นค่าเฉลี่ย ± ค่าเบี่ยงเบนมาตรฐานของการทดลอง 3 ครั้ง ที่อิสระต่อกัน แต่ละครั้งทำ 3 ช้ำ โดยให้ CON = เชลล์ควบคุม LPS = เชลล์ที่สัมผัสกับ LPS เพียงอย่างเดียว DMSO = เชลล์ที่สัมผัสกับ 0.2% DMSO เพียงอย่างเดียว, SF5.1 = sub fraction 5.1, SF5.2 = sub fraction 5.2, SF5.3 = sub fraction 5.3, SF5.4 = sub fraction 5.4, SF5.5 = sub fraction 5.5, SF5.6 = sub fraction 5.6, SF5.7 = sub fraction 5.7, SF5.8 = sub fraction 5.8, # p < 0.05 เมื่อเปรียบเทียบกับเชลล์ควบคุม



รูปที่ 3-6 ความเข้มข้นของไนโตรฟายนิเชลล์เมคโครฟاج RAW264.7 ที่สัมผัสกับส่วนสักดที่ความเข้มข้น 50 ไมโครกรัมต่อมิลลิลิตร ในสภาวะที่มีและไม่มี LPS เป็นเวลา 24 ชั่วโมง ข้อมูลที่แสดงเป็นค่าเฉลี่ย ± ค่าเบี่ยงเบนมาตรฐานของการทดลอง 3 ครั้ง ที่อิสระต่อกัน แต่ละครั้งทำ 3 ช้า โดยให้ CON = เชลล์ควบคุม LPS = เชลล์ที่สัมผัสกับ LPS เพียงอย่างเดียว DMSO = เชลล์ที่สัมผัสกับ 0.2% DMSO เพียงอย่างเดียว, SF5.1 = sub fraction 5.1, SF5.2 = sub fraction 5.2, SF5.3 = sub fraction 5.3, SF5.4 = sub fraction 5.4, SF5.5 = sub fraction 5.5, SF5.6 = sub fraction 5.6, SF5.7 = sub fraction 5.7, SF5.8 = sub fraction 5.8, *** p < 0.001 เมื่อเปรียบเทียบกับเชลล์ที่สัมผัสกับ LPS อย่างเดียว และ ## p < 0.01 และ ### p < 0.001 เมื่อเปรียบเทียบกับเชลล์ควบคุม



รูปที่ 3-7 เปอร์เซ็นต์การมีชีวิตลดของเซลล์แมคโครฟ่าจ RAW264.7 ที่สัมผัสกับส่วนประกอบที่ความเข้มข้น 10 ไมโครกรัมต่อมิลลิลิตร ในสภาวะที่มีและไม่มี LPS เป็นเวลา 24 ชั่วโมง ข้อมูลที่แสดงเป็นค่าเฉลี่ย ± ค่าเบี่ยงเบนมาตรฐานของการทดลอง 3 ครั้ง ที่อิสระต่อกัน แต่ละครั้งทำ 3 ช้ำ โดยให้ CON = เซลล์ควบคุม LPS = เซลล์ที่สัมผัสกับ LPS เพียงอย่างเดียว DMSO = เซลล์ที่สัมผัสกับ 0.2% DMSO เพียงอย่างเดียว, SF5.1 = sub fraction 5.1, SF5.2 = sub fraction 5.2, SF5.3 = sub fraction 5.3, SF5.4 = sub fraction 5.4, SF5.5 = sub fraction 5.5, SF5.6 = sub fraction 5.6, SF5.7 = sub fraction 5.7, SF5.8 = sub fraction 5.8, * p < 0.05 และ *** p < 0.001 เมื่อเปรียบเทียบกับเซลล์ที่สัมผัสกับ LPS อย่างเดียว และ## p < 0.01 เมื่อเปรียบเทียบกับเซลล์ควบคุม



รูปที่ 3-8 เปอร์เซ็นต์การมีชีวิตลดของเซลล์แมคโครฟ้า RAW264.7 ที่สัมผัสถับส่วนทั้งหมดที่ความเข้มข้น 50 ไมโครกรัมต่อมิลลิลิตร ในสภาวะที่มีและไม่มี LPS เป็นเวลา 24 ชั่วโมง ข้อมูลที่แสดงเป็นค่าเฉลี่ย ± ค่าเบี่ยงเบนมาตรฐานของการทดลอง 3 ครั้ง ที่อิสระต่อกัน แต่ละครั้งทำ 3 ช้ำ โดยให้ CON = เซลล์ควบคุม LPS = เซลล์ที่สัมผัสถับ LPS เพียงอย่างเดียว DMSO = เซลล์ที่สัมผัสถับ 0.2% DMSO เพียงอย่างเดียว, SF5.1 = sub fraction 5.1, SF5.2 = sub fraction 5.2, SF5.3 = sub fraction 5.3, SF5.4 = sub fraction 5.4, SF5.5 = sub fraction 5.5, SF5.6 = sub fraction 5.6, SF5.7 = sub fraction 5.7, SF5.8 = sub fraction 5.8, ** p < 0.01 เมื่อเปรียบเทียบกับเซลล์ที่สัมผัสถับ LPS อย่างเดียว และ # p < 0.05 เมื่อเปรียบเทียบกับเซลล์ควบคุม

นำส่วนสกัดย่อย SF5.1 และ 5.2 รวมกันและแยกใน columน์ไฮดรอกาฟ ได้สารทั้งหมด 2 ส่วน สกัดย่อย (SF5.1+2.1.1-SF5.1+2.1.2) และแยกได้สารบริสุทธิ์หนึ่งชนิด คือสาร CI-1 หรือ *p-anisic acid*

3.3 การแยกสารจากส่วนสกัดย่อยเอทิลอะซีเตตของในสำมะง่า (SF8)

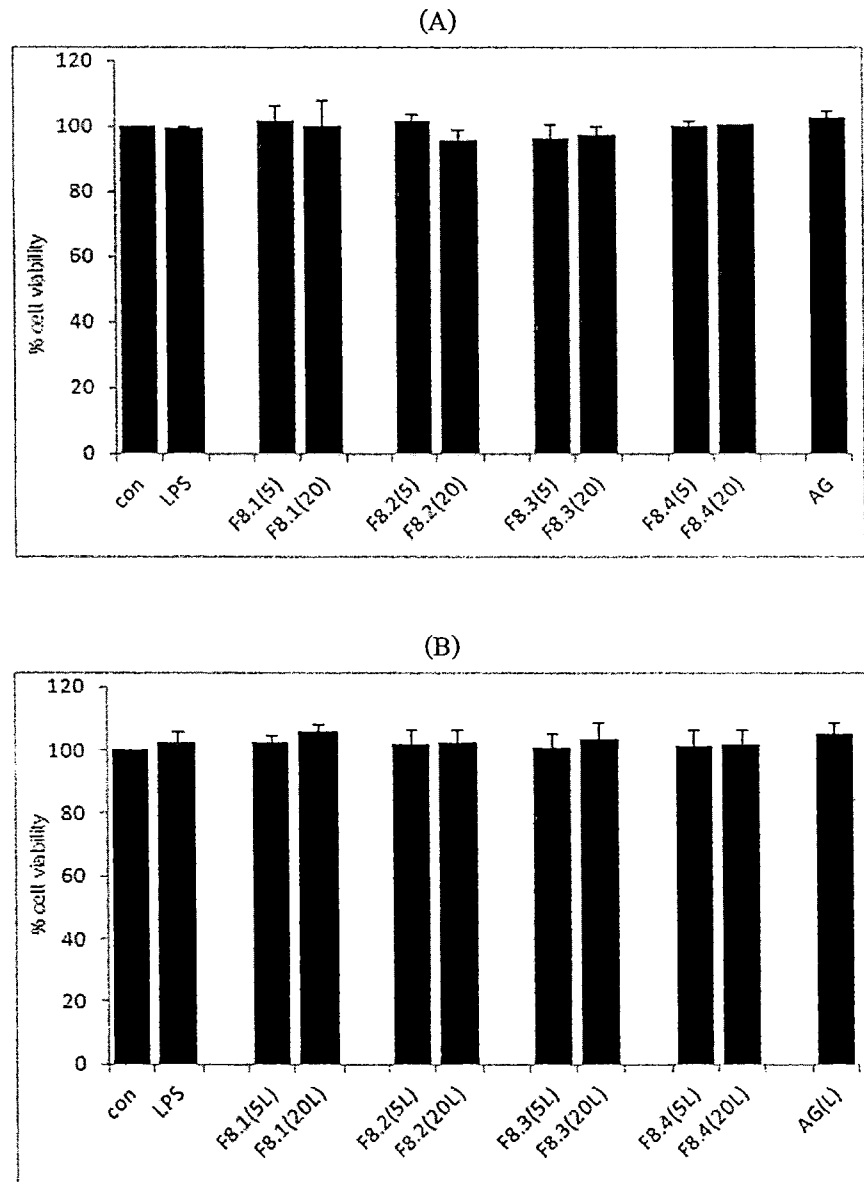
ทำการแยกสารจากส่วนย่อยเอทิลอะซีเตตของในสำมะง่า (SF8) ด้วยเทคนิค columน์ไฮดรอกาฟ ได้ส่วนสกัดย่อยทั้งหมด 4 ส่วนสกัด (SF8.1 ถึง SF8.4) พนว่า ส่วนสกัดย่อย SF8.3 มีเปอร์เซ็นต์น้ำหนักแห้ง สูงสุด และส่วนสกัด>yอย SF8.1 มีเปอร์เซ็นต์น้ำหนักแห้งต่ำที่สุด ดังแสดงในตารางที่ 3-3

ตารางที่ 3-3 เปอร์เซ็นต์น้ำหนักแห้งของส่วนสกัด>yอยที่แยก ได้จากส่วนสกัด>yอย SF8

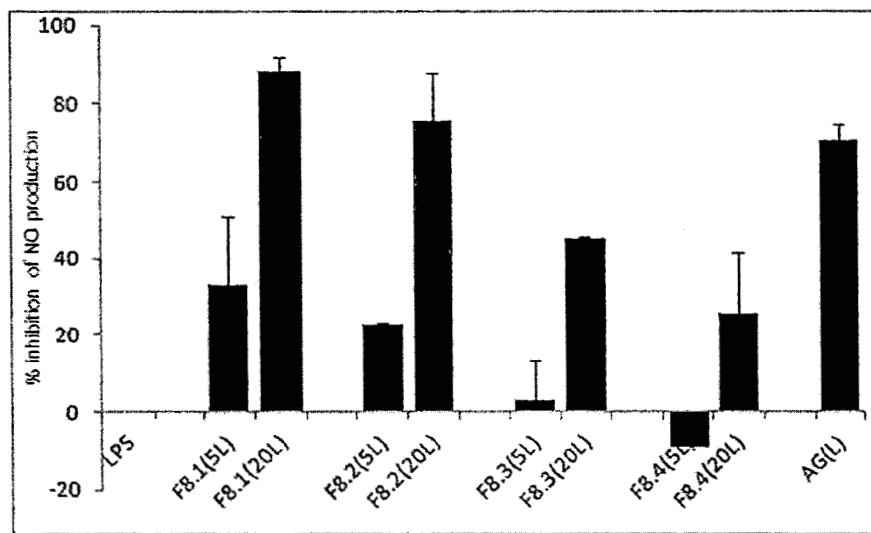
| ส่วนสกัด>yอย | น้ำหนักแห้ง (มิลลิกรัม) | เปอร์เซ็นต์น้ำหนักแห้ง |
|--------------|-------------------------|------------------------|
| SF8.1 | 166.2 | 5.67 |
| SF8.1 | 264.8 | 9.08 |
| SF8.1 | 694.8 | 23.71 |
| SF8.4 | 223.4 | 7.62 |
| รวม | 1349.2 | 46.05 |

ผลการศึกษาค่าการมีชีวิตอุดของเซลล์แมค โครฟ่าจ RAW 264.7 ที่สัมผัสกับส่วนสกัด>yอย SF8.1 ถึง SF8.4 ที่ความเข้มข้น 5 และ 20 ไมโครกรัมต่อนิลลิลิตร พนว่า เปอร์เซ็นต์การมีชีวิตอุดของเซลล์ที่สัมผัสกับส่วนสกัด>yอยในสภาวะที่มี LPS และ ไม่มี LPS รวมทั้งเซลล์ที่สัมผัสกับ LPS เพียงอย่างเดียว ไม่แสดงความเป็นพิษกับเซลล์ เมื่อเทียบกับเซลล์ควบคุม ดังแสดงในรูปที่ 3-9

ผลการยับยั้งการผลิตในตระกอออกไซด์ของเซลล์ควบคุมที่ไม่ได้สัมผัสกับส่วนสกัด>yอย และเซลล์ที่สัมผัสกับ LPS เพียงอย่างเดียว พนว่าปริมาณในไตรท์ของเซลล์ควบคุมมีค่าเท่ากับ -1.39 ± 1.18 ไมโครโมลาร์ และปริมาณของในไตรท์ของเซลล์ที่สัมผัสกับ LPS เพียงอย่างเดียวมีค่าเท่ากับ 33.33 ± 24.07 ไมโครโมลาร์ เมื่อเซลล์สัมผัสกับ SF8.1 ถึง SF8.4 พนว่าส่วนสกัด>yอย SF8.1 มีการยับยั้งการผลิตในตระกอออกไซด์สูงที่สุดที่ความเข้มข้น 5 และ 20 ไมโครกรัมต่อนิลลิลิตร มีเปอร์เซ็นต์การยับยั้ง 20.13 ± 0.23 และ 83.03 ± 3.74 ตามลำดับ ในขณะที่ส่วนสกัด>yอย SF8.4 ยับยั้งการผลิตในตระกอออกไซด์ได้ต่ำที่สุดที่ความเข้มข้น 5 และ 20 ไมโครกรัมต่อนิลลิลิตร มีเปอร์เซ็นต์การยับยั้งการผลิตในตระกอออกไซด์ที่ -1.18 ± 6.08 และ 15.86 ± 2.60 ส่วน aminoguanidine (สารยับยั้งเอนไซม์ iNOS) ที่ความเข้มข้น 50 ไมโครโมลาร์ มีเปอร์เซ็นต์การยับยั้งการผลิตในตระกอออกไซด์ได้ 71.57 ± 5.78 (รูปที่ 3-10)



รูปที่ 3-9 การมีชีวิตรอดของเซลล์เม็ดครอฟ่า RAW 264.7 ที่สัมผัสกับส่วนสกัดย่อย SF8.1 ถึง SF8.4 ที่ความเข้มข้น 5 และ 20 ในโปรแกรมต่อมิลลิลิตร (A) และ ที่สัมผัสกับส่วนสกัดย่อย SF8.1 ถึง SF8.4 ที่ความเข้มข้น 5 และ 20 ในโปรแกรมต่อมิลลิลิตรในขณะที่มี 1 ในโปรแกรมต่อมิลลิลิตร LPS (B) เป็นเวลา 24 ชั่วโมง โดยให้ control = เซลล์ควบคุม LPS = เซลล์ที่สัมผัสกับ LPS เพียงอย่างเดียว AG = เซลล์ที่สัมผัสกับ aminoguanidine ที่ความเข้มข้น 50 ในคราวนาร์ ผลการทดลองแสดงเป็นค่าเฉลี่ย ± ท่านบีงเบนมาตรฐานของการทดลอง 2 ครั้ง แต่ละครั้งทำ 3 ชี้า



รูปที่ 3-10 การบันยั่งการผลิตไนโตริกออกไซด์ของเซลล์แม็คโครฟาง RAW 264.7 ที่สัมผัสกับส่วนสกัดเยื่อย SF8.1 ถึง SF8.4 ในขณะที่มี LPS (1 ไมโครกรัมต่อมิลลิลิตร) เป็นเวลา 24 ชั่วโมง โดยให้ LPS = เซลล์ที่สัมผัสกับ LPS เพียงอย่างเดียว AG = เซลล์ที่สัมผัส aminoguanidine ที่ความเข้มข้น 50 ไมโครโมลาร์ ผลการทดลองแสดงเป็นค่าเฉลี่ย ± ค่าเบี่ยงเบนมาตรฐานของการทดลอง 2 ครั้ง แต่ละครั้งทำ 3 ชั้ง

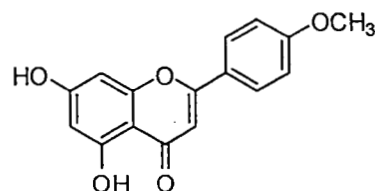
แยกสารจากส่วนส่วนเยื่อยอทิโลอะซิเตตของใบสามะงา SF8.1 ด้วยเทคนิคคลัมน์ไฮดรอกาฟฟิฟ ได้ส่วนสกัดเยื่อยทั้งหมด 4 ส่วนสกัด (SF8.1.1 ถึง SF8.1.4) ทำการรวมส่วนสกัดเยื่อย SF8.1.1 กับ SF8.1.3 เข้าด้วยกันเป็นส่วนสกัดเยื่อย SF8.1.1+3 พนว่าส่วนสกัดเยื่อย SF8.1.1+3 มีปรอร์เซ็นต์น้ำหนักแห้งสูงสุด และส่วนสกัดเยื่อย SF8.1.2 มีปรอร์เซ็นต์น้ำหนักแห้งต่ำที่สุด (ดังแสดงในตารางที่ 3-4) จากนั้นทำการแยกส่วนสกัดเยื่อย SF8.1.1+3 ต่อด้วยเทคนิคคลัมน์ไฮดรอกาฟฟิฟ

ตารางที่ 3-4 ปรอร์เซ็นต์น้ำหนักแห้งของส่วนสกัดเยื่อยที่แยกได้จากส่วนสกัดเยื่อย SF8.1

| ส่วนสกัดเยื่อย | น้ำหนักแห้ง (มิลลิกรัม) | ปรอร์เซ็นต์น้ำหนักแห้ง |
|----------------|-------------------------|------------------------|
| SF8.1.1+3 | 118.2 | 66.31 |
| SF8.1.2 | 20.5 | 12.33 |
| SF8.1.2 | 20.5 | 44.71 |
| รวม | 213.0 | 123.35 |

นำส่วนสกัดเยื่อย SF8.1.1+3 มาแยกด้วยเทคนิคคลัมน์ไฮดรอกาฟฟิฟ ได้ส่วนสกัดเยื่อยทั้งหมด 10 ส่วน (SF8.1.1+3-1 ถึง SF8.1.1+3-10) พนว่า ส่วนสกัดเยื่อย SF8.1.1+3-8 มีปรอร์เซ็นต์น้ำหนักแห้งสูงสุด และส่วนสกัดเยื่อย SF8.1.1+3-4 มีปรอร์เซ็นต์น้ำหนักแห้งต่ำที่สุด (ดังแสดงในตารางที่ 3-5) และเมื่อนำส่วน

ส่วนสกัดย่อย SF8.1.1+3-7 มาทำการตอกผลลัพธ์ได้ 2 ส่วนคือ SF8.1.1+3-7_R และ SF8.1.1+3-7_C พนว่า SF8.1.1+3-7_C คือสาร CI-2 หรือ acacetin (4'-O-methylapigenin) มีน้ำหนักแห้งเท่ากับ 4.1 มิลลิกรัม ซึ่งเป็นสารที่มีลักษณะเป็นผลลัพธ์สีเหลืองและมีโครงสร้างดังรูปที่ -3-11



รูปที่ -3-11 โครงสร้างของ acacetin

ข้อมูลทางスペกโกรสโคปีที่ได้จาก NMR และ Mass spectroscopy ของสาร acacetin

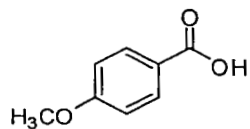
¹H-NMR (CDCl₃+MeOD, 400 MHz): δ3.80 (s, 3H), δ6.18 (s, 1H), δ6.36 (s, 1H), δ6.47 (s, 1H), δ6.92 (d, J=8.2 Hz, 2H), δ7.76 (d, J=8.2 Hz, 2H), ¹³C-NMR (CDCl₃+MeOD, 100 MHz): δ55.2, 94.1, 99.1, 103.5, 104.4, 114.3, 123.3, 127.9, 157.8, 161.4, 162.4, 164.0, 164.1, 182.3. HRMS (ESI): C₁₆H₁₂O₅Na [M+Na]⁺, Anal. Cal. 307.0582, Found. 307.0571.

ตารางที่ 3-5 เปอร์เซ็นต์น้ำหนักแห้งของส่วนสกัดย่อยที่แยกได้จากส่วนสกัดย่อย SF8.1.1+3

| ส่วนสกัดย่อย | น้ำหนักแห้ง (มิลลิกรัม) | เปอร์เซ็นต์น้ำหนักแห้ง |
|--------------|-------------------------|------------------------|
| SF8.1.1+3-1 | 7.6 | 6.43 |
| SF8.1.1+3-1 | 15.5 | 13.11 |
| SF8.1.1+3-3 | 7.6 | 3.89 |
| SF8.1.1+3-4 | 7.6 | 2.45 |
| SF8.1.1+3-4 | 7.6 | 4.06 |
| SF8.1.1+3-6 | 16.5 | 13.96 |
| SF8.1.1+3-6 | 16.5 | 5.16 |
| SF8.1.1+3-8 | 29.9 | 25.30 |
| SF8.1.1+3-8 | 29.9 | 18.44 |
| SF8.1.1+3-10 | 5.2 | 7.78 |
| รวม | 119.0 | 100.58 |

ส่วนสกัดย่อย SF8.1.2 นำมาแยกด้วยเทคนิคคลุมน์โครนาโทกราฟี ได้ส่วนสกัดย่อยทั้งหมด 3 ส่วนสกัด (SF8.1.2-1 ถึง SF8.1.2-3) พนว่า ส่วนสกัดย่อย SF8.1.2-3 มีเปอร์เซ็นต์น้ำหนักแห้งสูงสุด และ

ส่วนสกัดย่อย SF8.1.2-2 มีเปอร์เซ็นต์น้ำหนักแห้งต่ำที่สุด (ดังแสดงในตารางที่ 3-6) จากนั้นนำส่วนสกัดย่อย SF8.1.2-3 มาทำการแยกสารด้วยเครื่อง HPLC ได้ 2 ส่วนคือ SF8.1.2-3_{impure HPLC} และ SF8.1.2-3_{HPLC} พบว่า SF8.1.2-3_{HPLC} คือสาร CI-1 หรือ *p*-anisic acid มีน้ำหนักแห้งเท่ากับ 2.9 มิลลิกรัม ซึ่งที่มีลักษณะเป็นผลึกสีขาวและมีโครงสร้างดังรูปที่ -3-12



รูปที่ 3-12 โครงสร้างของ *p*-anisic acid

ข้อมูลทางスペกโโทรสโคปีที่ได้จาก NMR และ Mass spectroscopy ของสาร *p*-anisic acid

¹H-NMR (CDCl₃+MeOD, 400 MHz): δ3.83 (s, 3H), δ6.89 (d, J=8.2 Hz, 2H), δ7.98 (d, J=8.2 Hz, 2H), ¹³C-NMR (CDCl₃+MeOD, 100 MHz): δ55.3, 113.5, 122.5, 131.9, 163.4, 168.8. HRMS (ESI): C₈H₈O₃Na [M+Na]⁺, Anal. Cal. 175.0371, Found. 175.0370.

ตารางที่ 3-6 เปอร์เซ็นต์น้ำหนักแห้งของส่วนสกัดย่อยที่แยกได้จากส่วนสกัดย่อย SF8.1.2

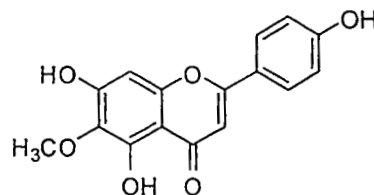
| ส่วนสกัดย่อย | น้ำหนักแห้ง (มิลลิกรัม) | เปอร์เซ็นต์น้ำหนักแห้ง |
|--------------|-------------------------|------------------------|
| SF8.1.2-1 | 1.6 | 7.80 |
| SF8.1.2-1 | 1.6 | 7.80 |
| SF8.1.2-1 | 1.6 | 94.63 |
| 7.80 | 1.6 | 108.77 |

นำส่วนสกัดย่อย SF8.2 มาแยกสารด้วยเทคนิคคลอ้มน์โกรามาโทกราฟี ได้ส่วนสกัดย่อยทั้งหมด 6 ส่วนสกัด (SF8.2.1 ถึง SF8.2.6) ทำการรวมส่วนสกัดย่อย SF8.2.2 กับ SF8.2.3 เข้าด้วยกันเป็นส่วนสกัดย่อย SF8.2.2+3 และรวมส่วนสกัดย่อย SF8.2.4 กับ SF8.2.5 เข้าด้วยกันเป็นส่วนสกัดย่อย SF8.2.4+5 พบว่า ส่วนสกัดย่อย SF8.2.4+5 มีเปอร์เซ็นต์น้ำหนักแห้งสูงสุด และส่วนสกัดย่อย SF8.2.6 มีเปอร์เซ็นต์น้ำหนักแห้งต่ำที่สุด (ดังแสดงในตารางที่ 3-7)

ตารางที่ 3-7 เปอร์เซ็นต์น้ำหนักแห้งของส่วนสกัดย่อยที่แยกได้จากส่วนสกัดย่อย SF8.2

| ส่วนสกัดย่อย | น้ำหนักแห้ง (มิลลิกรัม) | เปอร์เซ็นต์น้ำหนักแห้ง |
|--------------|-------------------------|------------------------|
| SF8.2.1 | 8.7 | 3.29 |
| SF8.2.2+3 | 8.7 | 3.29 |
| SF8.2.2+3 | 8.7 | SF8.2.1 |
| SF8.2.1 | 8.7 | 3.29 |
| 3.29 | 8.7 | 3.29 |

นำส่วนสกัดย่อย SF8.2.2+3 มาแยกสารด้วยเทคนิคคลั่มน์โปรแกรมไฟฟ้า荷電 ได้ส่วนสกัดย่อยทั้งหมด 4 ส่วนสกัด (SF8.2.2+3-1 ถึง SF8.2.2+3-4) พนวณว่า ส่วนสกัดย่อย SF8.2.2+3-2 มีเปอร์เซ็นต์น้ำหนักแห้งสูงสุด และส่วนสกัดย่อย SF8.2.2+3-3 มีเปอร์เซ็นต์น้ำหนักแห้งต่ำที่สุด (ดังแสดงในตารางที่ 4-7) และเมื่อนำส่วนสกัดย่อย SF8.2.2+3-2 มาทำการตอกผลึกได้ 2 ส่วนคือ SF8.2.2+3-2_R และ SF8.2.2+3-2_C พนวณว่า SF8.2.2+3-2_C คือสาร CI-3 หรือ hispidulin มีน้ำหนักแห้งเท่ากับ 12.6 มิลลิกรัม ซึ่งเป็นสารที่มีลักษณะเป็นผลึกสีเหลืองและมีโครงสร้างดังรูปที่ -3-13



รูปที่ -3-13 โครงสร้างของสารประกอบ hispidulin

ข้อมูลทางスペกตรโคมีที่ได้จาก NMR และ Mass spectroscopy ของสาร hispidulin

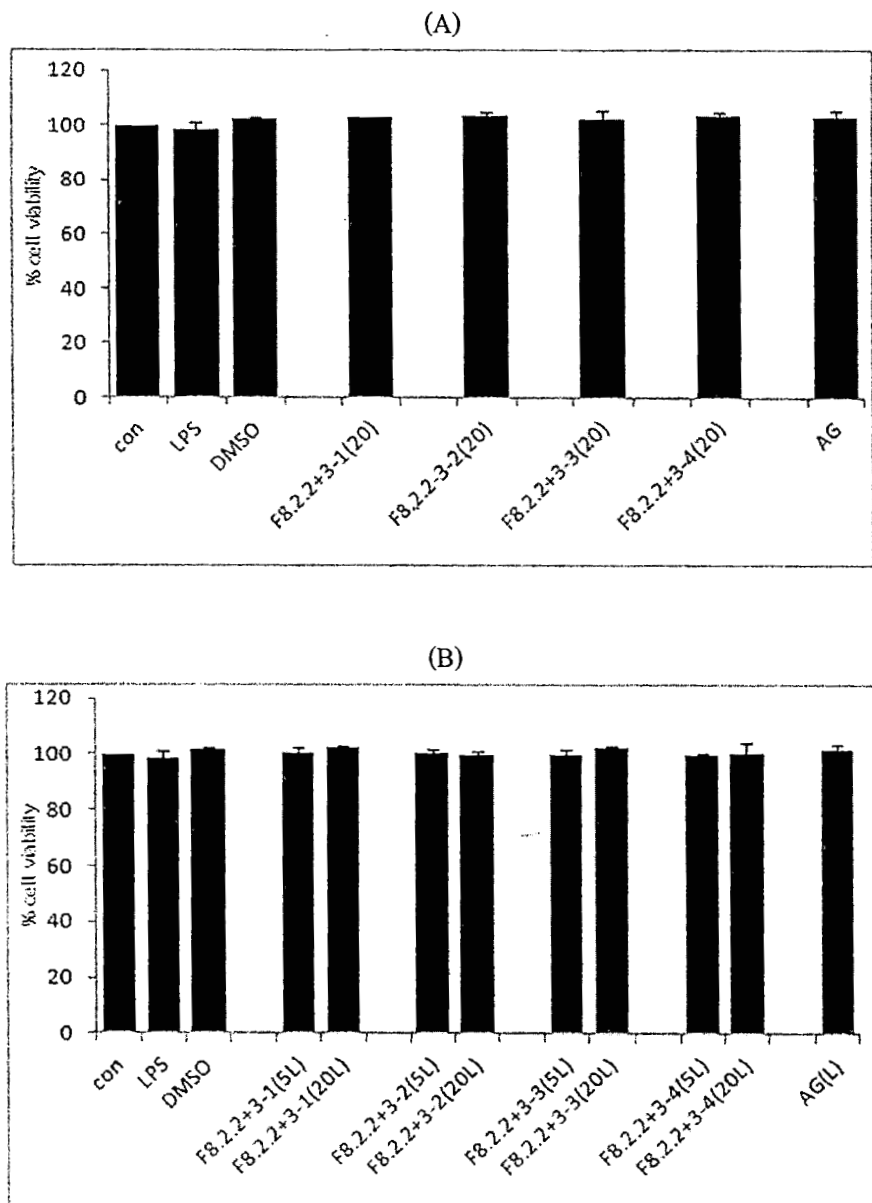
¹H-NMR (CDCl₃+MeOD, 400 MHz): δ3.88 (s, 3H), δ6.47 (s, 1H), δ6.48 (s, 1H), δ6.87 (d, J=7.3 Hz, 2H), δ7.71 (d, J=7.3 Hz, 2H), ¹³C-NMR (CDCl₃+MeOD, 100 MHz): δ60.0, 93.9, 102.2, 104.5, 115.5, 121.7, 127.9, 131.1, 152.2, 152.9, 156.6, 160.6, 164.6, 182.6. HRMS (ESI): C₁₆H₁₂O₆Na [M+Na]⁺, Anal. Cal. 323.0532, Found. 323.0534.

ตารางที่ 3-8 เปอร์เซ็นต์น้ำหนักแห้งของส่วนสกัดย่อยที่แยกได้จากส่วนสกัดย่อย SF8.2.2+3

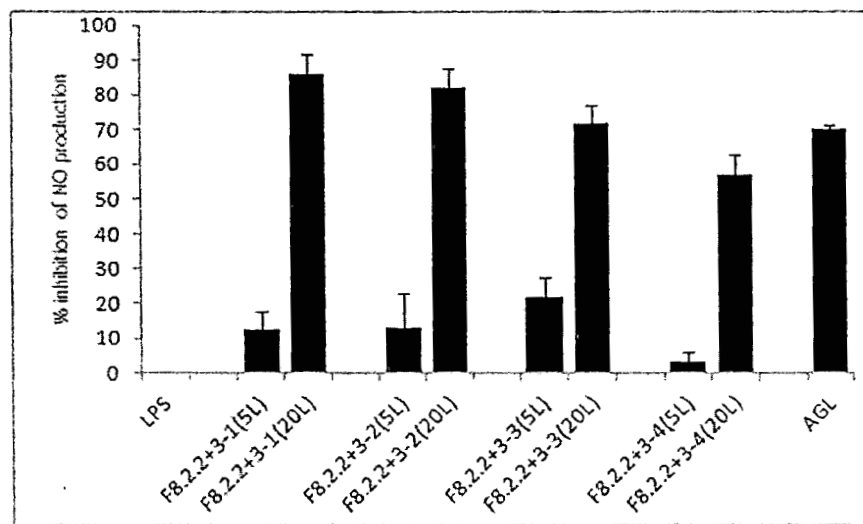
| ส่วนสกัดย่อย | น้ำหนักแห้ง (มิลลิกรัม) | เปอร์เซ็นต์น้ำหนักแห้ง |
|--------------|-------------------------|------------------------|
| SF8.2.2+3-1 | 11.9 | 25.87 |
| SF8.2.2+3-1 | 11.9 | 25.87 |
| SF8.2.2+3-1 | 11.9 | 25.87 |
| SF8.2.2+3-4 | 11.9 | 25.87 |
| รวม | 63.4 | 137.83 |

ผลการศึกษาค่าการมีชีวิตอุดของเซลล์แมคโครฟ่าจ RAW 264.7 ที่สัมผัสกับส่วนสกัดย่อย SF8.2.2+3-1 ถึง SF8.2.2+3-4 ที่ความเข้มข้น 5 และ 20 ไมโครกรัมต่อมิลลิลิตร พบร่วมกันว่า เปอร์เซ็นต์การมีชีวิตอุดของเซลล์ที่สัมผัสกับส่วนสกัดย่อยในสภาวะที่มี LPS และไม่มี LPS รวมทั้งเซลล์ที่สัมผัสกับ LPS เพียงอย่างเดียว ไม่แสดงความเป็นพิษกับเซลล์ เมื่อเทียบกับเซลล์ควบคุม (ดังแสดงในรูปที่ -3-13) ผลการยับยั้งการผลิตไนโตรฟอกไซด์ของเซลล์ควบคุมที่ไม่ได้สัมผัสกับส่วนสกัดย่อย และเซลล์ที่สัมผัสกับ LPS เพียงอย่างเดียว พบร่วมกันว่าปริมาณไนโตรฟอกไซด์ของเซลล์ควบคุมมีค่าเท่ากับ 0.15 ± 0.50 ไมโครโมลาร์ และปริมาณของไนโตรฟอกไซด์ที่สัมผัสกับ LPS เพียงอย่างเดียวมีค่าเท่ากับ 32.83 ± 0.59 ไมโครโมลาร์ เมื่อเซลล์สัมผัสกับ SF8.2.2+3-1 ถึง SF8.2.2+3-4 พบร่วมกันว่าส่วนสกัดย่อย SF8.2.2+3-1 และส่วนสกัดย่อย SF8.2.2+3-2 มีการยับยั้งการผลิตไนโตรฟอกไซด์สูงที่สุด โดยส่วนสกัดย่อย SF8.2.2+3-1 ที่ความเข้มข้น 5 และ 20 ไมโครกรัมต่อมิลลิลิตร มีเปอร์เซ็นต์การยับยั้ง 12.53 ± 5.35 และ 86.43 ± 5.60 ตามลำดับ และส่วนสกัดย่อย SF8.2.2+3-2 ที่ความเข้มข้น 5 และ 20 ไมโครกรัมต่อมิลลิลิตร มีเปอร์เซ็นต์การยับยั้ง 13.21 ± 9.47 และ 82.19 ± 5.80 ตามลำดับ ในขณะที่ส่วนสกัดย่อย SF8.2.2+3-4 ยับยั้งการผลิตไนโตรฟอกไซด์ได้ต่ำที่สุดที่ความเข้มข้น 5 และ 20 ไมโครกรัมต่อมิลลิลิตร มีเปอร์เซ็นต์การยับยั้งการผลิตไนโตรฟอกไซด์ที่ 3.16 ± 2.60 และ 56.87 ± 6.05 ส่วน aminoguanidine (สารยับยั้งเอนไซม์ iNOS) ที่ความเข้มข้น 50 ไมโครโมลาร์ มีเปอร์เซ็นต์การยับยั้งการผลิตไนโตรฟอกไซด์ได้ 70.53 ± 1.08 (ดังแสดงในรูปที่ -3-14)

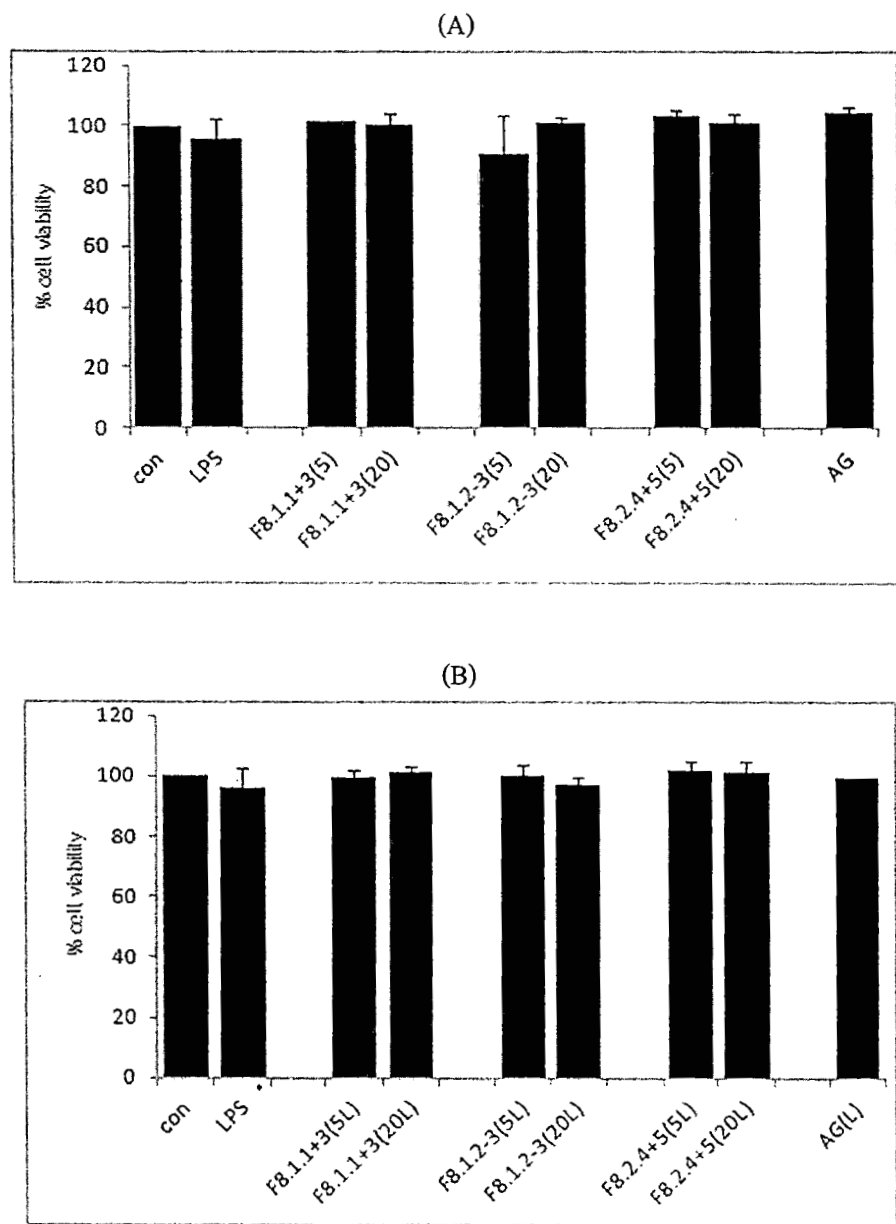
ผลการศึกษาค่าการมีชีวิตอุดของเซลล์แมคโครฟ่าจ RAW 264.7 ที่สัมผัสกับส่วนสกัดย่อย SF8.1.1+3, SF8.1.2-3 และ SF8.2.4+5 ที่ความเข้มข้น 5 และ 20 ไมโครกรัมต่อมิลลิลิตร พบร่วมกันว่า เปอร์เซ็นต์การมีชีวิตอุดของเซลล์ที่สัมผัสกับส่วนสกัดย่อยในสภาวะที่มี LPS และไม่มี LPS รวมทั้งเซลล์ที่สัมผัสกับ LPS เพียงอย่างเดียว ไม่แสดงความเป็นพิษกับเซลล์ เมื่อเทียบกับเซลล์ควบคุม (ดังแสดงในรูปที่ -3-15)



รูปที่ -3-13 การมีชีวิตรอดของเซลล์เม็ดครอฟ่าจ RAW 264.7 ที่สัมผัสกับส่วนสกัดย่อย SF8.2.2+3-1 ถึง SF8.2.2+3-4 ที่ความเข้มข้น 5 และ 20 ไมโครกรัมต่อมิลลิลิตร (A) และ ที่สัมผัสกับส่วนสกัดย่อย SF8.1 ถึง SF8.4 ในขณะที่มี 1 ไมโครกรัมต่อมิลลิลิตร LPS (B) เป็นเวลา 24 ชั่วโมง โดยให้ control = เซลล์ควบคุม LPS = เซลล์ที่สัมผัสกับ LPS เพียงอย่างเดียว DMSO = เซลล์ที่สัมผัสกับ 0.6 เปอร์เซ็นต์ DMSO เพียงอย่างเดียว AG = เซลล์ที่สัมผัสกับ aminoguanidine ที่ความเข้มข้น 50 ไมโครโนมลิตร ผลการทดลองแสดงเป็นค่าเฉลี่ย ± ค่าเบี่ยงเบนมาตรฐานของการทดลอง 2 ครั้ง แต่ละครั้งทำ 3 ช้ำ

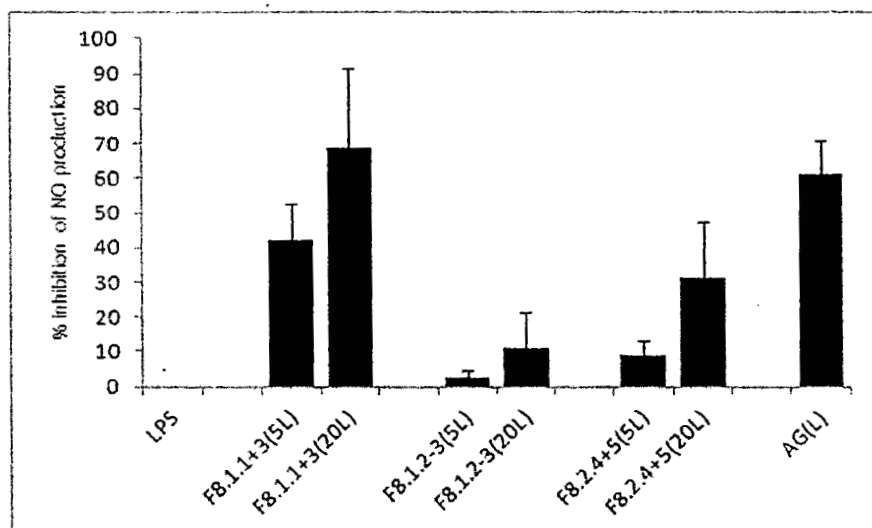


รูปที่ -3-14 การยับยั้งการผลิตไนตริกออกไซด์ของเชลล์เมคโกรฟ้า RAW 264.7 ที่สัมผัสกับส่วนสกัดเยื่อยอ SF8.2.2+3-1 ถึง SF8.2.2+3-4 ในขนาดที่มี LPS (1 ไมโครกรัมต่อมิลลิลิตร) เป็นเวลา 24 ชั่วโมง โดยให้ LPS = เชลล์ที่สัมผัสกับ LPS เพียงอย่างเดียว AG = เชลล์ที่สัมผัส aminoguanidine ที่ความเข้มข้น 50 ไมโครโนลิตร ผลการทดลองแสดงเป็นค่าเฉลี่ย \pm ค่าเบี่ยงเบนมาตรฐานของการทดลอง 2 ครั้ง แต่ละครั้งทำ 3 ช้ำ



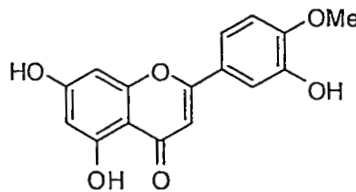
รูปที่ 3-15 การนิวิตรอคของเซลล์เม็ดครอฟ่าจารaw 264.7 ที่สัมผัสกับส่วนประกอบย่อย SF8.1.1+3, SF8.1.2-3 และ SF8.2.4+5 ที่ความเข้มข้น 5 และ 20 ไมโครกรัมต่อมิลลิลิตร (A) และที่สัมผัสกับส่วนประกอบย่อย SF8.1.1+3, SF8.1.2-3 และ SF8.2.4+5 ในขณะที่มี 1 ไมโครกรัมต่อมิลลิลิตร LPS (B) เป็นเวลา 24 ชั่วโมง โดยให้ control = เซลล์ควบคุม LPS = เซลล์ที่สัมผัสกับ LPS เพียงอย่างเดียว DMSO = เซลล์ที่สัมผัสกับ 0.6 ปรอร์เซ็นต์ DMSO เพียงอย่างเดียว AG = เซลล์ที่สัมผัสกับ aminoguanidine ที่ความเข้มข้น 50 ไมโครโมลาร์ ผลการทดลองแสดงเป็นค่าเฉลี่ย ± ค่าเบี่ยงเบนมาตรฐานของการทดลอง 2 ครั้ง แต่ละครั้งทำ 3 ชี้า

ผลการยับยั้งการผลิตไนตริกออกไซด์ของเชลล์ควบคุมที่ไม่ได้สัมผัสกับส่วนสกัดย่อย และเชลล์ที่สัมผัสกับ LPS เพียงอย่างเดียว พบว่าปริมาณไนโตรท์ของเชลล์ควบคุมมีค่าเท่ากับ 0.42 ± 0.12 ในโครโนลาร์ และปริมาณของไนโตรท์ของเชลล์ที่สัมผัสกับ LPS เพียงอย่างเดียวมีค่าเท่ากับ 97.87 ± 18.30 ในโครโนลาร์ เมื่อเชลล์สัมผัสกับ SF8.1.1+3, SF8.1.2-3 และ SF8.2.4+5 พบว่าส่วนสกัดย่อย SF8.1.1+3 มีการยับยั้งการผลิตไนตริกออกไซด์ได้ที่ความเข้มข้น 5 และ 20 ในโครกรัมต่อมิลลิลิตร มีเปอร์เซ็นต์การยับยั้ง 42.29 ± 10.31 และ 68.51 ± 23.05 ตามลำดับ ในขณะที่ส่วนสกัดย่อย SF8.1.2-3 ยับยั้งการผลิตไนตริกออกไซด์ได้ที่ความเข้มข้น 5 และ 20 ในโครกรัมต่อมิลลิลิตร มีเปอร์เซ็นต์การยับยั้งการผลิตไนตริกออกไซด์ที่ 2.96 ± 1.86 และ 11.21 ± 10.16 และผล SF8.2.4+5 มีเปอร์เซ็นต์การยับยั้งการผลิตไนตริกออกไซด์ที่ 8.90 ± 4.23 และ 31.37 ± 16.28 ส่วน aminoguanidine (สารยับยั้งเอนไซม์ iNOS) ที่ความเข้มข้น 50 ในโครโนลาร์ มีเปอร์เซ็นต์การยับยั้งการผลิตไนตริกออกไซด์ได้ 61.21 ± 9.83 (รูปที่ 3-16)



รูปที่ 3-16 การยับยั้งการผลิตไนตริกออกไซด์ของเชลล์แมคโครฟ่า RAW 264.7 ที่สัมผัสกับส่วนสกัดย่อย SF8.1.1+3, SF8.1.2-3 และ SF8.2.4+5 ในขณะที่มี LPS (1 ในโครกรัมต่อมิลลิลิตร) เป็นเวลา 24 ชั่วโมง โดยให้ LPS = เชลล์ที่สัมผัสกับ LPS เพียงอย่างเดียว AG = เชลล์ที่สัมผัส aminoguanidine ที่ความเข้มข้น 50 ในโครโนลาร์ ผลการทดลองแสดงเป็นค่าเฉลี่ย \pm ค่าเบี่ยงเบนมาตรฐานของการทดลอง 2 ครั้ง แต่ละครั้งทำ 3

นำส่วนสกัดย่อย SF5.1+2.2R1-3 มาแยกสารด้วยเทคนิคคลัมน์ไฮดรากโรฟาร์ม ได้ส่วนสกัดย่อยทั้งหมด 2 ส่วนสกัด (SF5.1+2.2R1-3.1 ถึง SF5.1+2.2R1-3.2) พบว่า SF5.1+2.2R1-3.2 คือสาร CI-4 หรือ diosmetin มีน้ำหนักแห้งเท่ากับ 6 มิลลิกรัม ซึ่งเป็นสารที่มีลักษณะเป็นผลึกสีเหลืองและมีโครงสร้างดังรูปที่ 3-17



CI-4

รูปที่ 3-17 โครงสร้างของสารประกอบ diosmetin (4'-O-methyluteolin)

ข้อมูลทางสเปกโทรสโคปีที่ได้จาก NMR และ Mass spectroscopy ของสาร diosmetin

¹H-NMR (CDCl₃+MeOD, 400 MHz): δ3.89 (s, 3H), δ6.21 (d, J=2.0 Hz, 1H), δ6.38 (d, J=2.0 Hz, 1H), δ6.48 (s, 1H), δ6.88 (d, J=8.5 Hz, 1H), δ7.33 (d, J=2.2 Hz, 1H), δ7.38 (dd, J=2.2, 8.5 Hz, 1H), ¹³C-NMR (CDCl₃+MeOD, 100 MHz): δ55.9, 94.3, 99.2, 103.9, 104.0, 111.0, 112.6, 113.9, 124.0, 146.3, 150.4, 164.0, 164.1. HRMS (ESI): C₁₆H₁₂O₆Na [M+Na]⁺, Anal. Cal. 323.0532, Found. 323.0534.

3.4 ฤทธิ์ต้านการอักเสบของสารประกอบที่ได้จากใบสามะงา

ผลการศึกษาค่าการมีชีวิตลดของเซลล์แม่โค โครฟ่า RAW 264.7 ที่สัมผัสถับสารประกอบ acacetin, *p*-anisic acid, hispidulin และ diosmetin พบว่า เปอร์เซ็นต์การมีชีวิตลดของเซลล์ที่สัมผัสถับสารประกอบทุกความเข้มข้นในสภาวะที่มี LPS และไม่มี LPS รวมทั้งเซลล์ที่สัมผัสถับ LPS เพียงอย่างเดียว ไม่แสดงความเป็นพิษกับเซลล์ เมื่อเทียบกับเซลล์ควบคุม (ดังแสดงในตาราง 3-9)

ผลการยับยั้งการผลิตในตริกออกไซด์ของเซลล์ควบคุมที่ไม่ได้สัมผัสถับสารประกอบ และเซลล์ที่สัมผัสถับ LPS เพียงอย่างเดียว พบว่าปริมาณไนโตรฟ์ของเซลล์ควบคุมมีค่าเท่ากับ 1.00 ± 1.33 ไมโครโนลาร์ และปริมาณของไนโตรฟ์ของเซลล์ที่สัมผัสถับ LPS เพียงอย่างเดียวมีค่าเท่ากับ 58.30 ± 7.37 ไมโครโนลาร์ เมื่อเซลล์สัมผัสถับ *p*-anisic acid, acacetin, hispidulin และ diosmetin พบว่าสารทั้งหมดสามารถยับยั้งการผลิตในตริกออกไซด์ได้ในลักษณะที่เข้มกับความเข้มข้น สารประกอบ acacetin และ hispidulin มีการยับยั้งการผลิตในตริกออกไซด์สูงที่สุด มีค่า IC₅₀ ของการยับยั้งการผลิตในตริกออกไซด์เท่ากับ >100 , 43.52, 43.66 และ 57.09 ไมโครโนลาร์ ตามลำดับ ในขณะที่ ค่า IC₅₀ ของ aminoguanidine (สารยับยั้งเอนไซม์ iNOS) มีค่าเท่ากับ 58.97 ไมโครโนลาร์ ดังตารางที่ 3-10

ตารางที่ 3-9 ความเข้มข้นในไตรท์ เปอร์เซ็นต์การยับยั้งการผลิตไนตริกออกไซด์ และเปอร์เซ็นต์การมีชีวิต รอดของเซลล์เม็ดครอฟ่า RAW 264.7 ที่สัมผัสกับสารประกอบ ที่ได้จากใบสามง่า

| สารทดสอบ | | ความเข้มข้น ในไตรท์ (ไมโครโมลาร์) | เปอร์เซ็นต์การ ยับยั้งการผลิต ไนตริกออก ไซด์ | เปอร์เซ็นต์การมี ชีวิตรอดของ เซลล์ |
|---|------------------|---|---|--|
| control | | 1.00 ± 1.33 | - | 100 ± 0.00 |
| LPS (1 ไมโครกรัมต่อมิลลิลิตร) | | 58.30 ± 7.37 | 0.00 ± 0.00 | 100.26 ± 3.18 |
| DMSO 0.2 เปอร์เซ็นต์ (ปริมาตรต่อปริมาตร) | | 0.95 ± 1.06 | 98.66 ± 2.69 | 100.56 ± 3.84 |
| <i>p-anisic acid</i> (+LPS) | 6.25 ไมโครโมลาร์ | 0.12 ± 0.85 | -1.00 ± 15.78 | 99.97 ± 1.42 |
| | 12.5 ไมโครโมลาร์ | 0.55 ± 1.21 | -11.68 ± 5.24 | 99.98 ± 1.86 |
| | 25 ไมโครโมลาร์ | 0.77 ± 1.04 | -9.26 ± 7.82 | 95.19 ± 8.08 |
| | 50 ไมโครโมลาร์ | 0.32 ± 0.52 | -1.80 ± 9.60 | 98.35 ± 2.64 |
| | 100 ไมโครโมลาร์ | 0.13 ± 0.67 | 2.45 ± 8.84 | 98.65 ± 2.10 |
| <i>acacetin</i> (+LPS) | 6.25 ไมโครโมลาร์ | 0.14 ± 0.94 | 11.05 ± 9.77 | 99.58 ± 2.77 |
| | 12.5 ไมโครโมลาร์ | 1.03 ± 0.97 | 21.19 ± 3.50 | 100.73 ± 3.28 |
| | 25 ไมโครโมลาร์ | 0.70 ± 1.22 | 43.97 ± 6.88 | 99.26 ± 2.68 |
| | 50 ไมโครโมลาร์ | 0.65 ± 0.40 | 67.55 ± 8.20 | 95.47 ± 5.55 |
| | 100 ไมโครโมลาร์ | 0.21 ± 0.44 | 87.00 ± 5.31 | 94.02 ± 6.25 |
| <i>hispidulin</i> (+LPS) | 6.25 ไมโครโมลาร์ | 0.15 ± 0.60 | 17.18 ± 9.78 | 97.62 ± 2.54 |
| | 12.5 ไมโครโมลาร์ | 0.55 ± 0.97 | 17.86 ± 7.42 | 95.97 ± 3.41 |
| | 25 ไมโครโมลาร์ | 0.75 ± 1.57 | 35.59 ± 7.35 | 95.16 ± 2.56 |
| | 50 ไมโครโมลาร์ | 0.48 ± 0.92 | 66.43 ± 7.90 | 94.76 ± 4.81 |
| | 100 ไมโครโมลาร์ | 0.49 ± 0.97 | 93.05 ± 1.57 | 91.81 ± 7.60 |
| <i>diosmetin</i> (+LPS) | 6.25 ไมโครโมลาร์ | 55.76 ± 10.73 | 5.12 ± 6.13 | 95.63 ± 4.06 |
| | 12.5 ไมโครโมลาร์ | 51.19 ± 9.25 | 16.05 ± 8.33 | 96.33 ± 3.24 |
| | 25 ไมโครโมลาร์ | 37.44 ± 7.40 | 38.52 ± 7.52 | 98.05 ± 1.76 |
| | 50 ไมโครโมลาร์ | 20.81 ± 7.99 | 68.29 ± 10.25 | 99.69 ± 0.85 |
| | 100 ไมโครโมลาร์ | 21.29 ± 6.74 | 65.04 ± 6.35 | 99.74 ± 0.57 |

| | | | | |
|--------------------------------|-------------------|-------------|--------------|---------------|
| <i>p-anisic acid</i> (-LPS) | 6.25 ไมโครโนมลิตร | 0.12 ± 0.85 | | 104.95 ± 1.83 |
| | 12.5 ไมโครโนมลิตร | 0.55 ± 1.21 | | 104.30 ± 1.70 |
| | 25 ไมโครโนมลิตร | 0.77 ± 1.04 | | 103.33 ± 1.44 |
| | 50 ไมโครโนมลิตร | 0.32 ± 0.52 | | 102.80 ± 0.80 |
| | 100 ไมโครโนมลิตร | 0.13 ± 0.67 | | 102.80 ± 0.55 |
| <i>acacetin</i> (-LPS) | 6.25 ไมโครโนมลิตร | 0.14 ± 0.94 | | 102.21 ± 1.68 |
| | 12.5 ไมโครโนมลิตร | 1.03 ± 0.97 | | 102.29 ± 2.26 |
| | 25 ไมโครโนมลิตร | 0.70 ± 1.22 | | 100.62 ± 3.16 |
| | 50 ไมโครโนมลิตร | 0.65 ± 0.40 | | 97.78 ± 6.20 |
| | 100 ไมโครโนมลิตร | 0.21 ± 0.44 | | 86.08 ± 18.23 |
| <i>hispidulin</i> (-LPS) | 6.25 ไมโครโนมลิตร | 0.15 ± 0.60 | | 100.12 ± 1.77 |
| | 12.5 ไมโครโนมลิตร | 0.55 ± 0.97 | | 99.82 ± 1.68 |
| | 25 ไมโครโนมลิตร | 0.75 ± 1.57 | | 98.10 ± 3.72 |
| | 50 ไมโครโนมลิตร | 0.48 ± 0.92 | | 95.76 ± 7.35 |
| | 100 ไมโครโนมลิตร | 0.48 ± 0.92 | | 87.27 ± 15.86 |
| <i>diosmetin</i> (-LPS) | 6.25 ไมโครโนมลิตร | 0.57 ± 0.92 | | 99.97 ± 1.76 |
| | 12.5 ไมโครโนมลิตร | 0.57 ± 1.27 | | 100.12 ± 2.35 |
| | 25 ไมโครโนมลิตร | 1.57 ± 2.06 | | 101.18 ± 1.85 |
| | 50 ไมโครโนมลิตร | 0.11 ± 0.98 | | 100.05 ± 1.65 |
| | 100 ไมโครโนมลิตร | 1.33 ± 1.74 | | 100.40 ± 1.97 |
| AG (+LPS) | 6.25 ไมโครโนมลิตร | 0.43 ± 0.41 | 9.41 ± 2.88 | 99.93 ± 3.38 |
| | 12.5 ไมโครโนมลิตร | 0.95 ± 1.02 | 15.82 ± 4.58 | 100.99 ± 5.63 |
| | 25 ไมโครโนมลิตร | 1.23 ± 1.25 | 29.53 ± 1.81 | 99.62 ± 3.98 |
| | 50 ไมโครโนมลิตร | 0.18 ± 0.76 | 51.22 ± 5.70 | 99.76 ± 3.62 |
| | 100 ไมโครโนมลิตร | 2.41 ± 2.30 | 73.16 ± 2.29 | 101.80 ± 1.10 |
| AG (-LPS) | 6.25 ไมโครโนมลิตร | 0.43 ± 0.41 | | 99.52 ± 0.55 |
| | 12.5 ไมโครโนมลิตร | 0.95 ± 1.02 | | 97.38 ± 1.31 |
| | 25 ไมโครโนมลิตร | 1.23 ± 1.25 | | 97.64 ± 1.31 |
| | 50 ไมโครโนมลิตร | 0.18 ± 0.76 | | 99.54 ± 2.59 |
| | 100 ไมโครโนมลิตร | 2.41 ± 2.30 | | 98.28 ± 1.48 |

หมายเหตุ : ข้อมูลแสดงเป็นค่าเฉลี่ย ± ค่าเบี่ยงเบนมาตรฐานของการทดลอง 4 ครั้ง แต่ละครั้งทำ 3 ช้ำ โดยให้ control = เซลล์ควบคุม LPS = เซลล์ที่สัมผัสกับ LPS เพียงอย่างเดียว DMSO = เซลล์ที่สัมผัสกับ 0.2 ไมโครไซร์ต์ DMSO เพียงอย่างเดียว AG = เซลล์ที่สัมผัส aminoguanidine ที่ความเข้มข้น 6.25, 12.5, 25, 50 และ 100 ไมโครโมลาร์ (+LPS) หมายถึง สารทดสอบที่มี LPS (-LPS) หมายถึง สารทดสอบที่ไม่มี LPS

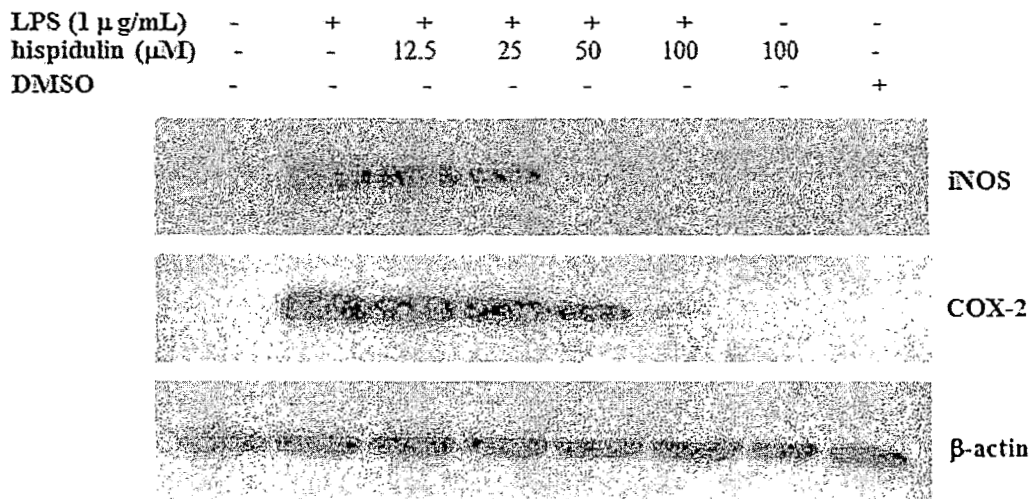
ตารางที่ 3-10 ค่า IC_{50} ของการบัญชีการผลิตในตริกออกไชด์ของสารประกอบ acacetin, *p*-anisic acid และ hispidulin ในเซลล์แมคโครฟ้าจ RAW 264.7 ที่เหนี่ยวแน่นด้วย LPS

| สารประกอบ | ค่า IC_{50} (ไมโครโมลาร์) |
|-----------------------|-----------------------------|
| <i>p</i> -anisic acid | > 100 |
| acacetin | 43.52 ± 6.43 |
| acacetin | 43.52 ± 6.43 |
| diosmetin | 57.09 ± 4.04 |
| aminoguanidine | 58.97 ± 11.19 |

หมายเหตุ : ข้อมูลแสดงเป็นค่าเฉลี่ย ± ค่าเบี่ยงเบนมาตรฐานของการทดลอง 4 ครั้ง แต่ละครั้งทำ 3 ช้ำ

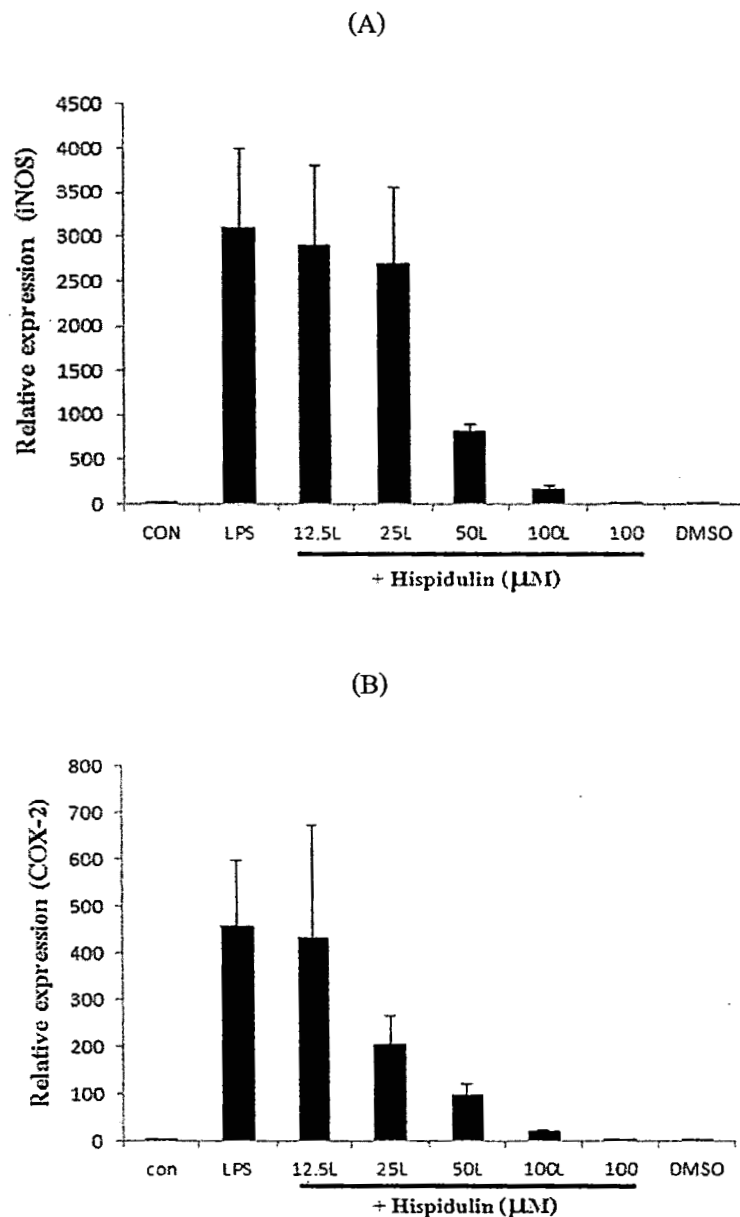
3.5 กลไกระดับโมเลกุลในการต้านอักเสบของสาร hispidulin

ในการทดลองต่อไปทำการศึกษากลไกในการบัญชีการผลิตในตริกออกไชด์ของสารประกอบ hispidulin ที่แยกได้จากส่วนสกัดบอยเอทิโลซิเตตจากใบสามง่า ผลการศึกษาโดยเทคนิค Western blot ในรูปที่ 3-18 แสดงให้เห็นว่าเมื่อเซลล์แมคโครฟ้าจสัมผัสกับ LPS จะทำให้มีการแสดงออกของเอนไซม์ iNOS และ COX-2 เพิ่มขึ้นอย่างชัดเจนเมื่อเทียบกับเซลล์ควบคุมที่ไม่ได้สัมผัสกับสารใด แต่เมื่อเซลล์ได้รับ hispidulin ทำให้ปริมาณโปรตีน iNOS ที่เหนี่ยวแน่นโดย LPS ลดลง ในลักษณะที่เข้มข้น ในขณะที่ไม่พบรการแสดงออกของโปรตีน iNOS ในเซลล์ที่สัมผัสกับ hispidulin เพียงอย่างเดียว และเซลล์ที่สัมผัสกับ DMSO ซึ่งเป็นตัวทำลายสาร hispidulin นอกจากนี้ยังได้ทำการศึกษาผลของสาร hispidulin ต่อปริมาณ mRNA ของเอนไซม์ iNOS และ COX-2 โดยเทคนิค realtime-RT-PCR พบร่วมกับ hispidulin สามารถลดปริมาณ mRNA ของเอนไซม์ iNOS และ COX-2 ได้เช่นเดียวกับผลการศึกษาปริมาณ โปรตีน iNOS ดังแสดงผลในรูปที่ 3-19



รูปที่ 3-18 การวิเคราะห์ระดับโปรตีน iNOS และ COX-2 โดยเทคนิค Western blot analysis ในเซลล์เม็ดโคร์ฟางหนู (RAW 264.7) ที่ถูกบ่มด้วย hispidulin ทั้งที่มีและไม่มี LPS (1 $\mu\text{g/mL}$) เป็นเวลา 24 ชั่วโมง กับ immunoblot นี้เป็นตัวแทนของการทดลอง 3 ครั้งที่อิสระต่อกัน

โพรสตาแกลนдин E2 เป็นสารสื่อถ่ายในการอักเสบที่สำคัญอีกชนิดนอกเหนือจากไนตริกออกไซด์ที่ถูกผลิตจากเซลล์เม็ดโคร์ฟางในขณะที่เกิดกระบวนการอักเสบ โดยเอนไซม์ COX-2 ซึ่งเป็นไอโซฟอร์มที่ถูกเหนี่ยวนำให้มีการแสดงออกในขณะที่มีการอักเสบ ในการศึกษานี้พบว่าปริมาณโพรสตาแกลนдин E2 ที่พบในอาหารเตี้ยงเซลล์ควบคุมมีค่าเท่ากับ 111.96 พิโตรกรัมต่อมิลลิลิตร ส่วนเซลล์ที่สัมผัสถกับ LPS เพียงอย่างเดียวมีค่าเท่ากับ 51678.52 พิโตรกรัมต่อมิลลิลิตร ซึ่งมีค่าสูงกว่าเซลล์ควบคุมอย่างมีนัยสำคัญในขณะที่เซลล์ที่สัมผัสถกับ hispidulin และ LPS จะมีปริมาณโพรสตาแกลนдин E2 ลดลงในลักษณะที่ขึ้นกับความเข้มข้น (ตารางที่ 3-10) ในการทดลองนี้ใช้ยา Indomethacin เป็นตัวควบคุมแบบแบวกรสำหรับเอนไซม์ COX-2 โดยเซลล์ที่สัมผัสถกับ Indomethacin (10 μM) และ LPS มีปริมาณโพรสตาแกลนдин E2 ลดลงเหลือเท่ากับ 19.2 พิโตรกรัมต่อมิลลิลิตร คิดเป็นเปอร์เซ็นต์การยับยั้งเท่ากับ 99.96



รูปที่ 3-19 การวิเคราะห์การแสดงออกของยีน iNOS (A) และ COX-2 (B) ระดับ mRNA ในเซลล์แมมโคร์ฟางหนู (RAW 264.7) ที่ถูกบุ่นด้วย hispidulin ทั้งที่มีและไม่มี LPS ($1 \mu\text{g}/\text{ml}$) ที่ความเข้มข้นต่างๆ เป็นเวลา 9 ชั่วโมง ข้อมูลที่แสดงเป็นค่าเฉลี่ย \pm ค่าเบี่ยงเบนมาตรฐานของการทดลอง 3 ครั้ง ที่อิสระต่อกัน โดยให้ CON = เซลล์ควบคุม, DMSO = เซลล์ที่สัมผัสกับ 0.4% DMSO

ตารางที่ 3-10 แสดงการยับยั้งการผลิต prostaglandin E₂ (PGE₂) ของ hispidulin ในเซลล์เม็ดโคโรฟ่าที่ถูกกระตุ้นด้วย LPS เป็นเวลา 24 ชั่วโมง

| ความเข้มข้นของ hispidulin (ไมโครโมลาร์) | ความเข้มข้นของ PGE ₂ (พิโครกรัมต่อมิลลิลิตร) ^a | เปอร์เซ็นต์การยับยั้ง ^b |
|---|--|------------------------------------|
| +LPS | 6.25 | 40642.55 |
| | 6.25 | 25997.89 |
| | 6.25 | 13057.14 |
| | 6.25 | 2244.02 |
| | 100 | 281.04 |
| -LPS | 100 | 43.10 |
| Control | | 281.04 |
| LPS (1 μ g/ml) | | 51678.52 |
| Indomethacin 10 μ M + LPS | | 19.2 |
| DMSO (0.4%) | | 176.78 |
| | | 74.73 |

^a ค่าที่แสดงเป็นค่าเฉลี่ยของทดลอง 2 ครั้ง

^b ค่าการยับยั้งการผลิต prostaglandin E2 ของแต่ละความเข้มข้นเปรียบเทียบกับปริมาณ prostaglandin E2 ที่ได้จากเซลล์ที่สัมผัส LPS (1 ไมโครกรัมต่อมิลลิลิตร) เพียงอย่างเดียว

บทที่ 4

อภิปรายและสรุปผลการทดลอง

4.1 อภิปรายผลการทดลอง

การหลั่งสารสื่อกลางการอักเสบต่างๆ รวมทั้งในตริกออกไซด์ (NO) และพروสตาแกลนдин E₂ (PGE₂) ออกมานาจากเซลล์แมคโครฟاجในขณะที่มีการอักเสบ เป็นปฏิกิริยาการตอบสนองในระบบภูมิคุ้มกัน เพื่อกำจัดสิ่งแปลกปลอมหรือจุลชีพ แต่ถ้ามีการหลั่งสารสื่อกลางการอักเสบเหล่านี้มากเกินไปจะทำให้เกิด โรคที่เกี่ยวข้องกับการอักเสบต่างๆ (Wright, 1992; Dorheim, 1994; Grisham, 1999; Coleman, 2001; Cross และ Wilson, 2003; Guzik, 2003; Latham, 2005) ดังนั้นการค้นหาสารที่ออกฤทธิ์ลดการผลิตสารสื่อกลาง การอักเสบ เช่น ในตริกออกไซด์ และ PGE₂ จะเป็นวิธีการหนึ่งในการรักษาโรคที่เกิดจากการอักเสบเหล่านี้ ในการศึกษารังนี้ เป็นการแยกสารประกอบที่มีฤทธิ์ต้านอักเสบจากในสำมะง่า โดยเทคนิคฤทธิ์ทางชีวภาพ ทำการสกัด ฤทธิ์ต้านการอักเสบประเมินจากการยับยั้งการผลิตในตริกออกไซด์ในเซลล์แมคโครฟاجหนู RAW 264.7 ที่ถูกกระตุ้นด้วย LPS ทำการแยกสารที่เป็นตัวออกฤทธิ์ในการยับยั้งการผลิตในตริกออกไซด์ ของส่วนสกัดเอทธิลอะซิเตตของใบสำมะง่า ซึ่งเป็นส่วนสกัดย่อยที่ออกฤทธิ์ยับยั้งการผลิตในตริกออกไซด์ตี่ ที่สุด จากส่วนสกัดย่อย 3 ชนิดจากส่วนสกัดเอทานอลจากใบสำมะง่า คือ ส่วนสกัดย่อยเอทธิลอะซิเตตมากแยกด้วยคอลัมน์โคมาราโฟฟิล์ม ได้สาร 8 ส่วนสกัดย่อย คือ SF1-SF8 เมื่อนำไปทดสอบฤทธิ์การ ยับยั้งการผลิตใน ตริกออกไซด์ พบร่วม SF5 และ SF8 มีประสิทธิภาพในการยับยั้งการผลิตในตริกออกไซด์ สูง จึงได้เลือกนำส่วนสกัดย่อยเอทธิลอะซิเตต SF5 และ SF8 มาศึกษาต่อ

จากการแยกสารประกอบที่จากใบสำมะง่า โดยเทคนิคฤทธิ์ต้านอักเสบนำการสกัดได้สาร 3 ชนิด คือ acacetin, hispidulin และ diosmentin (ดังภาพสเปกตรัมในภาคผนวก รูป ผ 1-2 ถึง ผ 1-4) ในขณะที่การ แยก *p-anisic acid* จากส่วนสกัดย่อยไม่ได้มาจากเทคนิคฤทธิ์ทางชีวภาพนำการสกัดโดยตรงแต่เป็น เพราะ ส่วนสกัดนี้มีสเปกตรัมไม่ซับซ้อน (ดังภาพสเปกตรัมในภาคผนวก รูป ผ 1-1) และอาจมีอยู่มากในส่วนสกัด ย่อยนี้ จึงสามารถแยกออกมาได้ง่าย จากนั้นนำสารประกอบทั้ง 4 ชนิดได้แก่ *p-anisic acid*, acacetin, hispidulin และ diosmentin มาทดสอบฤทธิ์การยับยั้งการผลิตในตริกออกไซด์และความเป็นพิษต่อเซลล์ พบร่วม acacetin, hispidulin และ diosmentin ซึ่งมีโครงสร้างเป็นฟลาโวน (Flavone) สามารถยับยั้งการผลิต ในตริกออกไซด์ได้ดี โดยไม่แสดงความเป็นพิษต่อเซลล์ (ดังตารางที่ 3-9) แสดงให้เห็นว่าการลดลงของ ปริมาณไนโตรทีโนอาหารเลี้ยงเซลล์ที่สัมผัสสารประกอบ acacetin, hispidulin และ diosmentin ไม่ได้เป็น ผลมาจากการความเป็นพิษต่อเซลล์ หรือการตายของเซลล์ แต่เป็นผลมาจากการสามารถในการยับยั้งการผลิต

ในตริกօอกไชด์ของสารประกอบ acacetin, hispidulin และ diosmentin ในขณะที่ *p-anisic acid* นั้นไม่มีความเป็นพิษกับเซลล์เช่นกันแต่เมื่อการยับยั้งการผลิตในตริกօอกไชด์ที่ต่ำ นอกจานนี้ยังพบว่าสาร acacetin และ hispidulin นี้ยังมีฤทธิ์ในการยับยั้งการผลิตในตริกօอกไชด์สูงกว่า aminoguanidine ซึ่งเป็นสารยับยั้งเอนไซม์ iNOS ที่รู้จักกันดี และให้เป็นค่าความคุณแบบนวากในการทดลองครั้งนี้ โดย acacetin และ hispidulin มีค่า IC_{50} เท่ากับ 43.52 ± 6.43 ไมโครโมลาร์ และ 43.66 ± 4.04 ไมโครโมลาร์ ตามลำดับ ซึ่งน้อยกว่า aminoguanidine ที่มี IC_{50} ค่าเท่ากับ 58.97 ± 2.45 ไมโครโมลาร์

ในการวิจัยครั้งนี้ยังได้เลือก hispidulin ไปทำการศึกษากลไกในการต้านอักเสบในเซลล์แมคโคร์ฟاج RAW 264.7 ที่เหนี่ยวนำด้วย LPS พบว่า hispidulin นอกจากจะสามารถยับยั้งการผลิตในตริกօอกไชด์ แล้ว ยังยับยั้งการผลิต PGE_2 ได้เช่นกัน (ตารางที่ 3-10) จากผลที่แสดงในรูปที่ 3-18 และ 3-19 พบว่า hispidulin สามารถลดการแสดงออกของโปรตีน และ mRNA ของ iNOS และ COX-2 ในลักษณะที่ขึ้นกับความเข้มข้น แสดงให้เห็นว่าการยับยั้งการผลิตในตริกօอกไชด์ และ PGE_2 ของ hispidulin ส่วนหนึ่งมาจากการความสามารถในการลดการแสดงออกของ mRNA ของ iNOS และ COX-2 เป็นผลให้มีการลดลงของโปรตีน iNOS และ COX-2 และทำให้ผลผลิตของเอนไซม์ทั้งสอง คือ ในตริกօอกไชด์ และ PGE_2 ลดลง นั่นคือเซลล์มีการตอบสนองต่อการอักเสบลดลง

การศึกษานี้เป็นการรายงานครั้งแรกที่พบ *p-anisic acid*, hispidulin และ diosmentin ในใบสำมะงา ในขณะที่การแยกสาร acacetin ได้จากใบสำมะงา สอดคล้องกับการรายงานโดย Shrivastava and Patel (2007) ที่พบ acacetin ในใบสำมะงา ในขณะที่มีการพบ *p-anisic acid* ในพืชชนิดอื่น เช่น *Coix aquatica Roxb* (Rungprom et al., 2007) และ *Ficus mucoso* (Jean et al., 2011) ส่วน hispidulin พบใน *Clerodendrum indicum*, *Clerodendrum petasited* และ *Clerodendrum infortunatum* (Hazekamp et al., 2001; Shrivastava and Patel, 2007) เป็นต้น ส่วน diosmentin พบใน *Dracocephalum peregrinum* (Dai et al., 2008), *Penstemon gentianoides* และ *Penstemon campanulatus* (Domínguez et al., 2011) *Schizonepeta tenuifolia* (Wang et al., 2012), *Chrysanthemum morifolium* (Lee et al., 2013)

Pan et al. (2006) รายงานว่า acacetin สามารถปริมาณในตริกօอกไชด์ และการแสดงออกของเอนไซม์ iNOS และ COX-2 ซึ่งเป็นเอนไซม์ที่ผลิตในตริกօอกไชด์ และพรอستაแแกนдин ตามลำดับ ในเซลล์แมคโคร์ฟاج RAW 264.7 ที่เหนี่ยวนำด้วย LPS ในปี ก.ศ. 2005 Cottiglia et al. รายงานว่า hispidulin แสดงฤทธิ์ต้านอักเสบที่ผิวนังของหูหนูที่เหนี่ยวนำด้วยน้ำมันสโตรก (croton oil) และสามารถลดการลิดในตริกօอกไชด์ และ TNF- α ในเซลล์แมคโคร์ฟاجปฐมภูมิจากไขกระดูก (Comalada et al., 2006) และเซลล์แมคโคร์ฟاج RAW 264.7 รวมทั้งเซลล์ในโกรเกลีย N-11 (Shanmugam et al., 2008) ที่เหนี่ยวนำด้วย LPS (Shanmugam et al., 2008) นอกจากนี้ Clavin et al. (2007) รายงานว่า hispidulin ยับยั้งการกระตุ้น NF-KB ที่เป็น transcription factor ที่ควบคุมการแสดงออกของ iNOS ในเซลล์ Jurkat ที่เหนี่ยวนำด้วย TNF- α สำหรับฟลาโนวนอิกชนิดหนึ่งคือ diosmetin ถูกพบว่าลดการผลิตในตริกօอกไชด์ และการแสดงออกของเอนไซม์ iNOS ในเซลล์แมคโคร์ฟاجจากช่องท้องของหนูที่ได้รับการเหนี่ยวนำด้วย LPS (Matsuda et al.,

2003) ซึ่งรายงานเหล่านี้สนับสนุนผลการทดลองของเราที่ค้นพบว่า acacetin, hispidulin และ diosmentin ที่สกัดได้จากส่วนสกัดย่อยเอทธิลอะซิเตตในใบสำมะงา มีฤทธิ์ยับยั้งการผลิตไนตริกออกไซด์ได้ในเซลล์เม็ดโครฟاج RAW 264.7 ที่เหนี่ยวนำด้วย LPS แสดงว่าสารเหล่านี้น่าจะเป็นสารที่ออกฤทธิ์การต้านการอักเสบในใบสำมะงานี้

จากการทดลองทั้งหมด แสดงให้เห็นว่า acacetin, hispidulin และ diosmentin ที่แยกจากส่วนสกัดย่อยเอทธิลอะซิเตตจากใบสำมะงา มีฤทธิ์ในการยับยั้งการผลิตไนตริกออกไซด์ที่ดีโดยที่ไม่มีความเป็นพิษ กับเซลล์เม็ดโครฟاج RAW 264.7 สารประกอบนี้เป็นส่วนหนึ่งของสารที่แสดงฤทธิ์ต้านการอักเสบของใบสำมะงา และข้อมูลที่ได้นี้จะเป็นหลักฐานทางวิทยาศาสตร์ที่สนับสนุนการใช้สมุนไพรสำมะงาเป็นยารักษาโรคที่เกี่ยวข้องกับการอักเสบต่างๆ และอาจมีการนำ acacetin, hispidulin และ diosmentin ไปพัฒนาเป็นยาที่ใช้ในการรักษาโรคที่เกี่ยวข้องกับการอักเสบได้

4.2 สรุปผลการทดลอง

1. สารประกอบ acacetin, hispidulin และ diosmentin ที่แยกจากส่วนสกัดย่อยเอทธิลอะซิเตตจากใบสำมะงา มีฤทธิ์ต้านอักเสบ โดยยับยั้งการผลิตไนตริกออกไซด์ในเซลล์เม็ดโครฟاجหนู RAW264.7 ที่ถูกกระตุ้นด้วย LPS ในลักษณะที่เข้มข้นกับความเข้มข้นของสารทดสอบ

2. สารประกอบ hispidulin มีฤทธิ์มีฤทธิ์ต้านอักเสบ โดยการยับยั้งการผลิตไนตริกออกไซด์ และ PGE₂ มีกลไกการต้านอักเสบคือ ยับยั้งที่การแสดงออกของ mRNA และโปรตีนของ iNOS และ COX-2 ในเซลล์เม็ดโครฟاجหนู RAW264.7 ที่ถูกกระตุ้นด้วย LPS

เอกสารอ้างอิง

กล่าวข้างต้น ศรีสุข. และเอกสาร ศรีสุข (2554). การศึกษาฤทธิ์ต้านการยักเส้นของสมุนไพรป่าชายเลนคุ่มแม่น้ำ
เวพุ. รายงานการวิจัยฉบับสมบูรณ์ คณะวิทยาศาสตร์ มหาวิทยาลัยนูรพา.

พันธุ์ไม้ป่าชายเลนในประเทศไทย. (2549). สำนักงานอนุรักษ์ทรัพยากรป่าชายเลน กรมทรัพยากรทางทะเล
และชายฝั่ง กระทรวงทรัพยากรธรรมชาติและสิ่งแวดล้อม.

พันธุ์พืชสมุนไพรในป่าชายเลน. (มปป.). สถานีพัฒนาทรัพยากรป่าชายเลนที่ 3 (ชลบุรี) จังหวัดชลบุรี ส่วน
บริหารจัดการทรัพยากรป่าชายเลนที่ 1 กรมทรัพยากรทางทะเลและชายฝั่ง กระทรวง
ทรัพยากรธรรมชาติและสิ่งแวดล้อม.

Achari, B., Chaudhari, C., Saha, C.R., Dutta, P.K. and Pakrashi, S.C. (1990). A clerodane diterpenoid and
other constituents of *Clerodendrum inerme*. Phytochemistry. 29:3671-3673.

Akihisa, T., Ghosh, P., Thakur, S., Nagata, H., Tamura, T. and Matsumoto, T. (1990). 24,24-dimethyl-25-
dehydrolophenol,A-4-methylsterol from *Clerodendrum inerme*. Phytochemistry. 29:1639- 1641.

Alderton, W.K., Cooper, C.E., & Knowles, R.G. (2001). Nitric oxide synthase: structure, function and
inhibition. Biochemical Journal, 357,593-615.

Anitha, R., and Kannan, P. (2006). Antifungal activity of *Clerodendrum inerme* and *Clerodendrum*
phlomidis. Turkish. Journal Biology. 30, 139-142.

Calis, I., Hosny, M., Yürüker, A., Wright, A.D., Sticher, O. (1994). Inerminosides A and B, two novel
complex iridoid glycosides from *Clerodendrum inerme*. Journal of Natural Products. 57: 494-500.

Chirva, V.Y .and Garg, G. (1980). Chemical investigation of leaves and stem of *Clerodendrum*
tomentosum R. Br. Pharmazie. 35:500-501.

Clavin, M., Gorzalczany, S., Macho, A., Munoz, E., Ferraro, G., Acevedo, C. and Martino, V. (2007).
Anti-inflammatory activity of flavonoids from *Eupatorium arnottianum*. Journal of
Ethnopharmacology. 112:585-589.

Coleman, J. W. (2001). Nitric oxide in immunity and inflammation. Inter Immunopharm. 1: 1397-1406.

Cottiglia, F., Casu, L., Bonsignore, L., Casu, M., Floris, C., Sosa, S., Altinier, G., Della Logia, R., 2005.
Topical anti-inflammatory activity of flavonoids and a new xanthone from *Santolina insularis*.
Zeitschrift für Naturforschung 60c, 63–66.

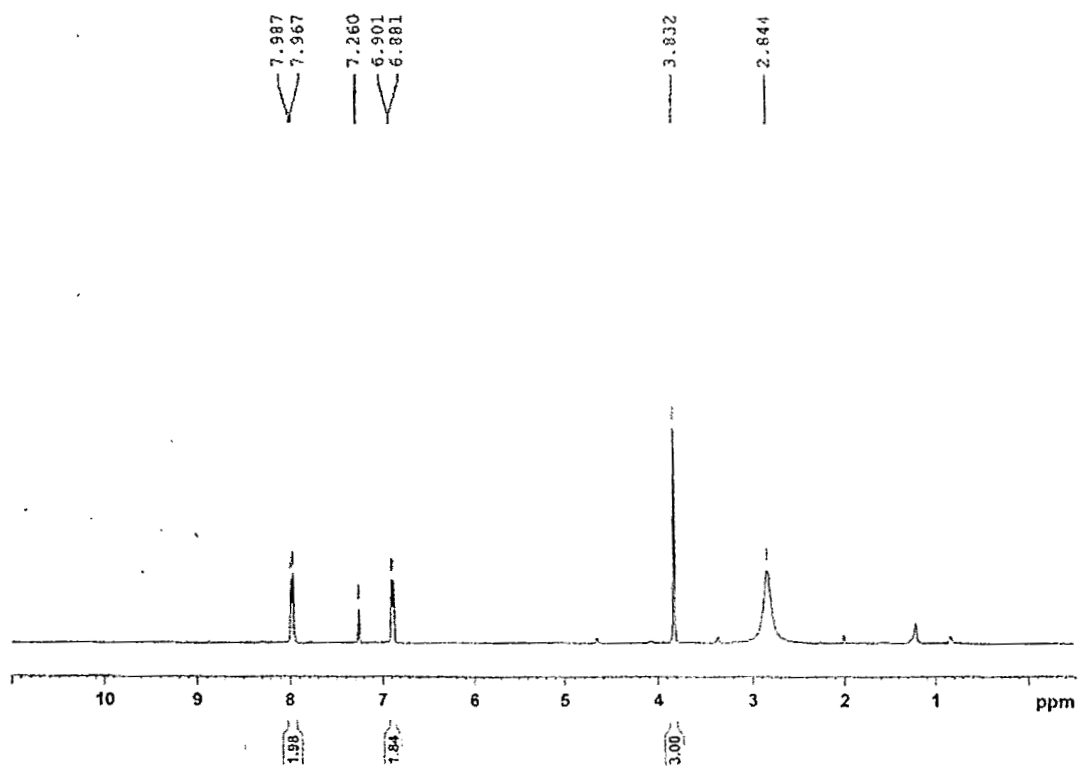
Cross, R. K, Wilson, K. T. (2003). Nitric oxide in inflammatory bowel disease. Inflammatory Bowel
Disease. 9: 179-189.

- Dai, L.M., Zhao, C.C., Jin, H.Z., Tang, J., Shen, Y.H., Li, H.L., Peng, C.Y., Zhang, W.D. (2008). A new ferulic acid ester and other constituents from *Dracocephalum peregrinum*. Archives of Pharmacol Research. 31:1325-1329.
- Dorheim, M.A., Tracey, W.R., Pollock, J.S., Grammas, P. (1994). Nitric oxide synthase activity is elevated in brain microvessels in Alzheimer's disease. Biochemical Biophysics Research Communication. 205: 659-665.
- Domínguez, M., Avila, J.G., Nieto, A., Céspedes, C.L. (2011). Anti-inflammatory activity of *Penstemon gentianoides* and *Penstemon campanulatus*. Pharmaceutical Biology. 49: 118-124.
- Gopal, N. and Sengottuvelu, S. (2008). Hepatoprotective activity of *Clerodendrum inerme* against CCL4 induced hepatic injury in rats. Fitoterapia. 79: 24-26.
- Grisham, M. B, Jourd'Heuil, D., Wink, D. A. (1999). Nitric oxide. I. Physiological chemistry of nitric oxide and its metabolites: implications in inflammation. American Journal Physiology. 276: G315-321.
- Guzik, T.J., Korbut, R., Adamek-Guzik, T. (2003). Nitric oxide and superoxide in inflammation and immune regulation. Journal of Physiology and Pharmacology. 54, 469-487.
- Hazekamp, A., Verpoorte, R., Panthong, A. (2001). Isolation of a bronchodilator flavonoids from Thai medicinal plant Cleodendrum petasites. Journal of Ethnopharmacology. 78: 45-49.
- Jean, J.K.B., Rustamova, K., Bruno, N.L., Diderot, T.N., Silvere, A.N., Sufyan, A.M., Khalid, A., Mohammed, I.C., Sean, T.P., Ralphreed, H., Augustin, E.N., Etienne, T. and Muhammad, S.A.. (2011). Isoflavone dimmers and other bioactive constituents from the figs of *Ficus mucoso*. Journal of Natural Products. 74:1370–1378.
- Kanchanapoom T., Kasai R., Chumsri P., Hiraga Y. and Yamasaki K. (2001). Megastigmane and iridoid glucosides from *Clerodendrum inerme*. Phytochemistry. 58: 333–336.
- Katzung, B.G. Basic & Clinical Pharmacology. (2001). International Edition. Lange Medical Books/McGraw-Hill, New York.
- Latham, K.A., Whittington, K.B., Zhou, R., Qian, Z., Rosloniec, E.F. (2005). Ex vivo characterization of the autoimmune T cell response in the HLA-DR1 mouse model of collagen-induced arthritis reveals long-term activation of type II collagen-specific cells and their presence in arthritic joints. Journal of Immunology. 174, 3978-3985.

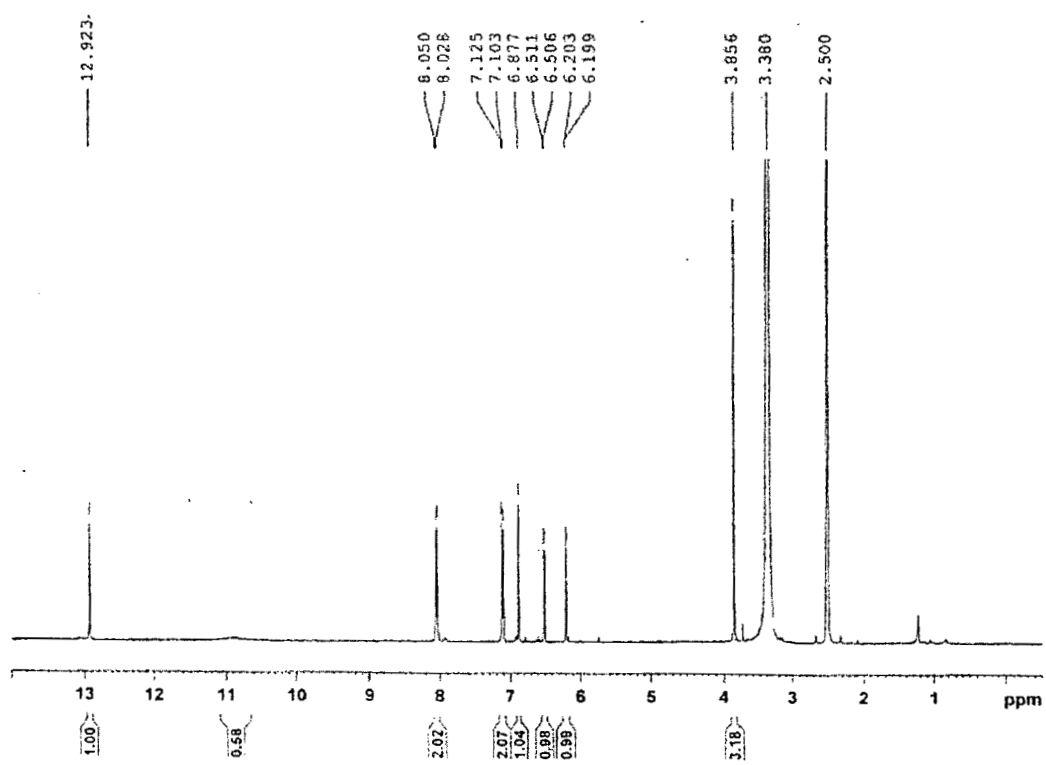
- Lee, S.J., Jung, T.H., Kim, H., Jeong, D., Choi, G., Park, W.K., Kong, J.Y., Jin, M.H., Cho, H. (2013). Inhibition of c-Kit signaling by diosmetin isolated from *Chrysanthemum morifolium*. Archives of Pharmacol Research. 2013 May 26. [Epub ahead of print]
- Manoharan, S., Kavitha, K., Senthil, N., Renju, G.L. (2006). Evaluation of anticarcinogenic effects of *Clerodendron inerme* on 7,12-dimethylben(a)anthracene-induced hamster buccal pouch carcinogenesis. Singapore Medical Journal. 47: 1038-1043.
- Masuda, T., Yonemori, S., Oyama, Y. et al. (1999). Evaluation of the antioxidant activity of environmental plants: activity of the leaf extracts from seashore plants. Journal of Agricultural Food Chemistry 47: 1749-1754.
- Matsuda, H., Morikawa, T., Ando, S., Toguchida, I., Yoshikawa, M. (2003). Structural requirements of flavonoids for nitric oxide production inhibitory activity and mechanism of action. Bioorganic and Medicinal Chemistry. 11: 1995-2000.
- Mehdi, H., Tan, G.T., Pezzuto, J.M. et al. (1997). Cell culture assay system for the evaluation of natural product mediated anti-hepatitis B virus activity. Phytomedicine. 3: 369-377.
- Nan H., Wu J., Zhang S. (2005). A new phenylethanoid glycoside from *Clerodendrum inerme*. Pharmazie. 60: 798-799.
- Pan, M.H., Lai, C.S., Wang, Y.J. and Ho, C.T. (2006). Acacetin suppressed LPS-induced upexpression of iNOS and COX-2 in murine macrophages and TPA-induced tumor promotion in mice. Biochemical Pharmacology. 72: 1293-1303.
- Pandey R., Ram K. Verma, Subhash C. Singh, Madan M. Gupta. (2003). 4 α -Methyl-24 β -ethyl-5 α -cholesta-14, 25-dien-3 β -ol and 24 β -ethylcholesta-5, 9(11), 22E-trien-3 β -ol, sterols from *Clerodendrum inerme*. Phytochemistry. 63: 415-420.
- Pandey R., Ram K. Verma, Madan M. Gupta. (2005). Neo-clerodane diterpenoids from *Clerodendrum inerme*. Phytochemistry. 66: 643-648.
- Rungprom W and Krawkrajang S. (2007). Weed germination inhibitor from rhizomes of *Coix aquatica* Roxb. Journal of Agricultural Science. 38: 299-302.
- Shanmugam, K., Holmquist, L., Steele, M., Stuchbury, G., Berbaum, K., Schulz, O., Benavente-Garcia, O., Castillo, J., Burnell, J., Garcia Rivas, V., Dobson, G., Münch, G. (2008). Plant-derived polyphenols attenuate lipopolysaccharide-induced nitric oxide and tumour necrosis factor

- production in murine microglia and macrophages. *Molecular Nutrition Food Research.* 52;427-438.
- Shrivastava, N. and Patel, T. (2007). Clerodendrum and Healthcare. *Medicinal and Aromatic Plant Science Biotechnology.* 1:142-150.
- Singh, P. and Singhi, C.L. (1981). Chemical investigation of *Clerodendrum fragrans*. *Journal of the Indian Chemical Society.* 58:626-627.
- Spencer, F. and Flippen-Anderson, J.L. (1981). Isolation and x-ray structure determination of neolignan from *Clerodendrum inerme* seeds. *Phytochemistry.* 20:2757-3759.
- Srisook, K., Palachot, M., Mongkol, N. and Srisook, E. (2011). Anti-inflammatory effect of ethyl acetate extract from *Cissus quadrangularis* Linn may be involved with induction of heme oxygenase-1 and suppression of NF-KB activation. *Journal of Ethnopharmacology.* 133; 1008-1014.
- Tunctan, B., Altug, S., Uludag, O., Demirkay, B., Abacioglu, N. (2003). Effects of cyclooxygenase inhibitors on nitric oxide production and survival in a mice model of sepsis. *Pharmacological Research* 48, 37-48.
- Van der Vliet, A., Eiserich, J.P., Cross, C.E., 2000. Nitric oxide: a proinflammatory mediator in lung disease? *Respiratory Research* 1, 67-72.
- Vendatham, T.N.C., Subramanian, S.S. and Harbone, J.B. (1977). 4-methylscutellarein and pectolinarigenin from *Clerodendrum inerme*. *Phytochemistry.* 16:294.
- Wang, B.S., Huang, G.J., Tai, H.M., Huang, M.H. (2012). Antioxidant and anti-inflammatory activities of aqueous extracts of *Schizonepeta tenuifolia* Briq. *Food Chemical and Toxicology.* 50,:526-531.
- Wijesundara, D.S.A. (2004). Inventory documentation and status of medicinal plants research in Sri Lanka. In Pons, B.,Kanniah, J. et.al. (eds). *Medicinal Plants Research in Asia, vol. 1: the frame work and project workplans.* International Plant Genetic Resources Institute-Regional Office for Asia, the Pacific and Oceania (IPGRI-APO), Serdang, Selangor DE, Malaysia.
- Wright, C. E., Rees, D.D., Moncada, S. (1992). Protective and pathological roles of nitric oxide in endotoxin shock. *Cardiovascular Research.* 26, 48-57.
- Yankanchi, S.R. and Koli, S.A. (2010). Anti-inflammatory and analgesic activity of mature leaves methanol extract of *Clerodendrum inerme* L.(Gaertn). *Journal of Pharmaceutical Sciences and Research.* 2:782-785.

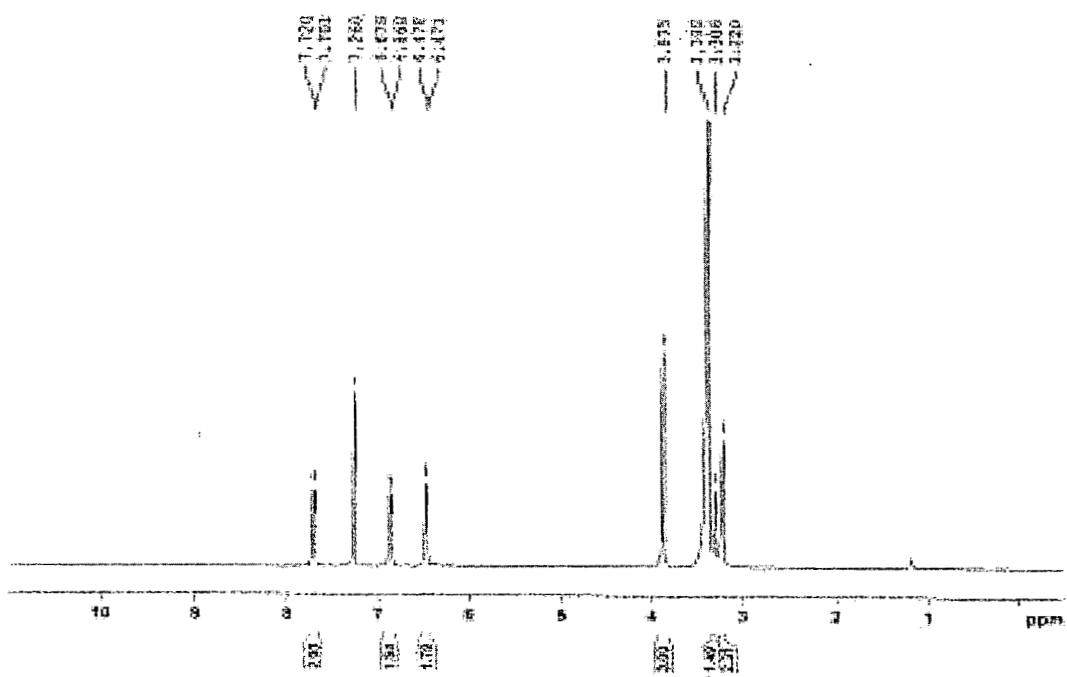
ภาคผนวก



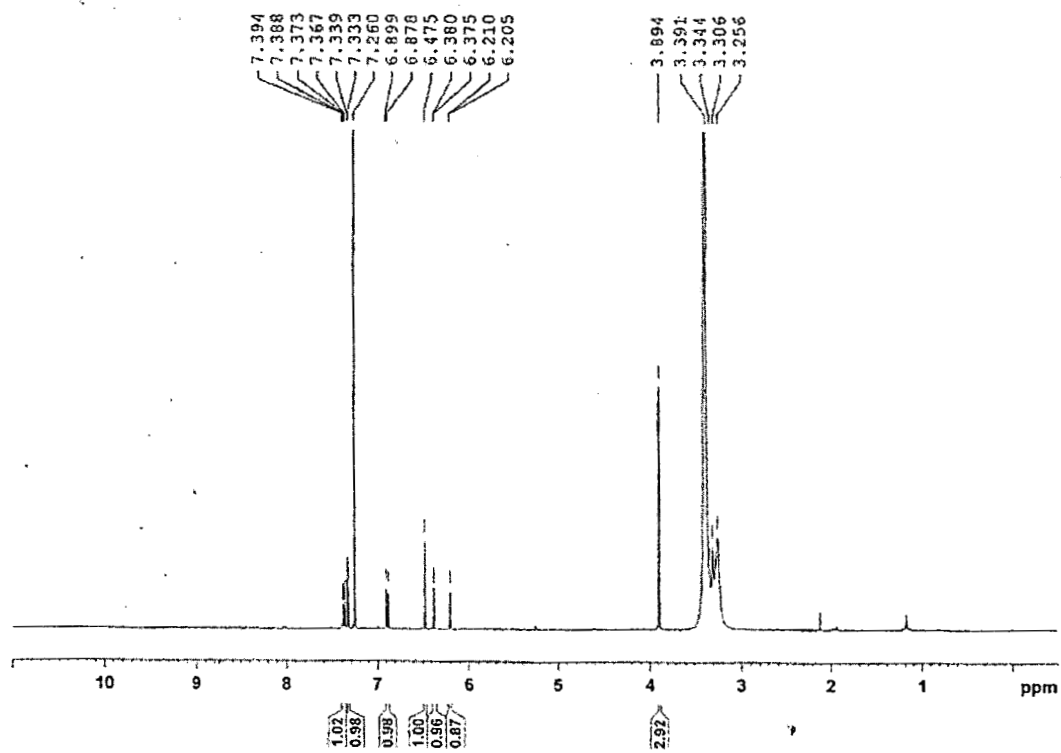
រូបភាព ៨-១-១ តម្លៃកត្រា NMR ទិន្នន័យ អីនូ *p*-anisic acid (CI-1)



รูปที่ M-1-2 สเปกตรัม NMR ของสาร acacetin (4'-O-methylapigenin) (CI-2)



รูปที่ พ-1-3 สเปกตรัม NMR ของสาร hispidulin (CI-3)



รูปที่ ผ-1-4 สเปกตรัม NMR ของสาร diosmetin (4'-O-methyluteolin) (CI-4)

ผลผลิตของโครงการวิจัย (Outputs):

1. กล่าวขวัญ ศรีสุข, สุดารัตน์ อินทสุวรรณ, กิงกานันน์ วัชระนาวี และเอกรัฐ ศรีสุข. ฤทธิ์ต้านการอักเสบของสารประกอบที่แยกได้จากใบสามง่า. Proceeding of the 5th Science Research Conference, University of Phayao, Thailand, 2013, pp. 11-15.
2. Ekaruth Srisook, Sudarat Intasawan, Kingkan Watcharanawee, Mingkwan Chan-in, Wenuka Nachaiyo, Kloakwan Srisook. Anti-inflammatory compounds isolated from *Clerodendrum inerme* (L.) Gaertner leaves and mechanism of the action in RAW 264.7 macrophages. (Manuscript in preparation).

รายงานสืบเนื่องจากการประชุมวิชาการระดับชาติ

Proceedings of the 5th Science Research Conference

วิทยาศาสตร์วิจัย ครั้งที่ 5

4-5 มีนาคม 2556



The 5th Science
RESEARCH
Conference

ณ อาคารเทคโนโลยีสารสนเทศและการสื่อสาร มหาวิทยาลัยพะเยา



ISBN : 978-616-91198-8-3



ฤทธิ์ต้านการอักเสบของสารประกอบที่แยกได้จากใบสามง่า Anti-inflammatory Activity of Compounds Isolated from *Clerodendrum inerme* Leaves

กล่าวขวัญ ศรีสุข^{1,2*}, สุดาวัตน์ อินทสุวรรณ¹, กิงกากูญจน์ วัชระนาวี¹ และ เอกอรัฐ ศรีสุข^{2,3}

¹ภาควิชาเคมี คณะวิทยาศาสตร์ มหาวิทยาลัยบูรพา จังหวัดชลบุรี 20131

²ศูนย์ความเป็นเลิศด้านนวัตกรรมทางเคมี คณะวิทยาศาสตร์ มหาวิทยาลัยบูรพา ชลบุรี 20131

³ภาควิชาเคมี คณะวิทยาศาสตร์ มหาวิทยาลัยบูรพา ชลบุรี E-mail: klaokwan@buu.ac.th

บทคัดย่อ

สามง่าเป็นพืชที่ใช้ในทางการแพทย์พื้นบ้านของไทยเพื่อรักษาโรคที่เกี่ยวข้องกับการอักเสบต่างๆ ในการศึกษาทำการตรวจสอบฤทธิ์ต้านการอักเสบของสารประกอบที่แยกได้จากใบสามง่าในการยับยั้งการผลิตไนโตริกออกไซด์ในเซลล์แมกโครฟ้า RAW 264.7 ที่ถูกกระตุ้นด้วย LPS สาร *p-anisic acid* และ *acacetin* สามารถแยกได้โดยใช้ลิแกเจลคลอสัมโนโกรามาโทกราฟี และพิสูจน์โครงสร้างด้วยการวิเคราะห์ทางスペกตริโคปีกและเปรียบเทียบข้อมูลกับสเปกตรัมของ NMR ของการรายงานก่อนหน้านี้ สารประกอบทั้งสองสามารถยับยั้งการผลิตไนโตริกออกไซด์โดยไม่เป็นพิษกับเซลล์แมกโครฟ้า โดย *acacetin* และฤทธิ์ยับยั้งการผลิตไนโตริกออกไซด์ได้มากกว่า *p-anisic acid* และ *aminoguanidine* (สารยับยั้ง iNOS ที่รู้จักกันดี) และจากผลการศึกษาครั้งนี้แสดงให้เห็นว่า *acacetin* และ *p-anisic acid* มีฤทธิ์ในการต้านการอักเสบและยังช่วยสนับสนุนว่าสามง่ามีประสิทธิภาพในการรักษาโรคที่เกี่ยวข้องกับการอักเสบได้

Abstract

Clerodendrum inerme (Linn.) Gaertn is medicinal plant which commonly used in Thai traditional medicine to treat various disorders including inflammatory diseases. In this study, anti-inflammatory effects of compounds isolated from *C. inerme* leaves were determined on the production of nitric oxide (NO) in lipopolysaccharide (LPS)-induced RAW 264.7 macrophage cells. *p-anisic acid* and *acacetin* were isolated by silica gel column chromatography. Their structures were elucidated on the basis of extensive spectroscopic analysis and by comparison of their NMR spectroscopic data with those reported in the literature. Both compounds inhibited NO production without cytotoxicity toward macrophages. *Acacetin* showed stronger inhibitory effect on NO production than *p-anisic acid* and *aminoguanidine* (a well-known iNOS inhibitor). The results of this study suggest that *acacetin* and *p-anisic acid* exert anti-inflammatory activity and support the effectiveness of traditional use of *C. inerme* for treatment of inflammatory diseases.

Keywords: *Clerodendrum inerme* / *P-anisic acid* / *Acacetin* / Anti-inflammatory / Nitric oxide

บทนำ

การอักเสบ (inflammation) เป็นปฏิกิริยาตอบสนองที่รับร้อนของเนื้อเยื่อต่างๆ ต่อสิ่งที่ก่ออันตราย เช่น จุลทรรศ และเชลล์หรือเนื้อเยื่อที่เสียหายหรือตายลง (ไฟศาล ศิทธิกรกุล, 2548) การอักเสบก่อให้เกิดการเปลี่ยนแปลงทางชีวเคมีในร่างกาย ทำให้เกิดการหลังของสารสื่อกลางในการอักเสบ (inflammatory mediators) ชนิดต่างๆ เช่น ในไนโตริกออกไซด์ (nitric oxide, NO) ที่ร่วงปฏิกิริยาโดยเนื่องในไนโตริกออกไซด์ (iNOS) ในเซลล์แมกโครฟ้าในเดร็กออกไซด์นี้ทำหน้าที่เป็นสารด้านจุลทรรศ (Goldsby, et al., 2002) อย่างไรก็ตาม ในเดร็กออกไซด์ที่ถูกผลิตออกมาย่างมากโดยการทำงานของ.enoในไนโตริกออกไซด์ (iNOS) มีส่วนเกี่ยวข้องกับการอักเสบต่างๆ เช่น โรคไขข้อรูมาตอยด์ (Rheumatoid arthritis) และภาวะซึมเศร้าที่เกิดขึ้นจากการติดเชื้อในกระแสโลหิต (Septic shock) (Byeon, et al., 2008) ดังนั้นการลดปริมาณการผลิตไนโตริกออกไซด์จึงเป็นเป้าหมายหนึ่งในการลดการอักเสบ การค้นพบสารที่มีฤทธิ์ยับยั้งการผลิตไนโตริกออกไซด์จึงอาจเป็นทางหนึ่งในการรักษาโรคที่เกี่ยวข้องกับการอักเสบต่างๆ สามง่า (*Clerodendrum inerme* (Linn.) Gaertn) เป็นพืชในวงศ์ Verbenaceae ถูกใช้เป็นสมุนไพรในการการแพทย์พื้นบ้านในแถบ จังหวัดจันทบุรี โดยเป็นใช้รักษาอาการไข้แพ้แพลงก์ชาน้ำมัน อักเสบ (พันธุ์พิชสมุนไพรในป่ารายเลน, ม.ป.บ.) จากการศึกษาเกี่ยวกับสารที่แยกได้จากพืชชนิดนี้คือ flavones (Vendentham, et al., 1997; Shrivastava and Patel, 2007) clerodane

*Corresponding author. E-mail: klaokwan@buu.ac.th

diterpene (Achari, et al., 1990) neolignan (Spencer, et al., 1981) iridoid glycosides (Calis, et al., 1994; Kanchanapoom, et al., 2001) megastigmane glucosides (Chaudhuri, et al., 1980) การศึกษาทางเภสัชวิทยาพบว่า สำมะงำมีฤทธิ์ต้านการติดเชื้อแบคทีเรีย (Somasundaram and Sadique, 1986) การต้านเชื้อร้า(Anitha and Kannan, 2006) การต้านอนุมูลอิสระ (Gurudeeban, et al., 2010) ฤทธิ์การต้านการอักเสบและแก้ปวด ในสัตว์ทดลอง (Yankanchi, et al., 2010) นอกจากนี้ ในปี พ.ศ.2553 จิตรากรใน และกาญจนานา ภาวะศรอยู่ พฤทธิ์ต้านการอักเสบของส่วนสกัดจากใบสำมะงำโดยมีฤทธิ์บังยั้งการผลิตในตัวเชื้อในเซลล์เม็ดเลือดแดง (RAW 264.7) ที่เหนี่ยวนำด้วย LPS แต่ยังไงก็ตามยังไม่มีการรายงานถึงสารที่เป็นตัวแสดงฤทธิ์ต้านการอักเสบของใบสำมะงำดังนั้นผู้วิจัยจึงมีความสนใจในการแยกสารประกอบจากส่วนสกัดย่อย เอทิลอะซีเตทของส่วนสกัดเอทานอลสำมะงำเป็นส่วนสกัดที่มีประสิทธิภาพ การต้านการอักเสบดีที่สุด โดยวิธีที่ทางวิชาภาษาพันธุ์ การสกัด (bioassay guided isolation) เพื่อเป็นข้อมูลพื้นฐานทางวิทยาศาสตร์ที่ช่วยสนับสนุนการใช้สารประกอบที่แยกได้จากใบสำมะงำในการผลิตและพัฒนายาตัวใหม่ที่สามารถต้านการอักเสบ และเป็นหลักฐานทางวิทยาศาสตร์ที่ช่วยสนับสนุนการใช้สมุนไพรสำมะงำต่อไป

วิธีการ

การเตรียมตัวอย่างพิช

ใบสำมะงำที่ใช้ในการศึกษาครั้งนี้เก็บมาจากศูนย์การเรียนรู้และการท่องเที่ยวเชิงนิเวศป่าชายเลนรุ่นน้ำเวทุ สถานีพัฒนาทรัพยากรป่าชายเลนที่ 2 (บ้านท่าส่อง อำเภอฉุง จังหวัดจันทบุรี) และพิสูจน์เอกลักษณ์พิชโดยอาจารย์มนัญจารตน์ ชิวบีรชา ภาควิชาชีววิทยา คณะวิทยาศาสตร์ มหาวิทยาลัยบูรพา จากนั้นนำไปลงมาล้างด้วยน้ำประปาให้สะอาดและอบที่อุณหภูมิ 50°C เป็นเวลา 3 วัน การเตรียมส่วนสกัดของใบสำมะงำและแยกสารประกอบบริสุทธิ์โดยใช้คอลัมน์ไฮโดรฟอฟิลิก

นำไปสำมะงำแห้ง (1,200 กรัม) สกัดด้วยสารละลายเอทานอล (12 L) เป็นเวลา 5 วัน ได้เป็นส่วนสกัดเอทานอล จากนั้นทำการสกัดแยกส่วน ส่วนสกัดเอทานอลของใบสำมะงำด้วยเอทีเจ ตามลำดับ จากนั้นนำส่วนสกัดย่อยเอทิลอะซีเตทจากใบสำมะงำแยกสารประกอบบริสุทธิ์โดยใช้คอลัมน์ไฮโดรฟอฟิลิก gradient elution ของ เมทานอล: ไดคลอโรเมเทน (1:99 - 20:80) ได้ 4 ส่วน, เอทิลอะซีเตท:เอทานอล (20:80 - 80:20) ได้ 4 ส่วน, เมทานอล: ไดคลอโรเมเทน (3:97 - 8:92) ได้ 3 ส่วน จากนั้นนำมาทำบริสุทธิ์ด้วย HPLC ระบบ Isocratic elution ของอะซีตอไนไดออกซิน:น้ำ (10:90)

โครงสร้างของสารประกอบ *p-anisic acid* (a) แสดงข้อมูล 1H NMR และ 13C NMR คือ 1H NMR (CDCl3+MeOD, 400 MHz) δ 7.98 (2H, d, J=8.1 Hz, H-2,6), 6.89 (2H, d, J=8.2 Hz, H-3,5), 3.83 (3H, s, 4'-OCH3), 13C NMR (CDCl3+MeOD, 100 MHz) δ 168.8, 163.4, 131.9, 122.5, 113.5, 55.3 สารประกอบนี้ได้พิสูจน์เอกลักษณ์ 1H NMR และ 13C NMR โดยฐานข้อมูลสาราระดับ (Tachai, et al., 2011)

โครงสร้างของสารประกอบ *acacetin* (b) แสดงข้อมูล 1H NMR และ 13C NMR คือ 1H NMR (CDCl3+MeOD, 400 MHz) δ 7.76 (2H, d, J=8.2 Hz, H-2',6'), 6.93 (2H, d, J=8.2 Hz, H-3',5'), 6.47 (1H, s, H-3), 6.36 (1H, s, H-5), 6.18 (1H, s, H-8), 3.80 (3H, s, 4'-OCH3), 13C NMR (CDCl3+MeOD, 100 MHz) δ 182.3, 164.1, 164.0, 162.4, 161.4, 157.8, 127.9, 123.3, 114.3, 104.4, 103.5, 99.1, 94.1, 55.2 สารประกอบนี้ได้พิสูจน์เอกลักษณ์ 1H NMR และ 13C NMR โดยฐานข้อมูลสาราระดับ (Xu, et al., 2009)

การวิเคราะห์ปริมาณในไฮดรอกซิฟลูออโรฟลูอิด

เพาะเลี้ยงเซลล์แม่โคโรฟาร์จของหมูสายพันธุ์ RAW 264.7 ในอาหารเลี้ยงเซลล์ DMEM ที่เสริมชีวรับเข้มข้นร้อยละ 10 ที่ 37 องศาเซลเซียส ในถ้วยปั๊มเซลล์ที่มีอาหารผสมคาร์บอนไดออกไซด์ 5% ทำการแบ่งเซลล์ในจานแพะเลี้ยงเซลล์แบบ 24 หลุมๆ ละ 1.5×10^5 เซลล์ จากนั้นบ่มเซลล์ด้วยอาหารเลี้ยงเซลล์ที่มีสารทดสอบที่ความเข้มข้นต่างๆ กันที่มี LPS และไม่มี LPS ที่ความเข้มข้น 1 µg/ml เป็นเวลา 22 ชั่วโมง นำอาหารเลี้ยงเซลล์มาทำปฏิกิริยากับสารละลาย Cytokines ตามวิธีรายงานโดย Sirisook, et al., (2012) การทดสอบความมีชีวิตรอดครัวส์สูบโดยไฮฟี MTT วิธีที่รายงานโดย Sirisook, et al., (2012)

ผลและอภิปราย

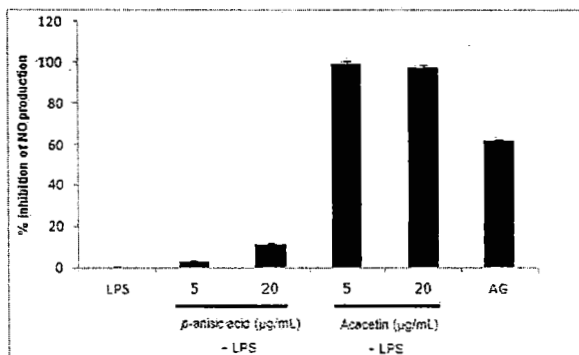
ทำการแยกสารจากส่วนสกัดย่อยเอทิลอะซีเตทของใบสำมะงำโดยวิธีที่สุดทางวิชาภาษาพันธุ์ ด้วยคอลัมน์ไฮโดรฟอฟิลิกสารประกอบบริสุทธิ์ 2 ชนิด คือ *p-anisic acid* และ *acacetin* แสดงโครงสร้างดังรูปที่ 1 รูปที่ 1 แสดงโครงสร้างของ *p-anisic acid* และ *acacetin* เท่ากับ 152.15, 284.26 g/mol ตามลำดับ



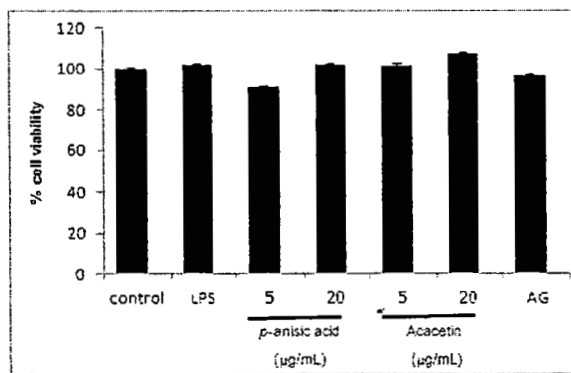
รูปที่ 1 โครงสร้างของ *p-anisic* (a) และ *acacetin* (b)

บริมาณในไดร์กของเซลล์เม็ดครอฟ่าจ RAW 264.7 ที่สัมผัสกับ LPS จะมีค่าเท่ากับ $53.60 \pm 0.13 \mu\text{M}$ ในขณะที่เซลล์เม็ดครอฟ่าที่ไม่ถูกกระตุ้น หรือเซลล์ควบคุมมีค่าเท่ากับ $0.07 \pm 0.00 \mu\text{M}$ เมื่อเซลล์สัมผัสกับ acacetin ที่ความเข้มข้น 5 และ $20 \mu\text{g/mL}$ ($17.5 \mu\text{M}$ และ $70.4 \mu\text{M}$ ตามลำดับ) พบว่ามีการยับยั้งการผลิตในตระกอกออกไซด์ที่ 99.06 ± 0.04 และ $97.50 \pm 0.05\%$ ในขณะที่ p -anisic acid ที่ความเข้มข้น 5 และ $20 \mu\text{g/mL}$ ($32.86 \mu\text{M}$ และ $131.45 \mu\text{M}$ ตามลำดับ) สามารถยับยั้งการผลิตในตระกอกออกไซด์ได้เท่ากับ 2.96 ± 0.1 และ $11.21 \pm 0.13\%$ (รูปที่ 2) สาร aminoguanidine (สารยับยั้งอนไซม์ iNOS) ที่ความเข้มข้น $50 \mu\text{M}$ ยับยั้งได้ $61.75 \pm 0.05\%$

ผลการมีความมีชีวิตลดของเซลล์ที่สัมผัสกับ p -anisic acid และ acacetin ที่มีความเข้มข้น 5 และ $20 \mu\text{g/mL}$ พบว่า ทั้ง p -anisic acid และ acacetin ไม่แสดงความเป็นพิษกับเซลล์ (รูปที่ 3)



รูปที่ 2 การยับยั้งการผลิตในตระกอกออกไซด์ของเซลล์เม็ดครอฟ่า RAW 264.7 ที่สัมผัสกับ p -anisic acid หรือ acacetin ในขณะที่มี LPS ($1 \mu\text{g/mL}$) เป็นเวลา 22 ชั่วโมง โดยให้ LPS = เซลล์ที่สัมผัสกับ LPS เพียงอย่างเดียว AG = เซลล์ที่สัมผัส aminoguanidine ที่ความเข้มข้น $50 \mu\text{M}$ ผลการทดลองแสดงเป็นค่าเฉลี่ย±ค่าเบี่ยงเบนมาตรฐานของการทดลอง 2 ครั้ง แต่ละครั้งทำ 3 ช้ำ



รูปที่ 3 การมีชีวิตลดของเซลล์เม็ดครอฟ่า RAW 264.7 ที่สัมผัสกับ p -anisic acid และ acacetin ที่ความเข้มข้น 5 และ $20 \mu\text{g/mL}$ เป็นเวลา 22 ชั่วโมง โดยให้ control = เซลล์ควบคุม LPS = เซลล์ที่สัมผัสกับ LPS เพียงอย่างเดียว AG = เซลล์ที่สัมผัสกับ aminoguanidine ที่ความเข้มข้น $50 \mu\text{M}$ ผลการทดลองแสดงเป็นค่าเฉลี่ย±ค่าเบี่ยงเบนมาตรฐานของการทดลอง 2 ครั้ง แต่ละครั้งทำ 3 ช้ำ

ในการวิจัยนี้ เป็นการศึกษาฤทธิ์ด้านการอักเสบในการยับยั้งการผลิตในตระกอกออกไซด์ของสารประกอบที่แยกได้จากส่วนสกัด ย่อยเอติโลอะซิเดทจากใบส้มมะร่วง โดยเทคนิคถูกทึชชิ่งชีวภาพนำการสกัด พนสาร 2 ชนิด คือ p -anisic acid และ acacetin ซึ่งสามารถยับยั้งการผลิตในตระกอกออกไซด์ โดยไม่แสดงความเป็นพิษต่อเซลล์ (รูปที่ 3) เมื่อนำไปทดสอบฤทธิ์การยับยั้งการผลิตในตระกอกออกไซด์พบว่า acacetin ที่ความเข้มข้น $5 \mu\text{g/mL}$ ($17.5 \mu\text{M}$) มีฤทธิ์การยับยั้งการผลิตในตระกอกออกไซด์ได้ดีกว่า p -anisic acid ที่ความเข้มข้น $20 \mu\text{g/mL}$ ($131.45 \mu\text{M}$) สาร acacetin นี้ ยังมีฤทธิ์ในการยับยั้งการผลิตในตระกอกออกไซด์สูงกว่า aminoguanidine ซึ่งเป็นสารยับยั้งอนไซม์ iNOS ที่รู้จักกันดี และใช้เป็นตัวควบคุมแบบบวกในการทดลองครั้งนี้ โดย acacetin ที่ความเข้มข้น $17.5 \mu\text{M}$ ยับยั้งได้ถึง $99.06 \pm 0.04\%$ ในขณะที่ aminoguanidine ที่ความเข้มข้น $50 \mu\text{M}$ ยับยั้งได้เพียง $61.75 \pm 0.05\%$



การศึกษาเรื่องการรายงานครั้งแรกที่พบ *p-anisic acid* ในใบสามง่า ในขณะที่การแยกสาร acacetin ได้จากใบสามง่า สอดคล้องกับการรายงานโดย Shrivastava, et al., 2007 ที่พบ acacetin ในใบสามง่า Pan, et al., 2006 รายงานว่า acacetin สามารถลด การแสดงออกของเอนไซม์ iNOS และ COX-2 ซึ่งเป็นเอนไซม์ที่ผลิตในตระกูลไชต์ และพรอสต้าแกลนติน ตามลำดับ ซึ่งรายงานนี้สนับสนุน ผลการทดลองของเราที่ค้นพบ acacetin จากใบสามง่า ว่าสามารถยับยั้งการผลิตในตระกูลไชต์ได้ในเซลล์แม่โคโรฟاج RAW 264.7 ที่เหนียวแน่นด้วย LPS

บทสรุป

สารประกอบที่แยกได้จากส่วนสกัดเยื่อยอโยธีเดทของใบสามง่า คือ *p-anisic acid* และ acacetin สามารถยับยั้งการผลิต ในตระกูลไชต์ได้แล้วไม่มีความเป็นพิษกับเซลล์ ดังนั้นการทดสอบฤทธิ์ด้านการอักเสบของใบสามง่าอาจเป็นผลมาจากการประยุกต์ *acacetin* และ *p-anisic acid* อย่างไรก็ตามข้อมูลที่ได้นี้เป็นหลักฐานทางวิทยาศาสตร์ที่จะมาเป็นข้อมูลสนับสนุนการใช้สมุนไพรสามง่าเป็นยาต้านไวรัสที่มีประสิทธิภาพ

กิตติกรรมประกาศ

ขอขอบคุณ มหาวิทยาลัยบูรพา และศูนย์ความเป็นเลิศด้านนวัตกรรมทางเคมี (PERCH-CIC) คณะวิทยาศาสตร์ มหาวิทยาลัยบูรพา ที่ช่วยสนับสนุนเงินทุนในการงานวิจัยนี้

เอกสารอ้างอิง

- จิตรา ทองใบ และภาณุจานา วงศ์อัญญี. (2553). ฤทธิ์ยับยั้งการผลิตในตระกูลไชต์ของส่วนสกัดจากใบสามง่าและใบเบญจมาศ น้ำเดิม. ปริญญาดิพล็อก วท.บ., มหาวิทยาลัยบูรพา, ชลบุรี.
- พันธุ์พิชสมุนไพรในป่าชายเลน. (ม.ป.ป.) สถานีพัฒนาทรัพยากรป่าชายเลนที่ 3 (ชลุง) จังหวัดจันทบุรี ส่วนบริหารจัดการทรัพยากรป่าชายเลนที่ 1 กรมทรัพยากรทางทะเลและชายฝั่ง.
- ไฟศาล สิทธิกรกุล. (2548). วิทยานิคุณกับสำหรับการเรียนการสอนและการวิจัย. กรุงเทพฯ: ศูนย์สื่อเสริมกรุงเทพฯ.
- Achari, B., Chaudhuri, C., Saha, C.R., Dutta, P.K. and Pakrashi, S.C. (1990). A clerodendone diterpene and other constituents of Clerodendron inerme. *Phytochemistry*, 29, 3671–3673.
- Anitha, R. and Kannan, P. (2006). Antifungal Activity of Clerodendrum inerme (L.) and Clerodendrum phlomidis (L.). *Turk J Biol*, 30, 139-142
- Byeon S.E., Chung J.Y., Lee Y.G., Kim B.H., Kim K.H. and Cho J.Y. (2008). In vitro and in vivo anti inflammatory effects of taheebo, a water extract from the inner bark of *Tabebuia alleianedae*. *Journal of Ethnopharmacol*, 119, 145-152.
- Calis, I., Hosny, M., Yuruker, A., Wright, A.D. and Sticher, O. (1994). Inerminosides A and B, two novel complex iridoid glycosides from Clerodendron inerme. *Journal of Natural Products*, 57, 494–500.
- Chaudhuri, R.K. and Sticher, O. (1980). Globularifolin, a new acyl iridoidglucoside from Globularia corifolia. *Helvetica Chimica Acta*, 63, 117–120.
- Goldsby R.A., Kindt T.J., Osborne B.A. and Kuby J. (2002). *Immunology* (5th ed.). New York: W.H.Freeman and Company.
- Gurudeeban, S., Satyavani, K., Ramanathan, T., Umaamaheswari, G. and Shanmugapriy, R. (2010). Antioxidant and Radical Scavenging Effect of Clerodendron inerme (L.). *World Journal of Fish and Marine Science*, 2(1), 66-69
- Shrivastava, N. and Patel, T. (2007). Clerodendron and Healthcare: An Overview-Part II. *Phytochemistry and Biotechnology*, 1(2), 209-223
- Kanchanapoom, T., Kasai, R., Chumsri, P., Hiraga, Y. and Yamasaki, K. (2001). Megastigmane and iridoid glucosides from Clerodendron inerme. *Phytochemistry*, 58(2), 333–336
- Pan, M.H., Lai, C.S., Wang, Y.J. and Ho, C.T. (2006). Acacetin suppressed LPS-induced up-expression of iNOS and COX-2 in murine macrophages and TPA-induced tumor promotion in mice. *Biochemical Pharmacology*, 72(10), 1293–1303.
- Rehman, A.U., Begum, S., Saied, S., Choudhary, M.I. and Akhtar, F. (1997). A steroidol glycoside from Clerodendron inerme. *Phytochemistry*, 45, 1721-1722.
- Somasundaram, S. and Sadique, J. (1986). Antihemolytic effect of flavonoidal glycosides of *C. inerme*. *Fitoterapia*, 57, 103-110



339578

วิทยาศาสตร์วิจัย ครั้งที่ 5
The 5th Science Research Conference

- Spencer, G.F. and Flippin-Anderson, J.L. (1981). Isolation and X-ray structure determination of a neolignan from Clerodendron inerme seeds. *Phytochemistry*, 20, 2757–2759.
- Srisook, K., Buapool, D., Boonbai, R., Panadda Simmasut, P., Charoensuk, Y. and Srisook, E. (2012). Anti Antioxidant and anti-inflammatory activities of hot water extract from Pluchea indica Less. herbal tea, *Journal of Medicinal Plants Research*, 6(23), 4077-4081
- Tachai, S. and Nuntawong, N. (2011). Chemical constituents from the rhizomes of *Etlingera pavievana*. 1st International Congress on natural products, 160-163
- Takeda, Y., Zhang, H., Matsumoto, T., Otsuka, Fujita, T., Sun, H., Sezik, E., Yesilada, E., et al. (1997). Megastigmane glycosides from *Salvia nemorosa*. *Phytochemistry*, 44, 117–120.
- Vendantham, T.N.C., Subramanian, S.S. and Harborne, J.B. (1977). 40-Methylscutellarein and pectolinarigenin from Clerodendron inerme. *Phytochemistry*, 16, 294.
- Xu, D., Huang, Z., Cen, Y.J., Chen, Y., Freed, S. and Hu, X.G. (2009). Antifeedant activities of secondary metabolites from *Ajuga nipponensis* against adult of striped flea beetles, *Phyllotreta striolata*. *Journal of Pest Science*, 82, 195–202.
- Yankanchi, S.R. and Koli, S.A. (2010). Anti-inflammatory and Analgesic activity of mature leaves methanol extract of Clerodendrum inerme L.(Gaertn). *Journal of Pharmaceutical Sciences and Research*, 2(11), 782-785.